

بِسْمِ اللَّهِ الرَّحْمَنِ الرَّحِيمِ



دانشکده برق

گروه کنترل

بهبود عملکرد سیستم‌های مخابرات امن مبتنی بر آشوب

دانشجو:

مسعود خدادادزاده

استاد راهنما:

دکتر حسین قلی زاده نرم

پایان نامه ارشد جهت اخذ درجه کارشناسی ارشد

شهریور ۱۳۹۳

تقدیم به پدر و مادر مہربانم...

## تعهد نامه

اینجانب مسعود خدادادزاده دانشجوی دوره کارشناسی ارشد رشته کنترل دانشکده برق دانشگاه صنعتی شاهرود نویسنده پایان نامه **بهبود عملکرد سیستم‌های مخابرات امن مبتنی بر آشوب** تحت راهنمایی دکتر قلی زاده متعهد می شوم .

- تحقیقات در این پایان نامه توسط اینجانب انجام شده است و از صحت و اصالت برخوردار است .
- در استفاده از نتایج پژوهشهای محققان دیگر به مرجع مورد استفاده استناد شده است .
- مطالب مندرج در پایان نامه تاکنون توسط خود یا فرد دیگری برای دریافت هیچ نوع مدرک یا امتیازی در هیچ جا ارائه نشده است .
- کلیه حقوق معنوی این اثر متعلق به دانشگاه صنعتی شاهرود می باشد و مقالات مستخرج با نام « دانشگاه صنعتی شاهرود » و یا « Shahrood University of Technology » به چاپ خواهد رسید .
- حقوق معنوی تمام افرادی که در به دست آمدن نتایج اصلی پایان نامه تأثیرگذار بوده اند در مقالات مستخرج از پایان نامه رعایت می گردد.
- در کلیه مراحل انجام این پایان نامه ، در مواردی که از موجود زنده ( یا بافتهای آنها ) استفاده شده است ضوابط و اصول اخلاقی رعایت شده است .
- در کلیه مراحل انجام این پایان نامه، در مواردی که به حوزه اطلاعات شخصی افراد دسترسی یافته یا استفاده شده است اصل رازداری ، ضوابط و اصول اخلاق انسانی رعایت شده است .

### تاریخ

#### امضای دانشجو

##### مالکیت نتایج و حق نشر

- کلیه حقوق معنوی این اثر و محصولات آن (مقالات مستخرج ، کتاب ، برنامه های رایانه ای ، نرم افزار ها و تجهیزات ساخته شده است ) متعلق به دانشگاه صنعتی شاهرود می باشد . این مطلب باید به نحو مقتضی در تولیدات علمی مربوطه ذکر شود .
- استفاده از اطلاعات و نتایج موجود در پایان نامه بدون ذکر مرجع مجاز نمی باشد.

# چکیده

در این پایان‌نامه به منظور افزایش امنیت سیستم‌های مخابرات امن آشوبی، از ترکیب روش مدولاسیون پارامتر آشوبی، پنهان‌نگاری در تصویر و نگاشت‌های آشوبی چند مدال استفاده شده است. ابتدا روشی جدید برای پنهان‌نگاری تصویر با استفاده از نگاشت‌های آشوبی چند مدال که دو عدد (پارامترهای سیستم فرستنده) را به عنوان کلید دریافت می‌کند، ارائه کرده و سپس اطلاعات موردنظر از طریق جمع با پارامترهای سیستم آشوبی فرستنده با روش مدولاسیون آشوبی ارسال می‌گردد. روش بیان‌شده شامل یک سیستم گیرنده برای همگرایی مجانبی و تخمین پارامترهای نامعین سیستم آشوبی راسلر است. بهره سیستم گیرنده دائماً به وسیله کنترل‌کننده تطبیقی تنظیم می‌گردد تا خطای خروجی سیستم به صفر و پارامترها به مقدار واقعی همگرا شوند. از پارامترهای همگرا شده در گیرنده به عنوان کلید بازیابی اطلاعات برای تعیین خانواده و عضو نگاشت موردنظر استفاده می‌شود. با انتخاب این خانواده و عضو نگاشت، محل پیکسل‌ها برای بازیابی اطلاعات دریافت شده به دست می‌آید. در نهایت نحوه کاربرد روش پیشنهادی در غالب مثالی بیان می‌شود. در این مثال پیام مخفی در تصویر پنهان‌نگاری شده و با روش مدولاسیون آشوبی ارسال می‌گردد. در گیرنده با انجام سنکرون سازی تصویر موردنظر دریافت و پیام مخفی بازیابی می‌شود.

**کلمات کلیدی:** مخابرات امن آشوبی، نگاشت‌های آشوبی چندمدال، استگنوگرافی

## فهرست مطالب

فصل اول: مقدمه	۱
۱-۱- پیکربندی پایان نامه	۵
فصل دوم: مفهوم آشوب و دینامیک آشوبناک	۷
۱-۲- نگاهت‌های آشوبی:	۱۳
۱-۱-۲- نگاهت لجستیک:	۱۳
۲-۱-۲- نگاهت‌های چند مدال:	۱۶
فصل سوم: سنکرون سازی سیستم‌های آشوبی	۲۳
۱-۳- فرمول بندی همزمانی	۲۴
۱-۱-۳- تعریف همزمانی	۲۵
۲-۳- مروری بر سنکرون سازی های انجام شده	۲۶
۱-۲-۳- سنکرون سازی مقاوم شبه مد لغزشی	۲۷
۲-۲-۳- سنکرون سازی سیستم‌های فوق آشوب چند متغیره راسلر با استفاده از رویکرد مد لغزشی- تطبیقی	۳۷
۳-۲-۳- کنترل تطبیقی سیستم غیرخطی مرتبه دوم اسیلاتور دافینگ	۵۱
فصل چهارم: مطالعه سیستم‌های مخابرات امن آشوبی	۵۷
۱-۴- نسل اول	۵۸
۲-۴- نسل دوم	۶۹
۳-۴- نسل سوم	۷۳
۴-۴- نتیجه‌گیری:	۷۶
فصل پنجم: ارائه رهیافت جدید مخابرات امن آشوبی	۷۹
۱-۵- پنهان نگاری	۸۲
۲-۵- فرستنده	۸۷
۳-۵- گیرنده	۹۲

۹۲	.....	۵-۳-۱- روش سنکرون سازی ارائه شده
۹۵	.....	۵-۳-۲- طراحی کنترل کننده
۹۶	.....	۵-۴- شبیه سازی
۱۰۷	.....	فصل ششم: نتیجه گیری و پیشنهادها
۱۱۵	.....	مراجع

## فهرست اشکال

- شکل ۱-۲. نمونه‌ای از آزمایشی که منجر به معادلات دیفرانسیل لورنز می‌شود.  $x_1$  (نشان داده شده با  $x$  در معادلات داخل متن) متوسط سرعت چرخش سیال،  $x_2$  (نشان داده شده با  $y$ ) فاصله تفاوت دمای افقی و  $x_3$  (نشان داده شده با  $z$ ) تفاوت دمای عمودی است [۱۳]. ..... ۹
- شکل ۲-۲. رفتار آشوبی دینامیک‌های سیستم لورنز ..... ۱۰
- شکل ۳-۲. دینامیک لورنز به ازای دو شرایط اولیه بسیار نزدیک ..... ۱۱
- شکل ۴-۲. نمونه‌ای از رفتار دینامیک لورنز به ازای  $\sigma = 10$ ،  $r = 28$  و  $b = 8/3$  ..... ۱۱
- شکل ۵-۲. مقایسه طیف فرکانسی بین حرکت متناوب و حرکت آشوبی. مشاهده می‌شود که برخلاف دینامیک متناوب، دینامیک آشوبی طیف پیوسته دارد (صفر نبودن و عرض داشتن طیف حرکت تناوبی به دلیل خطای محاسبات عددی و محدود بودن پنجره تبدیل فوریه است) [۱۲]. ..... ۱۲
- شکل ۶-۲. تحول نگاشت لجستیک به ازای  $\mu = 2$ . مقدار تعادل  $x = 0.5$  است. ..... ۱۵
- شکل ۷-۲. (الف) نگاشت لجستیک به ازای  $\mu = 3.3$  نوسانی را بین دو مقدار  $x = 0.48$  و  $x = 0.83$  نشان می‌دهد. ..... ۱۵
- شکل ۷-۲. (ب) حرکت دوره‌ای برحسب شماره تکرار دیده می‌شود. ..... ۱۶
- شکل ۸-۲. (الف) تکرار نگاشت لجستیک، در حالت آشوبناک و به ازای  $\mu = 3.9$  ..... ۱۶
- شکل ۸-۲. (ب) حرکت آشوبناک برحسب شماره تکرار ..... ۱۶
- شکل ۹-۲. (الف) خانواده نگاشت دومدال ..... ۱۹
- شکل ۹-۲. (ب) نمایش سه بعدی دیاگرام فاز خانواده نگاشت دومدال ..... ۱۹
- شکل ۱۰-۲. خانواده نگاشت چهارمدال ..... ۲۱
- شکل ۱۱-۲. شکل سه بعدی فضای فاز نشان دهنده ساختار کشیدگی و تاشدگی نگاشت آشوبی چهارمدال ..... ۲۱
- شکل ۱۲-۲. شکل سه بعدی فضای فاز نشان دهنده ساختار کشیدگی و تاشدگی نگاشت آشوبی چهارمدال برای  $k = 4$ : (الف)  $r = 3$ ، (ب)  $r = 2$ ، (ج)  $r = 1$ ، (د)  $r = 0$ . ..... ۲۲
- شکل ۱-۳. سری‌های زمانی سیستم پایه با شرایط اولیه  $x_1(0) = 22$ ،  $x_2(0) = 15$  و  $x_3(0) = 12$  ..... ۳۰
- شکل ۲-۳. سری‌های زمانی سیستم پیرو با حضور عدم قطعیت با شرایط اولیه  $y_1(0) = 20$ ،  $y_2(0) = 13$  و  $y_3(0) = 12$  ..... ۳۰
- شکل ۳-۳. نمودار سه بعدی دینامیک‌های سیستم لورنز ..... ۳۱



- شکل ۳-۴. پاسخ‌های زمانی حالت خطا ..... شکل ۳۶
- شکل ۳-۵. پاسخ کنترل‌کننده شبه مد لغزشی ..... شکل ۳۷
- شکل ۳-۶. روی‌تگر مد لغزشی - تطبیقی فیدبک خروجی [۷]. ..... شکل ۳۸
- شکل ۳-۷. تابع غیرخطی اسکالر  $\phi(u)$  در محدوده  $[\beta_1 \ \beta_2]$  [۷]. ..... شکل ۴۱
- شکل ۳-۸. شکل دو بعدی سیستم فوق آشوب راسلر ..... شکل ۴۵
- شکل ۳-۹. شکل‌های سه‌بعدی سیستم فوق آشوب راسلر ..... شکل ۴۶
- شکل ۳-۱۰. سری‌های زمانی سیستم راسلر با حضور عدم قطعیت ..... شکل ۴۷
- شکل ۳-۱۱. پاسخ‌های زمانی حالت خطا سیستم فوق آشوب راسلر ..... شکل ۴۸
- شکل ۳-۱۲. پاسخ‌های زمانی  $S(y_e)$  ..... شکل ۴۸
- شکل ۳-۱۳. پاسخ‌های زمانی حالت خطا سیستم فوق آشوب راسلر ..... شکل ۵۰
- شکل ۳-۱۴. نمایش همزمان پاسخ‌های زمانی حالت خطا سیستم فوق آشوب راسلر ..... شکل ۵۰
- شکل ۳-۱۵. نمودار همگرایی خطاهای سیستم  $e_1, e_2$  ..... شکل ۵۵
- شکل ۳-۱۶. نمودار همگرایی پارامترهای  $\theta_1(t), \theta_2(t), \theta_3(t)$  ..... شکل ۵۶
- شکل ۴-۱. بلوک دیاگرام نسل اول سیستم‌های مخابرات امن آشوبی. (الف) رهیافت پوشاندن جمع شونده آشوبی (ب) رهیافت کلید زنی آشوبی که رهیافت سوئیچینگ آشوبی هم نامیده می‌شود [۳]. ..... شکل ۵۹
- شکل ۴-۲. نوسان‌ساز و مشخصات دیود Chua ..... شکل ۶۰
- شکل ۴-۳. همزمان سازی دو نوسان‌ساز Chua. (الف) فرآیند همزمان سازی  $v_1$  و  $\tilde{v}_1$  (ب) فرآیند همزمان سازی  $v_2$  و  $\tilde{v}_2$  (ج) فرآیند همزمان سازی  $i_3$  و  $\tilde{i}_3$  ..... شکل ۶۳
- شکل ۴-۴. نتیجه شبیه‌سازی رهیافت پوشاندن جمع شونده آشوب با استفاده از دو نوسان‌ساز Chua. (الف) سیگنال پیام ضعیف  $m(t)$ . (ب) سیگنال فرستاده شده  $s(t)$ . (ج) سیگنال بازیابی شده  $\tilde{m}(t)$  [۳۶]. ..... شکل ۶۵
- شکل ۴-۵. جاذب‌های آشوبی نوسان‌ساز Chua که در رهیافت کلید زنی آشوبی بکار رفته‌اند. هر دو در صفحه  $v_1 - v_2$  نشان داده شده‌اند. (الف) جاذب آشوبی برای کد کردن بیت یک (ب) جاذب آشوبی برای کد کردن بیت صفر. ..... شکل ۶۷
- شکل ۴-۶. نتایج شبیه‌سازی برای کلید زنی آشوبی. (الف) سیگنال پیام باینری  $m(t)$ . (ب) خطای همزمان سازی نوسان‌ساز Chua با پارامتر مربوط به بیت صفر. (ج) خطای همزمان سازی نوسان‌ساز Chua با پارامتر مربوط به بیت یک. ..... شکل ۶۹

- شکل ۴-۷. بلوک دیاگرام نسل دوم سیستم‌های مخابرات امن آشوبی. (الف) مدولاسیون پارامتر آشوبی. (ب) مدولاسیون غیر خودکار آشوبی [۱۰]. ..... ۷۰
- شکل ۴-۸. استفاده از مدولاسیون پارامتر آشوبی برای ارسال سه سیگنال پیام به صورت همزمان. (الف) سیگنال فرستاده شده  $s(t)$ . (ب) اولین سیگنال پیام و نسخه بازبازی شده آن. (ج) دومین سیگنال پیام و نسخه بازبازی شده آن. (د) سومین سیگنال پیام و نسخه بازبازی شده آن [۱۰]. ..... ۷۳
- شکل ۴-۹. بلوک دیاگرام نسل سوم سیستم مخابرات امن آشوبی ..... ۷۴
- شکل ۴-۱۰. نتایج شبیه‌سازی سیستم رمزنگاری آشوبی. (الف) سیگنال فرستاده شده  $s(t)$ . (ب) سیگنال بازبازی شده سپس رمزگشایی شده  $p(t)$ . (ج) سیگنال رمز شده بازبازی شده با استفاده از روش مطرح در [۳۶]. (د) نتیجه رمزگشایی سیگنال مرحله (ج) ..... ۷۶
- شکل ۵-۱. بلوک دیاگرام رهیافت جدید مخابرات امن آشوبی ..... ۸۱
- شکل ۵-۲. فلوجارت فرآیند پنهان‌سازی اطلاعات در روش GLM ..... ۸۴
- شکل ۵-۳. قاعده انتخاب پیکسل‌ها [۴۱] ..... ۸۵
- شکل ۵-۴. دیاگرام فاز سه‌بعدی کشیدگی و تاشدگی نگاشت آشوبی چهار مدال برای  $k=4$ : (الف)  $r=0$  (ب)  $r=1$  (ج)  $r=2$  (د)  $r=3$  ..... ۹۰
- شکل ۵-۵. پیکسل‌های انتخاب شده به‌عنوان کاندیدای مناسب برای جایگذاری اطلاعات مطابق با شکل (۴-۵) ..... ۹۱
- شکل ۵-۶. (الف) تصویر اصلی مورد استفاده برای استگنوگرافی (ب) بردار پیکسل‌های تصویر ..... ۹۷
- شکل ۵-۷. (الف) جاذب آشوبی سیستم راسلر (ب) رفتار همگی حالت‌های سیستم آشوبی راسلر ..... ۹۸
- شکل ۵-۸. (الف) نگاشت‌های لجستیک خانواده  $F$  (ب) دیاگرام فاز کشیدگی و تاشدگی این ساختار ..... ۹۹
- شکل ۵-۹. پیکسل‌های انتخاب شده برای جایگذاری اطلاعات ..... ۱۰۰
- شکل ۵-۱۰. (الف) خطاهای سنکرون سازی (ب) تخمین پارامترهای سیستم گیرنده زمانی که سیستم در شرایط اولیه  $(1,1,1)$  و برای پارامترها با مقدار واقعی  $p = (0.2,4)$  ..... ۱۰۳
- شکل ۵-۱۱. نتایج عددی سیگنال پیام  $I_1$  و خطای بازبازی اطلاعات  $(I_1 - \hat{I}_1)$  ..... ۱۰۴
- شکل ۵-۱۲. شکل تصویر استگو پس از جایگذاری اطلاعات متنی در تصویر ..... ۱۰۵

فهرست جداول:

جدول ۵-۱. تناظر بین  $c_i$  ها و  $K_i$  ها ..... ۸۸

جدول ۵-۲. تناظر بین  $a_z$  ها و  $r_j$  ها ..... ۸۹



# فصل اول : مقدمه

با پیشرفت علم و توسعه فناوری، پنهان‌سازی اطلاعات و انتقال امن آن‌ها نیز تکامل پیدا کرده و جایگاه خود را به‌عنوان ابزاری نیرومند در جهت حفاظت از اطلاعات پیدا نموده است. امروزه ارتباط از طریق تجهیزات مخابراتی در سطوح مختلف به نحو چشمگیری افزایش یافته و به همین علت همواره خطر استراق سمع، دست‌کاری و مغشوش کردن اطلاعات توسط دشمن و یا افراد سودجو، آن را تهدید می‌کند.

یکی از روش‌هایی که برای افزایش امنیت مورداستفاده قرار می‌گیرد این است که اطلاعات موردنظر را رمزنگاری کرده و یا با افزایش امنیت ارسال اطلاعات و حتی ترکیب این دو از این تهدیدات جلوگیری کنیم. با روش‌های گوناگونی می‌توان امنیت ارسال اطلاعات را افزایش داد که یکی از ایمن‌ترین این روش‌ها استفاده از سیستم‌های آشوبی است. سیستم‌های آشوبی یک کلاس از سیستم‌های غیرخطی با دینامیک معین هستند که بسیار به شرایط اولیه حساس‌اند. از دیگر خصوصیات این سیستم‌ها این است که در محدوده خاصی از پارامترهای خود این خاصیت را نشان می‌دهند و یا به‌عبارت‌دیگر با تغییر پارامترها می‌توانند از حالت آشوبی خارج شوند. حساسیت شدید این سیستم‌ها به شرایط اولیه موجب می‌شود که رفتار سیستم قابلیت پیش‌بینی در یک بازه طولانی را نداشته باشد. البته حالت سیستم در لحظه بعد کاملاً معین است ولی در طولانی‌مدت نمی‌تواند با هیچ دقتی پیش‌بینی شود. بنابراین خاصیت حساسیت شدید به شرایط اولیه پیش‌بینی درازمدت را در این سیستم‌ها غیرممکن می‌کند [۱]. این سیستم‌ها همچنین طیف توان پیوسته‌ای دارند و باند فرکانسی آن‌ها شبیه نویز است [۲]. خاصیت غیرقابل پیش‌بینی بودن این سیستم‌ها و محدوده فرکانسی وسیع آن‌ها موجب شده است که این سیستم‌ها انتخاب مناسبی برای کد کردن و پوشانیدن<sup>۱</sup> اطلاعات در مخابرات امن شوند؛ بنابراین امنیت مخابرات آشوبی به حساسیت شدید سیستم‌های آشوبی به پارامتر و شرط اولیه بستگی دارد [۳].

---

<sup>۱</sup> Masking

روش‌های گوناگونی برای ارسال اطلاعات به طریق ایمن با رویکرد کنترلی ارائه شده است که این روش‌ها عبارت‌اند از:

#### (۱) پوشش آشوبی<sup>۲</sup>

در این روش سیگنال پیام مستقیماً به یک سیگنال آشوبی اضافه می‌شود که این حامل می‌تواند یکی از سیگنال‌های سیستم آشوبی باشد. همچنین در این روش دامنه سیگنال ارسالی باید تا حد امکان کوچک بوده و بسیار کمتر از دامنه حامل آشوبی باشد در غیر این صورت می‌تواند منجر به ناپایداری کل سیستم شود. در نهایت با سنکرون سازی صورت گرفته در گیرنده و فرستنده سیگنال پیام بازیابی می‌شود [4].

#### (۲) مدولاسیون آشوبی<sup>۳</sup>

در این روش پیامی که برای درایو کردن فرستنده ارسال می‌شود حالت‌ها یا پارامترهای سیستم آشوبی را از طریق یک فرآیند معکوس‌پذیر تغییر می‌دهد و در نهایت یک سیگنال اسکالر که تابعی از متغیرهای فرستنده و سیگنال اطلاعات است به گیرنده ارسال می‌کنند. در این روش برای مثال سیگنال اطلاعات می‌تواند برای مدوله کردن یک پارامتر از سیستم آشوبی استفاده شود. سیگنال حاصل در گیرنده دمودوله<sup>۴</sup> می‌شود و سیگنال اطلاعات با استفاده از دمودولاتور تطبیقی<sup>۵</sup> استخراج می‌شود [۵]. در این حالت خاص یعنی کد کردن پیام با مدولاسیون یک پارامتر، انتخاب صحیح پارامتر مدولاسیون سنکرون سازی در گیرنده را مستقل از مدولاسیون امکان‌پذیر می‌کند.

در مدولاسیون آشوبی برای استخراج اطلاعات در گیرنده باید بین گیرنده و فرستنده سنکرون سازی روی دهد. برای سنکرون سازی سیستم‌های آشوبی روش‌های متعددی ارائه شده است مانند کنترل

---

<sup>۲</sup> Chaotic Masking

<sup>۳</sup> Chaotic Modulation

<sup>۴</sup> Demodulator

<sup>۵</sup> Adaptive Demodulator

مقاوم [۴]، کنترل حالت لغزشی<sup>۶</sup> [۵]، کنترل تطبیقی [۶-۸]، کنترل بهینه [۹]، و... در این سنکرون سازی دو سیستم گیرنده و فرستنده آشوبی باقی می ماند ولی یکی با دیگری سنکرون می شوند (دو سیستم آشوبی در گیرنده و فرستنده در شرایط اولیه متفاوت کار می کنند). البته محدودیتی که این روش یعنی مدوله کردن حامل با سیگنال پیام وجود دارد این است که سیگنال ورودی به فرستنده باید با دقت انتخاب شود تا اطمینان حاصل شود که فرستنده و گیرنده آشوبی باقی می ماند.

مقایسه این دو روش نشان می دهد که حضور حامل آشوبی و آشفتگی های<sup>۷</sup> ایجاد شده قابل شناسایی است و در عمل این روش ها از امنیت لازم برخوردار نمی باشند [۱۰]، بنابراین برای افزایش دادن امنیت ارتباط سه روش پیشنهاد می شود:

(۱) استفاده از سیستم های فوق آشوب در فرستنده و گیرنده که به دلیل ساختار و دینامیک پیچیده تر رمزگشایی توسط مزاحم را مشکل می کنند [۷]. این سیستم ها که تعداد نماهای لیاپانوف مثبتشان بیشتر از یکی است این مزیت را دارند که خاصیت عدم پیش بینی بیشتری را دارا می باشند. در این سیستم ها ساختار فضای حالت به آسانی توصیف نمی شوند. همچنین این سیستم ها می توانند برای ارسال و دریافت تعداد زیادی سیگنال اطلاعاتی به صورت همزمان بکار روند؛ اما در سنکرون سازی این سیستم ها با مشکل مواجه هستیم و این کار به سختی صورت می گیرد.

(۲) کار کردن روی روش های سنتی رمز کردن اطلاعات با استفاده از سیستم های آشوبی [۱۱].

(۳) ترکیب مناسبی از روش های بالا و ارائه یک رهیافت جدید مخابرات امن آشوبی.

---

<sup>۶</sup> Sliding Mode Control

<sup>۷</sup> Perturbation



## ۱-۱- پیکربندی پایان نامه

در این پایان نامه به دلیل اهمیت مبحث آشوب، ابتدا به مفهوم آشوب و دینامیک‌های آشوبناک می‌پردازیم و سپس نگاشت‌های آشوبی لاجستیک، چند مدال و خصوصیات آن‌ها مورد ارزیابی قرار می‌گیرد.

در فصل سوم تعریف سنکرون سازی و روش‌های مختلف آن ارائه خواهد شد. به دلیل کاربرد سنکرون سازی در تمامی سیستم‌های مخابرات امن آشوبی تعدادی از این روش‌ها، مزایا و معایب هر یک بیان می‌شود.

در فصل چهارم به بررسی مشروح تاریخچه سیستم‌های مخابرات امن آشوبی می‌پردازیم؛ نسل‌های مختلف این سیستم‌ها را بیان نموده و باهم مقایسه می‌کنیم.

در نهایت در فصل پنجم روش پیشنهادی برای افزایش امنیت سیستم‌ها مخابرات امن آشوبی ارائه می‌گردد. در این روش قصد داریم با ترکیب نسل‌های مختلف مخابرات امن آشوبی و ارائه روشی برای همزمانی سیستم‌ها ضریب ایمنی ارسال اطلاعات را در مقایسه با روش‌های بیان شده افزایش دهیم. ابتدا استگانوگرافی در تصویر و روش استفاده از آن را بیان کرده و مزایا و معایب آن را با روش‌های معمول رمزنگاری مقایسه می‌کنیم. سپس از نگاشت‌های آشوبی چند مدال به عنوان روشی جدید برای جایگذاری اطلاعات در تصویر بهره می‌گیریم. در نهایت با ارائه روش سنکرون سازی جدید و تلفیق آن با استگانوگرافی تصویر امنیت ارسال اطلاعات در سیستم‌های مخابرات امن آشوبی را افزایش می‌دهیم.



## فصل دوم: مفهوم آشوب و دینامیک آشوبناک

آشوب همان‌طور که از نامش پیداست، رفتاری به‌ظاهر تصادفی و بی‌نظم است که در بسیاری از پدیده‌های دنیای واقعی رخ می‌دهد. پدیده‌های معروفی چون اثر پروانه‌ای<sup>۸</sup> از ویژگی‌های خاص آشوب است که در مورد آن توضیح خواهیم داد. در این فصل جز مقدمه‌ای کوتاه و چند تعریف ریاضی، چندان به خود تئوری آشوب نمی‌پردازیم ولی باین‌حال یادآوری مجدد ویژگی‌های آن بی‌فایده نخواهد بود.

می‌دانیم که ابزار تحلیل پدیده‌ای طبیعی برای فیزیک‌دانان و مهندسان و بقیه علمی که نیاز به مدل‌سازی و تحلیل آن پدیده با استفاده از آن مدل دارند، معادلات دیفرانسیل (معادلات تفاضلی) است. این معادلات که می‌توانند به‌صورت جزئی<sup>۹</sup> یا معمولی<sup>۱۰</sup> باشند، چارچوب تحلیلی قوی برای همه دانشمندان علوم طبیعی فراهم می‌کنند. در بسیاری از موارد برای سادگی تحلیل، مدل‌ها به‌صورت خطی تقریب زده می‌شوند. در این صورت ابزارهای ریاضی کاملی برای تحلیل این چنین مسائلی وجود دارد. باین‌حال به‌محض اینکه چنین ساده‌سازی انجام ندهیم با معادلات غیرخطی مواجه می‌شویم که پدیده‌های جدیدی چون چرخه حدی<sup>۱۱</sup> در آن مشاهده می‌شود؛ اما این تنها رفتار متفاوت دینامیک غیرخطی با خطی نیست. مدت‌ها به دلیل وجود قضیه پوانکاره- بندیکسون تصور می‌شد که سیستم‌ها دارای نقطه تعادل (چه پایدار و چه ناپایدار) است و یا دارای چرخه حدی است. البته این قضیه تنها برای سیستم‌های مرتبه دوم صادق بود، اما باور عموم بر آن بود که چنین قضیه‌ای برای سیستم‌های مرتبه بالاتر نیز برقرار است. باین‌حال مشاهده شد که برای سیستم‌های مرتبه سه به بالا، پدیده دیگری نیز علاوه بر این‌ها رخ می‌دهد و آن‌هم آشوب است [۱۲].

آشوب به مفهوم دقیق و ریاضی آن پدیده است به‌ظاهر تصادفی و پیچیده که در باطن طبیعتی قطعی<sup>۱۲</sup> (در تقابل با تصادفی<sup>۱۳</sup>) دارد. به‌عبارت‌دیگر از یک معادله دیفرانسیل ساده می‌توان رفتارهای

---

<sup>۸</sup> Butterfly effect

<sup>۹</sup> Partial differential equation(PDE)

<sup>۱۰</sup> Ordinary differential equation(ODE)

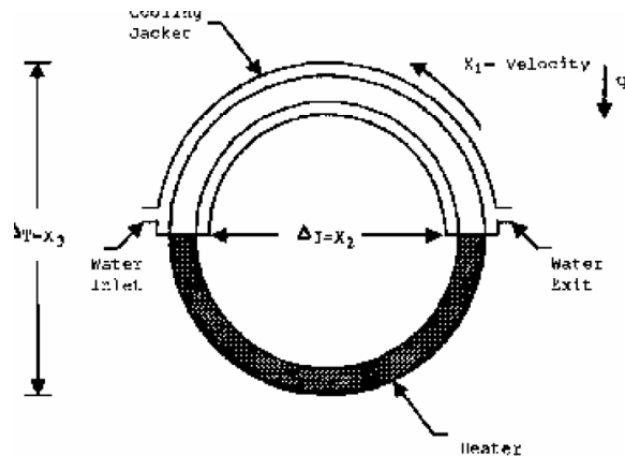
<sup>۱۱</sup> Limit cycle

<sup>۱۲</sup> Deterministic

بسیار پیچیده‌ای را انتظار داشت. نمونه از دینامیک مرتبه سوم آشوبناک را که به دینامیک لورنز مشهور است، در زیر می‌بینید.

$$\begin{cases} \dot{x} = \sigma(y - x) + u \\ \dot{y} = rx - y - xz \\ \dot{z} = -bz + xy \end{cases} \quad (1-2)$$

دینامیک لورنز توسط هواشناسی به نام ادوارد لورنز<sup>۱۴</sup> در سال ۱۹۶۳ به دست آمده است، بیان گر جریان همرفت در مایعاتی است که گرما از طریق منبعی به آن تزریق می‌شود. نمونه‌ای از ترکیب بندی که منجر به دینامیک لورنز می‌شود را در شکل (۱-۲) می‌بینید. لورنز نشان داد که تلاطم<sup>۱۵</sup> در آن مایعات توسط دینامیک ساده شده لورنز قابل بیان است [۱۳]. نمونه‌ای از رفتار آشوبی این دینامیک را در شکل (۲-۲) می‌بینید.

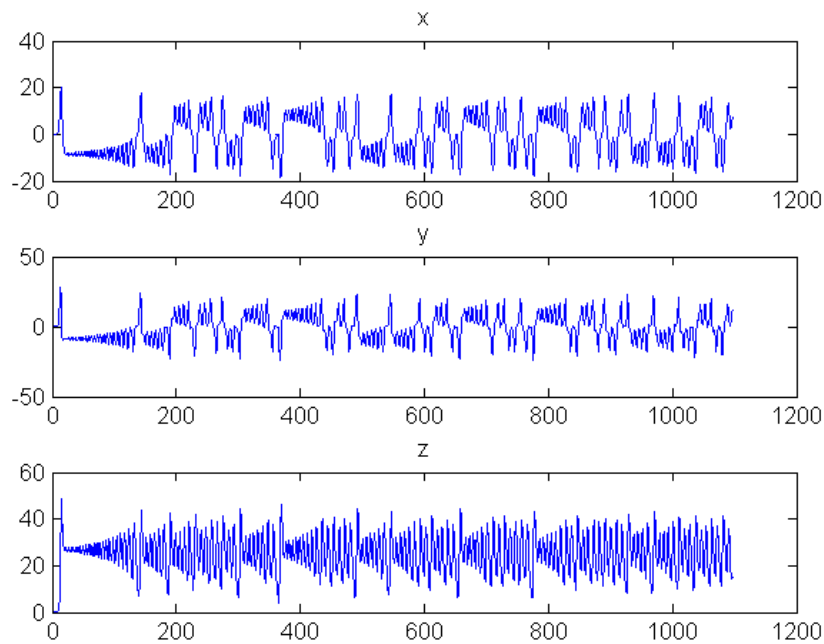


شکل ۱-۲. نمونه‌ای از آزمایشی که منجر به معادلات دیفرانسیل لورنز می‌شود.  $x_1$  (نشان داده شده با  $x$  در معادلات داخل متن) متوسط سرعت چرخش سیال،  $x_2$  (نشان داده شده با  $y$ ) فاصله تفاوت دمای افقی و  $x_3$  (نشان داده شده با  $z$ ) تفاوت دمای عمودی است [۱۳].

<sup>۱۳</sup> Stochastic

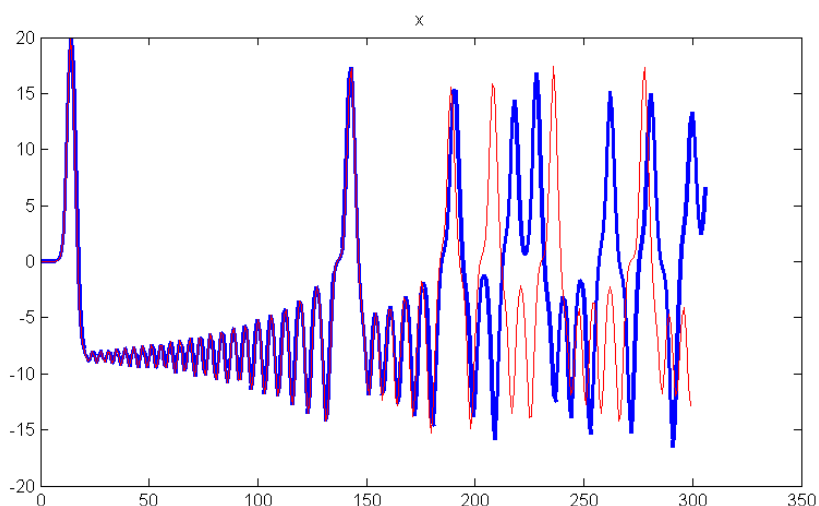
<sup>۱۴</sup> Edvard Lorenz

<sup>۱۵</sup> Turbulent



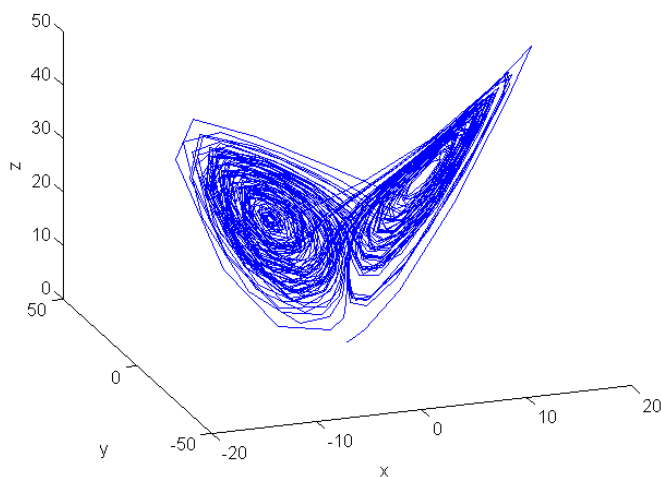
شکل ۲-۲. رفتار آشوبی دینامیک های سیستم لورنز

یکی از ویژگی‌های سیستم آشوبی، چیزی است که به حساسیت بالا به شرایط اولیه مشهور شده است. یک سیستم آشوبناک- برخلاف سیستم دارای چرخه حدی یا نقطه تعادل پایدار- به تغییرات کوچک حالتش حساس است. تغییر بسیار کوچکی در حالت اولیه باعث تغییرات بسیار قابل توجه در شرایط نهایی می‌شود. نمونه معروف چنین پدیده‌ای وضعیت آب‌وهوا و پدیده معروف اثر پروانه ایست. دینامیک غیرخطی چون باعث می‌شود که به دلیل نداشتن همه شرایط اولیه در زمان شروع محاسبات (مثلاً نداشتن و همچنین عدم دقت اندازه‌گیری دما و رطوبت و... در همه‌ی نقاط سطح زمین)، پیش‌بینی طولانی‌مدت امکان‌پذیر نباشد. مثال مشهوری است که می‌گویند بال زدن پروانه‌ای در کشوری دیگر می‌تواند باعث به وجود آمدن یا نیامدن توفان در کشور شما شود. نمونه‌ای از این حساسیت در شکل (۲-۳) می‌بینید. در این شکل، دینامیک لورنز به ازای دو شرایط اولیه بسیار نزدیک به هم (با خطای  $|e(0)|=10^{-5}$ ) مقایسه شده است. مشاهده می‌شود که در ابتدا این دو شکل بسیار شبیه به هم رفتار می‌کنند، باین حال در نهایت رفتار کاملاً متفاوتی دارند.



شکل ۲-۳. دینامیک لورنز به ازای دو شرایط اولیه بسیار نزدیک

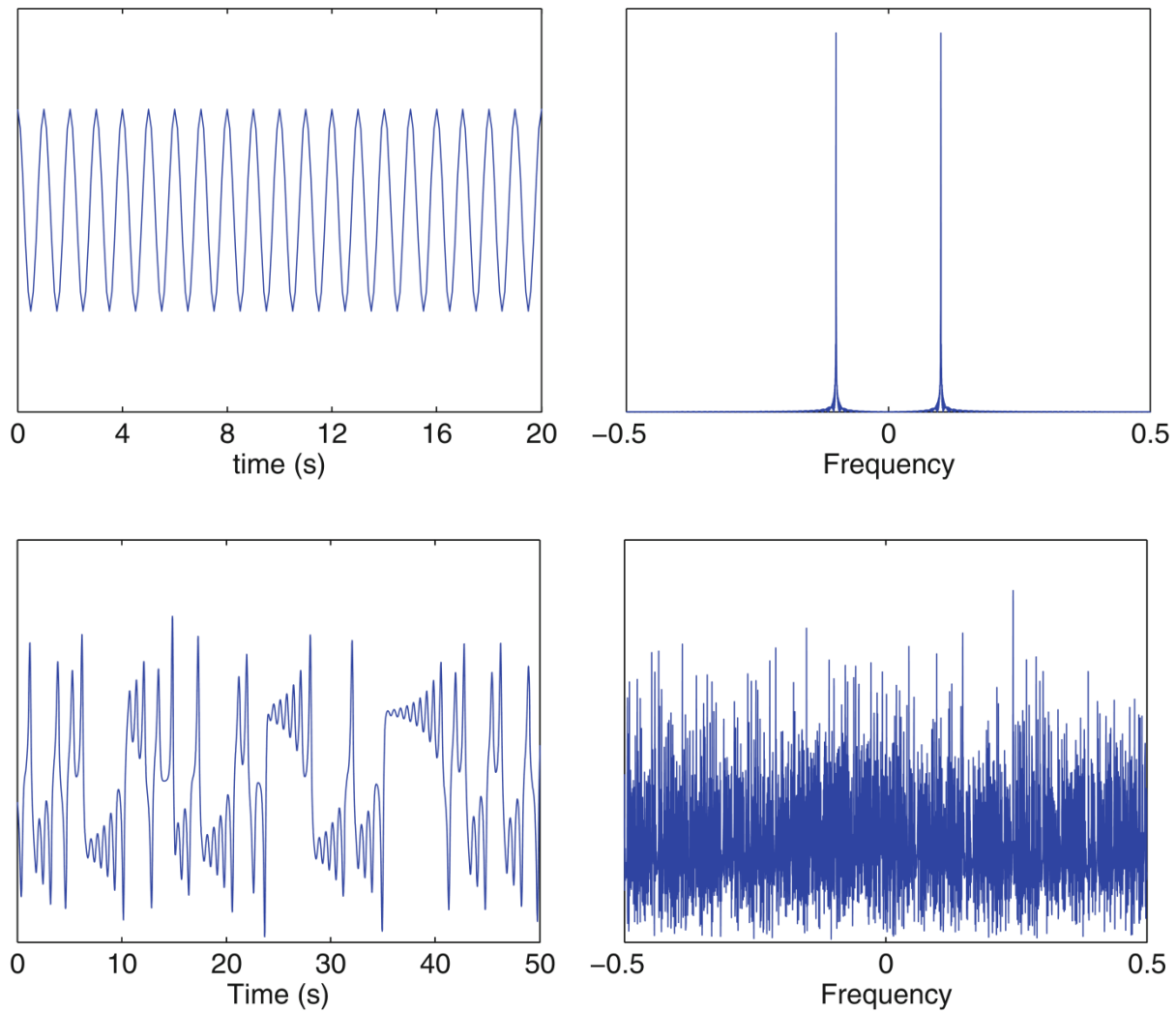
ویژگی دیگر سیستم آشوبی، داشتن جاذب شگفت<sup>۱۶</sup> است. به طور کیفی، جاذب‌های شگفت جاذب‌هایی هستند که مسیر حالت به سمت آن‌ها جذب می‌شوند و در همان حال از آن‌ها دور می‌شود. نمونه چنین جاذبی را در شکل (۲-۴) مشاهده می‌کنید که مسیر فاز دینامیک لورنز را نمایش می‌دهد.



شکل ۲-۴. نمونه‌ای از رفتار دینامیک لورنز به ازای  $\sigma = 10$ ،  $r = 28$  و  $b = 8/3$

<sup>۱۶</sup> Strange attractor

از ویژگی‌های دیگر آشوب، وجود طیف فرکانسی پیوسته است. می‌دانیم اگر سیستمی دارای رفتار تناوبی باشد، دارای طیف گسسته ایست، اما در سیستم‌های آشوبی، طیف پیوسته خواهد بود. مقایسه‌ای بین طیف گسسته رفتاری تناوبی و طیف پیوسته رفتار آشوبی را در شکل (۲-۵) مشاهده می‌کنید.



شکل ۲-۵. مقایسه طیف فرکانسی بین حرکت متناوب و حرکت آشوبی. مشاهده می‌شود که برخلاف دینامیک متناوب، دینامیک آشوبی طیف پیوسته دارد (صفر نبودن و عرض داشتن طیف حرکت تناوبی به دلیل خطای محاسبات عددی و محدود بودن پنجره تبدیل فوریه است) [۱۲].



## ۲-۱- نگاشت‌های آشوبی:

به لحاظ ریاضی و محاسباتی حل معادله دیفرانسیل غیرخطی مشکل است؛ اما حتی مدل‌های ابتدایی می‌توانند شناختی از سازوکار آشوب ارائه دهند. این مدل‌ها به جای معادله‌های دیفرانسیل، در قالب معادله‌های تفاضلی بیان می‌شوند. یک نمونه معادله تفاضلی دارای شکل زیر است.

$$x_{n+1} = f(\mu, x_n) \quad (2-2)$$

که در آن  $x_n$  عددی حقیقی در بازه  $(0,1)$  مربوط به  $n$  امین مقدار  $x$  و  $\mu$  یک پارامتر است. می‌توان  $nT$  را به صورت زمان در نظر گرفت که در آن  $T$  یک بازه زمانی بنیادی است. پارامتر  $\mu$  برحسب مدل تغییر می‌کند و در مثال‌هایی که بررسی می‌کنیم تغییرات آن به شروع یک رفتار آشوبناک می‌انجامد. تابع  $f$  نگاشتی است از بازه  $(0,1)$  به خودش، چراکه  $x_{n+1}$  را از  $x_n$  تولید می‌کند. تابع  $f(\mu, x_n)$  نیز برحسب  $x_n$  غیرخطی است. معادله تفاضلی با روش تکرار به راحتی قابل حل است و حل عددی آن به زمان بسیار کمتری از معادله دیفرانسیل نیاز دارد [۱۴].

## ۲-۱-۱- نگاشت لجستیک:

این نگاشت ساده با معادله تفاضلی

$$x_{n+1} = \mu x_n (1 - x_n), \quad x_n \in [0,1] \quad (3-2)$$

تعریف می‌شود. نام این معادله از معادله دیفرانسیل نظیر آن گرفته شده است

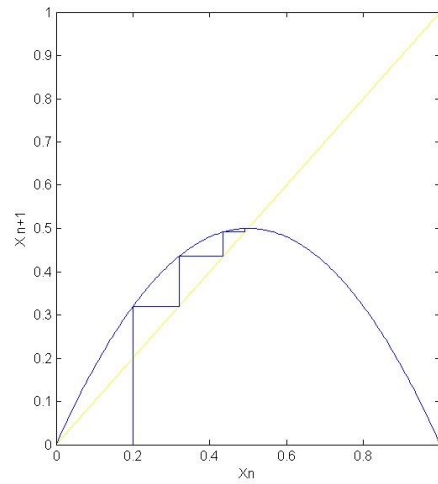
$$\frac{dx}{dt} = \mu x(1-x) \quad (4-2)$$

نگاشت لجستیک یک بعدی و غیرخطی است و می توان آن را به صورت شکل نشان داده شده در شکل (۶-۲) تصور کرد. نمودار دارای سه قسمت است: سهمی  $y = \mu x(1-x)$ ، خط قطری  $x_{n+1} = x_n$  و مجموعه ای از خطهایی که تکرار پی در پی نگاشت را به هم متصل می کنند. دنباله زمانی ناشی از نگاشت با انتخاب مقدار  $\mu$  (در این مورد  $\mu = 2$ ) به دست می آید. ابتدا منحنی درجه دوم نظیر  $\mu = 2$  رسم می شود، سپس تولید مکرر نقطه های بعدی با توجه به یک مقدار اولیه (در این مورد  $x_0 = 0.2$ ) صورت می گیرد. اولین نقطه،  $x_1$ ، جایی است که خط  $x_0 = 0.2$  منحنی درجه دو را قطع می کند و پس از آن، مرحله بعدی به راحتی با حرکت افقی مشخص می شود، یعنی  $x_{n+1} = x_n$ . این فرآیند تا مرحله ای تکرار می شود که  $x$  به مقدار پایای  $x_{n+1} = x_n$  برسد. این نقطه ثابت زمانی حاصل می شود که اندازه شیب نگاشت در جایی که خط قطری را قطع می کند، کمتر از واحد باشد.

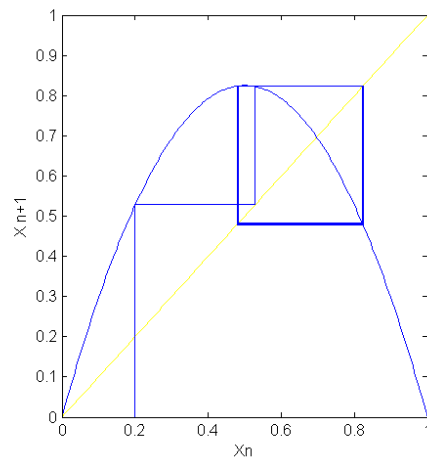
در شکل (۶-۲) دنباله  $\{x_n\}$  به یک نقطه ثابت می رسد. تجربه نشان می دهد که به ازای تمام شرایط اولیه  $x_0$  و به ازای  $\mu = 2$  به نقطه ثابت قبلی می رسیم. مطابق شکل (۷-۲) اگر  $\mu$  با مقدار تقریبی  $\frac{2}{3}$  افزایش یابد، وضعیت تغییر می کند. مطابق شکل (۷-۲) الف. منحنی درجه دو شیب دارتر می شود و مقدار شیب آن  $|f'(x)|$  در نقطه تقاطع بزرگ تر از یک می شود. در نتیجه نقطه ثابت ناپایدار می شود و پس از گذر از مراحل اولیه،  $x_n$  بین دو مقدار به گونه ای نوسان می کند که  $x_{n+2} = x_n$ . مطابق شکل (۷-۲) ب. اینک حرکت دوره ای است. مقادیر بالاتر  $\mu$  به دوشاخه شدگی های<sup>۱۷</sup> بیشتر و حتی رفتار آشوبناک می انجامد. شکل (۸-۲) این وضعیت را برای  $\mu = 3.9$  نشان می دهد. رفتار درازمدت آن چنان است که  $x_n$  به چند نقطه محدود نمی شود بلکه قسمت بیشتر ناحیه مشخصی از منحنی را پر می کند و رفتار آن آشفته است.

---

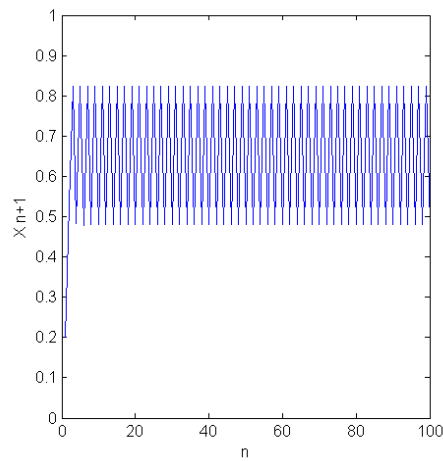
<sup>۱۷</sup> Bifurcation



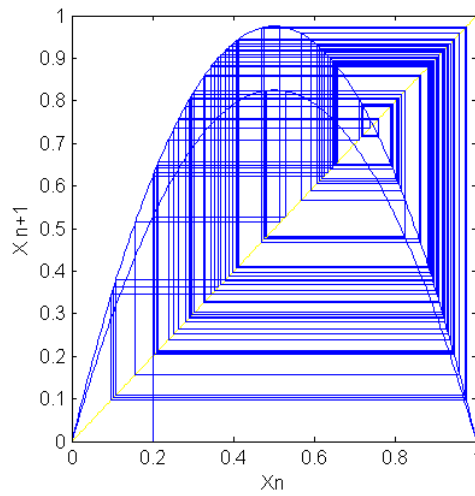
شکل ۲-۶. تحول نگاشت لجستیک به ازای  $\mu = 2$ . مقدار تعادل  $x = 0.5$  است.



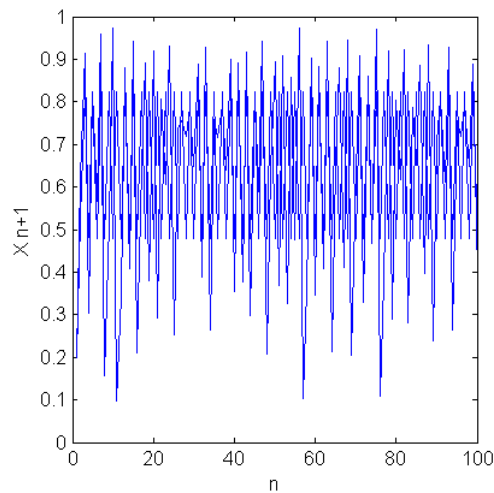
شکل ۲-۷. (الف) نگاشت لجستیک به ازای  $\mu = 3.3$  نوسانی را بین دو مقدار  $x = 0.48$  و  $x = 0.83$  نشان می‌دهد.



شکل ۲-۷. (ب) حرکت دوره‌ای بر حسب شماره تکرار دیده می‌شود.



شکل ۲-۸. (الف) تکرار نگاشت لجستیک، در حالت آشوبناک و به ازای  $\mu = 3.9$



شکل ۲-۸. (ب) حرکت آشوبناک بر حسب شماره تکرار

## ۲-۱-۲- نگاشت‌های چند مدال<sup>۱۸</sup>:

در این بخش خانواده‌ای از نگاشت‌های چند مدال تک پارامتر معرفی می‌شود که دامنه نگاشت‌ها به زیر دامنه‌هایی بر اساس ماکزیمم تعداد مدال‌های تولیدشده تقسیم می‌شود. هر زیر دامنه شامل یک

<sup>۱۸</sup> Multimodal

نگاشت لجستیک است [۱۵]. نگاشت‌های آشوبی چند مدال را می‌توان برای بالا بردن امنیت سیستم‌های مخابرات آشوبی مورد استفاده قرار داد.

تعریف:

نگاشت  $f_\beta$  را  $k$  مدال گویند اگر پیوسته و دارای  $k$  نقطه بحرانی  $c_0, c_1, \dots, c_{k-1}$  در بازه  $I$  و به‌طور یکنواخت برای هر  $(c_i, i = \{0, 1, 2, \dots, k\})$ ، در سمت چپ  $c_i$  افزایش و در سمت راست کاهش یابد.  $f$  را یک نگاشت  $k$  مدال گویند اگر بتوانیم به‌صورت ترکیبی از نگاشت‌های تک مدال  $f_1, f_2, \dots, f_k$  با شرایط زیر بنویسیم:

- $f_i: I_i \rightarrow I$  نقطه بحرانی یکتا دارد (یک ماکزیمم)

- $f(c_i) = f(c_j)$ , for  $i \neq j$

- $\bigcup_{i=1}^k I_i = I$

خانواده پارامتری شده  $F$  از نگاشت‌های  $f_\beta$ ، توسط تابع تکه‌ای زیر تعریف می‌شود:

$$f_\beta(x) = \beta(d_{r+1} - x)(x - d_r), \quad \text{for } x \in [d_r, d_{r+1}), \quad (5-2)$$

در این تعریف  $\{d_r = r/k (r = \{0, 1, 2, \dots, k-1\})$  و  $\beta \in J = [0, \alpha k / \gamma]$  است و برای بازه‌ها داریم:

$$I = \bigcup_{r=0}^{k-1} [d_r, d_{r+1}), \quad \bigcap_{r=0}^{k-1} [d_r, d_{r+1}) = \phi \quad (6-2)$$

برای مثال اگر  $k=2$  را به عنوان تعداد مدال‌ها در نظر بگیریم، بازه به دو زیربازه  $\hat{I}_0=[0,0.5)$  و  $\hat{I}_1=[0.5,1]$  با ظرفیت  $\gamma=0.5$  تقسیم می‌شود بنابراین  $r=0,1$  و خانواده  $F$  دارای دو عضو بصورت زیر می‌باشد:

(۱) برای یک نگاشت دو مدال<sup>۱۹</sup> با  $r=0$  داریم:

$$\beta = \alpha(k-r)/\gamma = (4)(2)/0.5 = 16$$

$$f_{16}(x) = 16 \begin{cases} (1/2-x)x & \text{for } x \in [0,0.5); \\ (1-x)(x-1/2) & \text{for } x \in [0.5,1]; \end{cases}$$

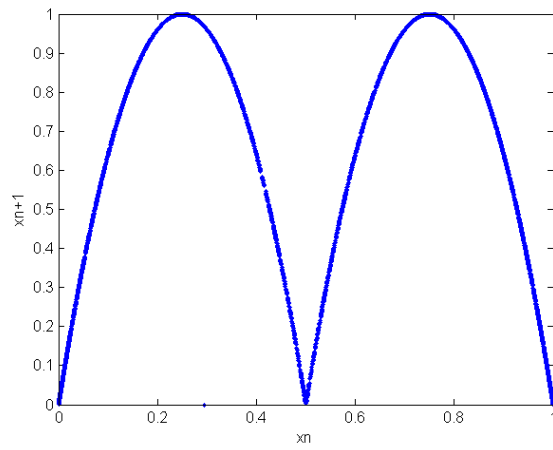
(۲) برای یک نگاشت تک مدال<sup>۲۰</sup> با  $r=1$  داریم:

$$\beta = \alpha(k-r)/\gamma = (4)(1)/0.5 = 8$$

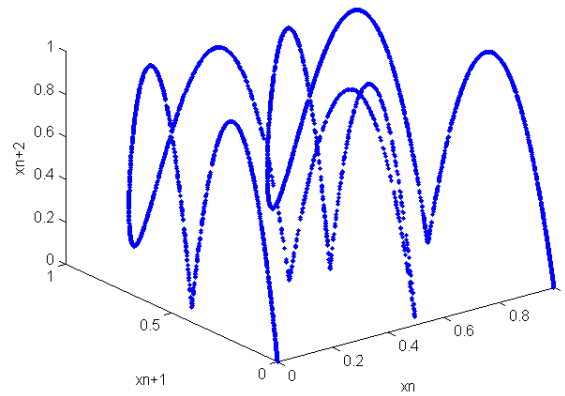
$$f_8(x) = 8 \begin{cases} (1/2-x)x & \text{for } x \in [0,0.5); \\ (1-x)(x-1/2) & \text{for } x \in [0.5,1]; \end{cases}$$

---

<sup>۱۹</sup> Bimodal  
<sup>۲۰</sup> Unimodal



شکل ۲-۹. (الف) خانواده نگاشت دومدال



شکل ۲-۹. (ب) نمایش سه بعدی دیاگرام فاز خانواده نگاشت دومدال

بدون از دست دادن کلیت مساله، حالت خاص نگاشت آشوبی چهارمدال با  $k=4$  را در نظر می‌گیریم.

خانواده تک پارامتری  $F$  از نگاشت های آشوبی چند مدال  $f_\beta$  بصورت زیر قابل بیان است:

$$f_\beta(x) = \beta \begin{cases} (1/4-x)x & \text{for } x \in [0, 1/4]; \\ (1/2-x)(x-1/4) & \text{for } x \in [1/4, 1/2]; \\ (3/4-x)(x-1/2) & \text{for } x \in [1/2, 3/4]; \\ (1-x)(x-3/4) & \text{for } x \in [3/4, 1]; \end{cases}$$

با  $k=4$ ،  $r=0,1,2,3$ ،  $\gamma=0.25$  و  $\alpha=4$  بازه مورد نظر به صورت  $\beta \in j \in [0,64]$  تعیین می‌شود

بنابراین خانواده چهارعضوی  $F$  به صورت زیر است:

(۱) نگاشت چهارمدال  $f_{64}$  برای  $r=0$ .

(۲) نگاشت سه‌مدال<sup>۲۱</sup>  $f_{48}$  برای  $r=1$ .

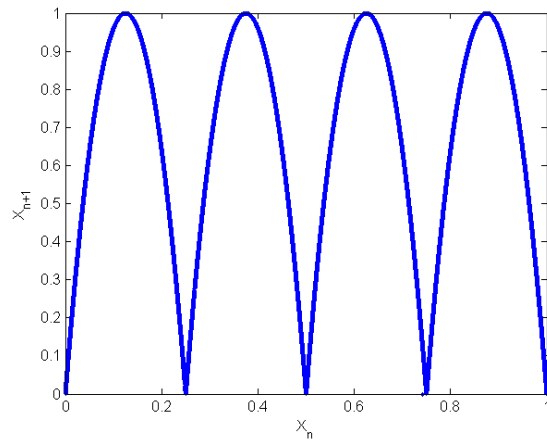
(۳) نگاشت دو‌مدال  $f_{32}$  برای  $r=2$ .

(۴) نگاشت تک‌مدال  $f_{16}$  برای  $r=3$ .

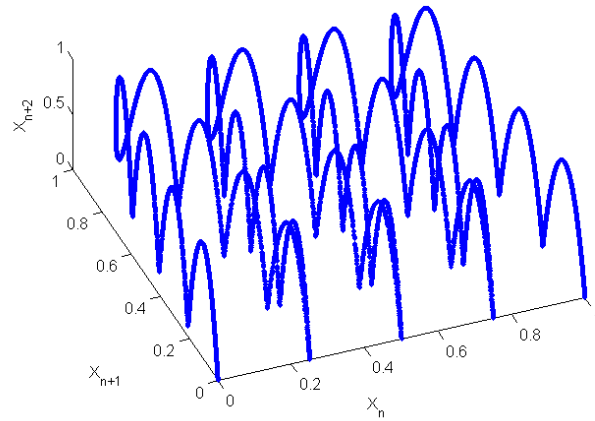
---

<sup>۲۱</sup> Trimodal

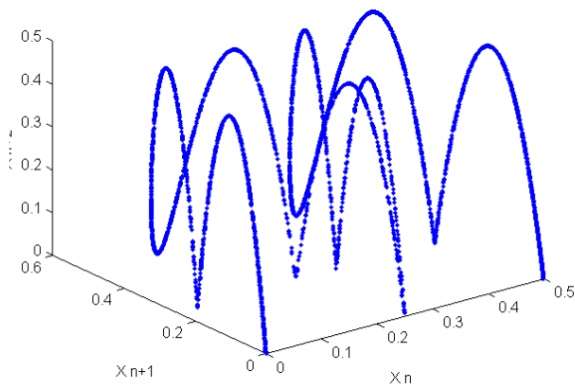




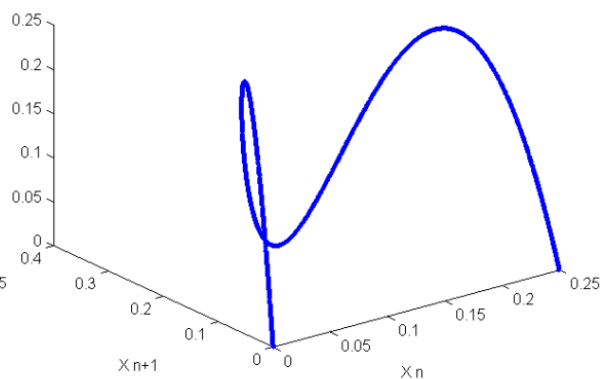
شکل ۲-۱۰. خانواده نگاشت چهارمدال



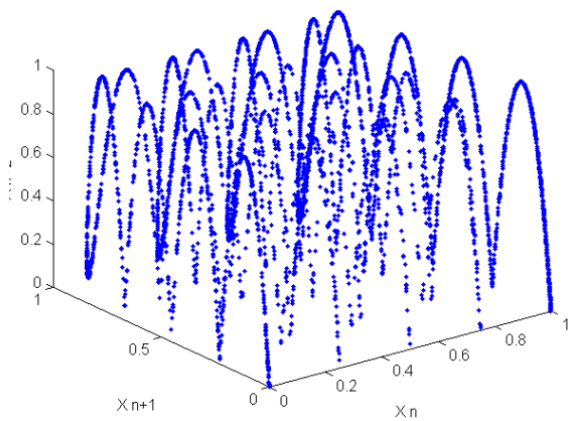
شکل ۲-۱۱. شکل سه‌بعدی فضای فاز نشان دهنده ساختار کشیدگی و تابندگی نگاشت آشوبی چهارمدال



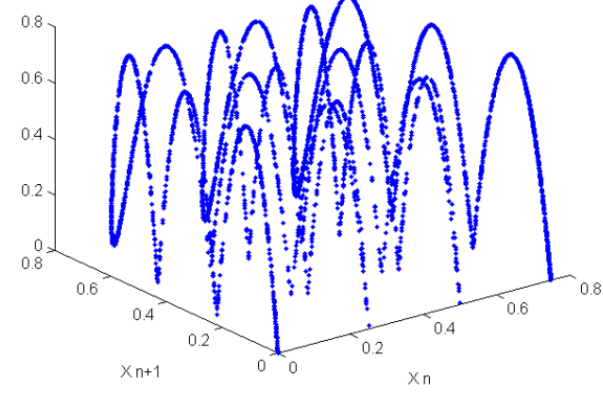
(ب)



(الف)



(د)



(ج)

شکل ۲-۱۲. شکل سه بعدی فضای فاز نشان دهنده ساختار کشیدگی و تابندگی نگاشت آشوبی چهارمدال برای  $k=4$ : (الف)  $r=3$ . (ب)  $r=2$ . (ج)  $r=1$ . (د)  $r=0$ .

## فصل سوم: سنکرون سازی سیستم‌های آشوبی

سنکرون سازی<sup>۲۲</sup> یا همزمانی سیستم‌های دینامیکی پدیده‌ای است که در سال‌های اخیر توجه بسیاری را به خود جلب کرده است. همزمانی دو سیستم دینامیکی به زبان ساده یعنی اعمال تغییراتی در دو سیستم به طوری که هر دو آن‌ها یک رفتار از خود نشان دهند. به عنوان مثال در بسیاری از روش‌های انتقال داده در سیستم‌های مخابراتی، طرف گیرنده و فرستنده هر دو می‌بایست به یک سیگنال حامل<sup>۲۳</sup> یکسان دسترسی داشته باشند. یکسان بودن سیگنال در مخابرات کلاسیک معادل هم فرکانس و هم فاز بودن دو سیگنال سینوسی است. از طرف دیگر، همزمانی در سیستم‌های آشوبناک نیز به دلیل کاربردهای متنوعش در مخابرات امن مهم است. در این نوع همزمانی خروجی دو سیستم آشوبناک می‌بایست به وسیله کنشی که دو سیستم توسط سیگنال کنترلی بر هم می‌گذارند تا حد ممکن یکسان شود. نکته مهم و قابل توجه این است که چنین کاری تا چند سال گذشته غیرممکن تلقی می‌شد. دلیل این تصور، ناپایداری ذاتی سیستم‌های آشوبی است (که با مثبت بودن نمای لیاپانوف آن نمود پیدا می‌کند) که باعث می‌شود برخلاف خیلی از سیستم‌های دیگر تفاوت بسیار جزئی در شرایط اولیه دو سیستم، تغییرات قابل توجهی در نتیجه نهایی ایجاد کند. پس سعی در تنظیم دقیق پارامترها و شرایط اولیه دو سیستم آشوبی، محکوم به شکست است. باین حال در سال ۱۹۹۰ پکارو و کارول<sup>۲۴</sup> نشان دادند که در شرایطی با ایجاد سیگنال خطا و اعمال آن به سیستم می‌توان آن دو را همزمان کرد [۱۶]. پیش از معرفی این روش خوب است همزمانی را به طور ریاضی فرمول بندی کنیم [۱۷].

### ۳-۱- فرمول بندی همزمانی

فرض کنید  $k$  سیستم متصل به هم زیر را داشته باشیم:

---

<sup>۲۲</sup> Synchronization

<sup>۲۳</sup> Carrier signal

<sup>۲۴</sup> Pecaro and Corroll

(۱-۳)

$$S_i : \dot{x}_i = F_i(x_1, x_2, \dots, x_k, t) \quad i = 1, \dots, k$$

که در آن  $F_i : \mathfrak{R}^{n_1} \times \mathfrak{R}^{n_2} \times \dots \times \mathfrak{R}^{n_k} \times \mathfrak{R}_+ \rightarrow \mathfrak{R}^{n_i}$  برای هر  $\tau \in \mathfrak{R}$ ، اپراتور انتقال زمانی را به صورت  $(\sigma_\tau x)(t) = x(t + \tau)$  تعریف می‌کنیم [۱۲]. تابع  $Q$  را بر روی  $x_i(t)$ ها تعریف می‌کنیم.

### ۳-۱-۱- تعریف همزمانی

پاسخ  $x_1(t)$ ،  $x_2(t)$ ، ... و  $x_k(t)$  سیستم‌های  $S_1$ ،  $S_2$ ، ... و  $S_k$  با شرایط اولیه  $x_1(0)$ ،  $x_2(0)$ ، ... و  $x_k(0)$  را با توجه به فراتابع<sup>۲۵</sup>  $Q_i(x_1, \dots, x_k, t)$  همزمان است اگر

$$i = 1, \dots, k \quad (۲-۳)$$

$$Q_i(\sigma_{\tau_1} x_1, \dots, \sigma_{\tau_k} x_k, t) \equiv 0,$$

رابطه به ازای  $\forall t \in \mathfrak{R}$  و مقادیری از  $\tau_1, \dots, \tau_k$  می‌باشد.

این سیستم‌ها به‌طور تقریبی همزمان‌اند اگر همه‌ی شرایط مانند قبل باشد و همچنین وجود داشته باشد  $\varepsilon \in \mathfrak{R}$  که

$$|Q_i(\sigma_{\tau_1} x_1, \dots, \sigma_{\tau_k} x_k, t)| < \varepsilon, \quad i = 1, \dots, k \quad (۳-۳)$$

در ضمن  $S_1, \dots, S_k$  به‌طور مجانبی همزمان است اگر

$$\lim_{t \rightarrow \infty} Q_i(\sigma_{\tau_1} x_1, \dots, \sigma_{\tau_k} x_k, t) = 0, \quad i = 1, \dots, k \quad (۴-۳)$$

---

<sup>۲۵</sup> Functional

در همه‌ی این تعارف اگر به‌جای  $Q_i(x_1, \dots, x_k, t)$  ها از  $Q_i(y_1, \dots, y_k, t)$  استفاده کنیم که  $y_i(t) = h_i(x_i(t))$  خروجی سیستم‌ها باشند به هم‌زمانی خروجی<sup>۲۶</sup> نیز قابل‌تعمیم است [۱۲]. برای تعمیم بیش‌تر می‌توان  $\tau_i$  ها را نیز متغیر با زمانی گرفت که دارای حد مشخص و ثابتی هستند.

حالت خاص این تعاریف وقتی است که برای ارتباط دو سیستم تعریف کنیم:

$$Q_1(x_1, x_2) = Q_2(x_1, x_2) = Q(x_1, x_2) = |x_1(t) - x_2(t)| \quad (۵-۳)$$

اینک مسئله هم‌زمان کردن دو سیستم معادل می‌شود با پیدا کردن سیگنال کنترلی که این سیستم‌ها را با توجه به یکی از این شرایط هم‌زمانی، هم‌زمان کند.

### ۳-۲- مروری بر سنکرون سازی های انجام شده

در این بخش تعدادی از سنکرون سازی‌های انجام‌شده به همراه نتایج، مزایا و معایب آن‌ها را مرور می‌کنیم. به‌طور کلی طراحی سیستمی که بتواند رفتار یک سیستم آشوبی را دنبال کند سنکرون سازی گفته می‌شود که بنا به تعریف به سیستم نخست پایه<sup>۲۷</sup> و به سیستم دوم پیرو<sup>۲۸</sup> گویند.

سنکرون سازی سیستم‌های آشوبی در زمینه‌های بسیار زیادی مانند فیزیک، سیستم‌های مهندسی مانند مبدل‌های قدرت، واکنش‌های شیمیایی، سیستم‌های بیولوژیکی، پردازش اطلاعات و به‌خصوص در مخابرات امن کاربرد دارند [۱۸-۲۱]. خصوصیت مشترک سیستم‌های آشوبی داشتن رفتار غیرقابل پیش‌بینی و حساسیت بسیار زیاد به شرایط اولیه است بطوریکه با کوچکترین تغییر در شرایط اولیه پاسخ‌ها بسیار متفاوت خواهند شد [۲۲]. در مدولاسیون آشوبی برای استخراج اطلاعات در گیرنده باید بین گیرنده و فرستنده سنکرون سازی روی دهد. برای سنکرون سازی سیستم‌های آشوبی

<sup>۲۶</sup> Output synchronization

<sup>۲۷</sup> Master

<sup>۲۸</sup> Slave

روش‌های متعددی ارائه شده است مانند کنترل مقاوم [۴]، کنترل حالت لغزشی [۵]<sup>۲۹</sup>، کنترل تطبیقی [۶-۸]، کنترل بهینه [۹]، و... در این نوع سنکرون سازی‌ها دو سیستم گیرنده و فرستنده آشوبی باقی می‌ماند ولی یکی با دیگری سنکرون می‌شوند (دو سیستم آشوبی در گیرنده و فرستنده در شرایط اولیه متفاوت کار می‌کنند).

### ۳-۲-۱- سنکرون سازی مقاوم شبه مد لغزشی<sup>۳۰</sup>

در این روش طراحی کنترل کننده شبه مد لغزشی برای سنکرون سازی سیستم‌های آشوبی لورنز تعمیم یافته بررسی خواهد شد [۴]. این روش برای جلوگیری از پدیده چترینگ که اغلب در کنترل معمولی مد لغزشی ظاهر می‌شود ارائه شده است که می‌توان خطای بین سیستم‌های پایه و پیرو را پایدار و به صورت دلخواه و قابل پیش‌بینی به همسایگی از صفر هدایت کرد.

یکی از روش‌های مورد توجه به منظور سنکرون سازی سیستم‌های آشوبی روش کنترل مد لغزشی است که این روش در واقع یک استراتژی کنترل غیر پیوسته بوده و شامل دو مرحله انتخاب سطح لغزش مناسب به منظور قرارگیری حالت‌ها بر آن و سپس طراحی یک قانون کنترل غیر پیوسته برای ماندن مسیر سیستم بر سطح مورد نظر و رسیدن به عملکرد کنترلی مطلوب است.

در سیستم‌های کنترل مد لغزشی معمولی اغلب پدیده مخرب چترینگ به وجود می‌آید که روش‌های مختلفی برای غلبه بر این پدیده ارائه شده است؛ بنابراین روش کنترل مد لغزشی که نه تنها سنکرون سازی بدون چترینگ را نتیجه دهد بلکه بتواند عملکرد کنترلی را پیش‌بینی کند، ضروری است. در ادامه دینامیک سیستم‌های آشوبی لورنز تعمیم یافته، تعریف خطا، مسئله سنکرون سازی، تعریف مانیفولد شبه مد لغزشی و دینامیک‌های خطا در مانیفولد شبه مد لغزشی بیان می‌شود. در بخش نهایی هم یک QSMC برای تضمین دقت مانیفولد<sup>۳۱</sup> شبه لغزشی ارائه شده است.

<sup>۲۹</sup> Sliding Mode Control

<sup>۳۰</sup> Quasi sliding mode control(QSMC)

<sup>۳۱</sup> Manifold

### ۳-۱-۱- توصیف سیستم و معادلات

در این قسمت سنکرون سازی مقاوم دو سیستم لورنز تعمیم یافته<sup>۳۲</sup> یکسان با یک کنترل کننده شبه مد لغزشی را بیان می کنیم. سیستم های لورنز عموماً به صورت زیر بیان می شوند:

$$\begin{aligned}\dot{x}_1(t) &= (10 + \frac{25}{29}k) \cdot [x_2(t) - x_1(t)] \\ \dot{x}_2(t) &= (25 + \frac{35}{29}k)x_1(t) + (k-1)x_2(t) - x_1(t)x_3(t) \\ \dot{x}_3(t) &= (-\frac{8}{3} - \frac{1}{87}k)x_3(t) + x_1(t)x_2(t)\end{aligned}\quad (۶-۳)$$

$$[x_1(0) \ x_2(0) \ x_3(0)]^T = [x_{10} \ x_{20} \ x_{30}]^T$$

که  $x(t) = [x_1(t) \ x_2(t) \ x_3(t)]^T = R^3$  بردار حالت،  $[x_{10} \ x_{20} \ x_{30}]^T$  بردار شرایط اولیه سیستم و  $0 \leq k < 1$  پارامتر سیستم است. سیستم اصلی لورنز زمانی به دست می آید که  $k = 0.3$  قرار دهیم. رفتار این سیستم به طور کامل در [۲۳] به ازای تغییرات مقادیر مختلف  $k$  در بازه  $0 \leq k < 1$  بررسی شده است. در این سنکرون سازی دو سیستم آشوبی لورنز تعمیم یافته در نظر می گیریم و روند طراحی یک کنترل کننده شبه مد لغزشی را بیان می کنیم.

دو سیستم لورنز با متغیرهای  $x$  و  $y$  را که به ترتیب سیستم های پایه و پیرو هستند را به صورت زیر در نظر می گیریم:

الف) سیستم پایه:

$$\begin{aligned}\dot{x}_1(t) &= (10 + \frac{25}{29}k) \cdot [x_2(t) - x_1(t)] \\ \dot{x}_2(t) &= (25 + \frac{35}{29}k)x_1(t) + (k-1)x_2(t) - x_1(t)x_3(t) \\ \dot{x}_3(t) &= (-\frac{8}{3} - \frac{1}{87}k)x_3(t) + x_1(t)x_2(t)\end{aligned}\quad (۷-۳)$$

ب) سیستم پیرو:

<sup>32</sup> Generalized chaotic Lorenz systems



$$\begin{aligned} \dot{y}_1(t) &= (10 + \frac{25}{29}k) \cdot [y_2(t) - y_1(t)] \\ \dot{y}_2(t) &= (25 + \frac{35}{29}k)y_1(t) + (k-1)y_2(t) - y_1(t)y_3(t) + d(t) + u(t) \\ \dot{y}_3(t) &= (-\frac{8}{3} - \frac{1}{87}k)y_3(t) + y_1(t)y_2(t) \end{aligned} \quad (۸-۳)$$

در حالت کلی عدم قطعیت  $d(t)$  را به صورت  $|d(t)| \leq \alpha$  که  $\alpha \geq 0$  در نظر می‌گیریم.

به منظور سنکرون سازی دو سیستم بیان شده، سیگنال کنترلی ورودی  $u$  را در معادله دوم سیستم پیرو قرار می‌دهیم و خطای سنکرون سازی را به صورت زیر تعریف می‌کنیم:

$$E(t) = [e_1(t) \ e(t)_2 \ e(t)_3]^T = [y_1(t) - x_1(t) \ y_2(t) - x_2(t) \ y_3(t) - x_3(t)]^T \quad (۹-۳)$$

بنابراین دینامیک خطا سیستم مستقیماً از تفاضل معادلات به صورت زیر به دست می‌آید:

$$\begin{aligned} \dot{e}_1(t) &= (10 + \frac{25}{29}k) \cdot [e_2(t) - e_1(t)] \\ \dot{e}_2(t) &= (25 - \frac{35}{29}k)e_1(t) + (k-1)e_2(t) - y_1(t)y_3(t) + x_1(t)x_3(t) + d(t) + u(t) \\ \dot{e}_3(t) &= (-\frac{8}{3} - \frac{1}{87}k)e_3(t) + y_1(t)y_2(t) - x_1(t)x_2(t) \end{aligned} \quad (۱۰-۳)$$

هدف از ارائه این روش این است که خطای سنکرون سازی به صورت محدود و قابل پیش‌بینی  $\lim_{t \rightarrow \infty} |e_i| \leq \varepsilon_i, i=1,2,3$  به دست آید. مقادیر ثابت  $\varepsilon_i \geq 0$  وابسته به پارامترهای انتخاب شده در طراحی

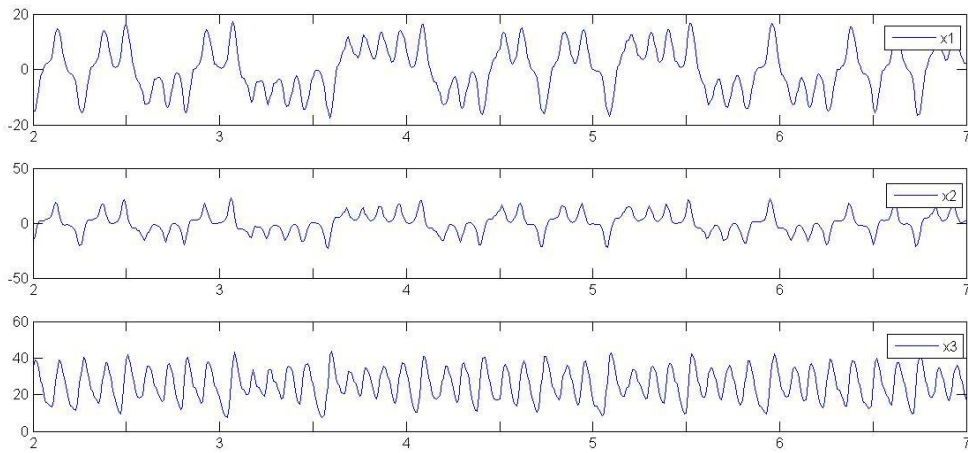
کنترل کننده شبه مد لغزشی است که در ادامه به آن خواهیم پرداخت.

نمودار حالت‌های سیستم‌های پایه و پیرو در شکل ۱-۳ و ۲-۳ نشان داده شده است. برای تضمین

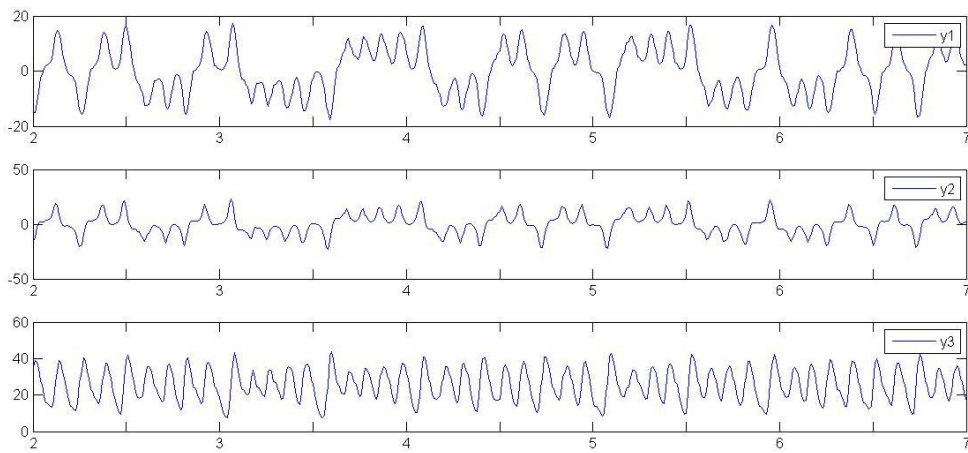
رفتار آشوبی سیستم لورنز  $k=0.3$  را در نظر گرفته و شرایط اولیه سیستم‌های پایه و پیرو را به

ترتیب  $x_1(0)=22, x_2(0)=15, x_3(0)=12$  و  $y_1(0)=20, y_2(0)=13, y_3(0)=12$  انتخاب

می‌کنیم. عدم قطعیت یکسان را  $|d(t)| \leq \alpha \rightarrow d(t) = 0.2 \sin(2t)$  در نظر می‌گیریم.

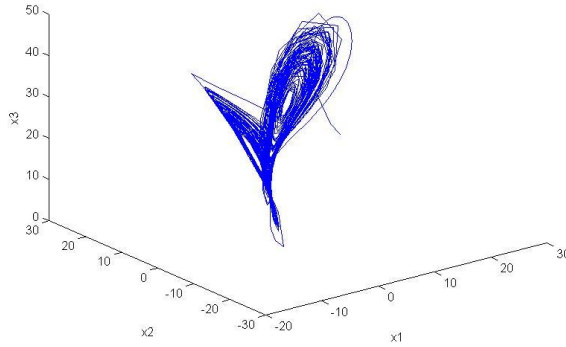


شکل ۳-۱. سری‌های زمانی سیستم پایه با شرایط اولیه  $x_1(0) = 22$ ،  $x_2(0) = 15$  و  $x_3(0) = 12$ .



شکل ۳-۲. سری‌های زمانی سیستم پیرو با حضور عدم قطعیت با شرایط اولیه  $y_1(0) = 20$ ،  $y_2(0) = 13$  و

$$y_3(0) = 12.$$



شکل ۳-۳. نمودار سه بعدی دینامیک‌های سیستم لورنز

### ۳-۱-۲- تعریف مانیفولد شبه لغزشی و طراحی سطح سویچینگ

تابع سویچینگ به صورت  $s(t) = e_2(t) + \lambda e_1(t)$  تعریف می‌شود که  $s \in R$  و  $\lambda > -1$  ثابت‌های طراحی هستند.

قبل از ادامه بحث، مانیفولد شبه لغزشی را به صورت زیر تعریف می‌کنیم.

#### تعریف ۱:

خطای سیستم در مانیفولد شبه لغزشی قرار دارد اگر  $\delta_0 > 0$  و  $t_0 > 0$  وجود داشته باشد بطوریکه هر

پاسخ  $x(0)$  خطا سیستم (۳-۱۰) در  $|s(t)| \leq \delta_0$  برای تمام  $t \geq t_0$  صدق کند.

بنابراین دینامیک خطای  $e_1(t)$  به صورت زیر به دست می‌آید:

$$\dot{e}_1(t) = (10 + \frac{25}{29}k) \cdot [s(t) - \lambda e_1(t) - e_1(t)] = -\lambda_1 e_1(t) + (10 + \frac{25}{29}k)s(t) \quad (۳-۱۱)$$

که داریم:

$$\lambda_1 = (10 + \frac{25}{29}k) \cdot [1 + \lambda] \quad (۳-۱۲)$$

با حل معادله دیفرانسیل بالا داریم:

$$e_1(t) = e^{-\lambda_1(t-t_0)} e_1(t_0) + \int_{t_0}^t e^{-\lambda_1(t-\tau)} \left[ \left(10 + \frac{25}{29}k\right) s(\tau) \right] d\tau \quad (13-3)$$

طبق تعریف ۱ وقتی سیستم در مانیفولد شبه لغزشی قرار دارد،  $\delta_0 > 0$  است بنابراین کران  $e_1(t)$  به صورت زیر تخمین زده می شود:

$$\begin{aligned} |e_1(t)| &= \left| e^{-\lambda_1(t-t_0)} e_1(t_0) + \int_{t_0}^t e^{-\lambda_1(t-\tau)} \left[ \left(10 + \frac{25}{29}k\right) s(\tau) \right] d\tau \right| \\ &\leq e^{-\lambda_1(t-t_0)} |e_1(t_0)| + \int_{t_0}^t e^{-\lambda_1(t-\tau)} \left| \left[ \left(10 + \frac{25}{29}k\right) s(\tau) \right] \right| d\tau \\ &\leq e^{-\lambda_1(t-t_0)} |e_1(t_0)| + \left[ \left(10 + \frac{25}{29}k\right) \delta_0 \right] e^{-\lambda_1 t} \int_{t_0}^t e^{-\lambda_1 \tau} d\tau \\ &= e^{-\lambda_1(t-t_0)} |e_1(t_0)| + \left[ \left(10 + \frac{25}{29}k\right) \delta_0 \right] \frac{1 - e^{-\lambda_1(t-t_0)}}{\lambda_1} \end{aligned} \quad (14-3)$$

تا هنگامی که  $\lambda > -1$ ، داریم  $\lambda_1 = \left(10 + \frac{25}{29}k\right)(1 + \lambda) > 0$  و کران به صورت زیر به دست می آید:

$$\lim_{t \rightarrow \infty} |e_1(t)| \leq \varepsilon_1 = \left[ \left(10 + \frac{25}{29}k\right) \delta_0 \right] / \lambda_1 = \frac{\delta_0}{1 + \lambda} \quad (15-3)$$

همچنین می توان با استفاده از رابطه  $s(t) = e_2(t) + \lambda e_1(t)$  کران  $e_2(t)$  زمانی که  $t \rightarrow \infty$  را محاسبه نمود:

$$\begin{aligned} \lim_{t \rightarrow \infty} |e_2(t)| &= \lim_{t \rightarrow \infty} |s(t) - \lambda e_1(t)| \leq \lim_{t \rightarrow \infty} |s(t)| + \lim_{t \rightarrow \infty} |\lambda| |e_1(t)| \leq \varepsilon_2 \\ &= \delta_0 + |\lambda| \varepsilon_1 \end{aligned} \quad (16-3)$$

همان طور که  $e_1(t)$  و  $e_2(t)$  به ترتیب به  $\varepsilon_1$  و  $\varepsilon_2$  همگرا می شود،  $t_\varepsilon$  وجود دارد بطوریکه برای  $t \geq t_\varepsilon$  داریم:

$$|e_i| \leq \varepsilon_i, i = 1, 2 \quad (17-3)$$

بنابراین با حل معادله دیفرانسیل (۱۰-۳) برای  $t \geq t_\varepsilon$  داریم:

$$e_3(t) = e^{-\left(\frac{8}{3} + \frac{1}{87}k\right)(t-t_\varepsilon)} e_3(t_\varepsilon) + \int_{t_\varepsilon}^t e^{-\left(\frac{8}{3} + \frac{1}{87}k\right)(t-\tau)} [y_1(\tau)y_2(\tau) + x_1(\tau)x_2(\tau)] d\tau \quad (18-3)$$

برای  $t \geq t_\varepsilon$  داریم:

$$\begin{aligned} & |y_1(t)y_2(t) + x_1(t)x_2(t)| \\ &= |x_2(t)e_1(t) + y_1(t)e_2(t)| \\ &= |x_2(t)e_1(t) + (e_1(t)e_2(t) + x_1(t)e_2(t))| \\ &\leq \varepsilon_1\varepsilon_1 + |x_1(t)|\varepsilon_2 + |x_2(t)|\varepsilon_1 \end{aligned} \quad (19-3)$$

بعلاوه بر اساس قضیه ۱ در [۲۴] پاسخ حالت سیستم لورنز تعمیم یافته در کره  $\Omega$  قرار می گیرد.

داریم:

$$\Omega = \left\{ [x_1, x_2, x_3] \mid x_1^2 + x_2^2 + \left(x_3 - 38 + \frac{10k}{29}\right)^2 = R^2 \right\} \quad (20-3)$$

$$R^2 = \frac{\left(19 - \frac{5k}{29}\right)^2 \left(8 + \frac{k}{29}\right)^2}{\left(15 - \frac{264k}{29}\right)(1-k)} \quad (21-3)$$

بنابراین با استفاده از رابطه (۱۹-۳)، (۲۰-۳) و (۲۱-۳) برای  $t \geq t_\varepsilon$

$$|y_1(t)y_2(t) + x_1(t)x_2(t)| \leq R(\varepsilon_1 + \varepsilon_2) + \varepsilon_1\varepsilon_2 \quad (22-3)$$

(۲۳-۳)

$$\begin{aligned}
 |e_3(t)| &= e^{-\left(\frac{8}{3} + \frac{1}{87}k\right)(t-t_\varepsilon)} e_3(t_\varepsilon) + \int_{t_\varepsilon}^t e^{-\left(\frac{8}{3} + \frac{1}{87}k\right)(t-\tau)} [y_1(\tau)y_2(\tau) + x_1(\tau)x_2(\tau)] d\tau \\
 &\leq e^{-\left(\frac{8}{3} + \frac{1}{87}k\right)(t-t_\varepsilon)} |e_3(t_\varepsilon)| + (R(\varepsilon_1 + \varepsilon_2) + \varepsilon_1\varepsilon_2) \cdot e^{-\left(\frac{8}{3} + \frac{1}{87}k\right)t} \int_{t_\varepsilon}^t e^{-\left(\frac{8}{3} + \frac{1}{87}k\right)\tau} d\tau \\
 &= e^{-\left(\frac{8}{3} + \frac{1}{87}k\right)(t-t_\varepsilon)} |e_3(t_\varepsilon)| + (R(\varepsilon_1 + \varepsilon_2) + \varepsilon_1\varepsilon_2) \cdot \frac{1 - e^{-\left(\frac{8}{3} + \frac{1}{87}k\right)(t-t_\varepsilon)}}{\frac{8}{3} + \frac{1}{87}k}
 \end{aligned}$$

با محاسبات بالا کران  $e_3(t)$  زمانی  $t \rightarrow \infty$  که به صورت زیر به دست می آید:

$$\lim_{t \rightarrow \infty} |e_3(t)| \leq \varepsilon_{31} = \frac{[R(\varepsilon_1 + \varepsilon_2) + \varepsilon_1\varepsilon_2]}{\left(\frac{8}{3} + \frac{1}{87}k\right)} \quad (۲۴-۳)$$

### ۳-۱-۳- طراحی کنترل کننده شبه مد لغزشی برای مانیفولد شبه لغزشی

با محقق ساختن سطح سویچ مناسب و تخمین کران خطای حالت‌های سیستم در مانیفولد شبه لغزشی، این بخش برای رسیدن به طراحی کنترل کننده شبه مد لغزشی بیان می شود. برای تضمین وقوع مانیفولد شبه لغزشی، کنترل کننده شبه مد لغزشی پیوسته زیر پیشنهاد می شود [4].

$$u(t) = -w\eta \frac{s}{|s| + \delta} \quad (۲۵-۳)$$

که

$$\begin{aligned}
 \eta &= [(28 - \frac{35}{29}k) - \lambda(10 + \frac{25}{29}k)e_1(t) + [(k-1) + \lambda(10 + \frac{25}{29}k)e_2(t)] - y_1(t)y_3(t) + x_1(t)x_3(t)] + \alpha \\
 w &> 1, \delta > 0
 \end{aligned} \quad (۲۶-۳)$$

روش طراحی کنترل ارائه شده وقوع مانیفولد شبه لغزشی را برای سیستم (۳-۱۰) تضمین می کند (در

پیوست الف اثبات این روش بیان شده است).

### ۳-۱-۴- شبیه‌سازی

در این بخش نتایج شبیه‌سازی برای نشان دادن و اثبات مؤثر بودن روش کنترل شبه مد لغزش بیان شده است. پارامترهای سیستم را به صورت زیر انتخاب می‌کنیم:

برای تضمین رفتار آشوبی سیستم لورنز  $k=0.3$  را در نظر گرفته و شرایط اولیه سیستم‌های پایه و پیرو را به ترتیب  $x_1(0)=22$ ،  $x_2(0)=15$ ،  $x_3(0)=12$  و  $y_1(0)=20$ ،  $y_2(0)=13$ ،  $y_3(0)=12$  انتخاب می‌کنیم. عدم قطعیت یکسان را  $d(t)=0.2\sin(2t) \rightarrow |d(t)| \leq \alpha$  در نظر می‌گیریم.

**گام اول:** طبق رابطه  $s(t)=e_2(t)+\lambda e_1(t)$  پارامتر  $\lambda=1>0$  را برای اینکه  $\lambda_1 = \left(10 + \frac{25}{29}k\right)(1+\lambda) > 0$  حاصل شود و کران پایدار دینامیک خطای سیستم (۳-۲۵) را تضمین نماید انتخاب می‌کنیم.

**گام دوم:** پارامترهای کنترل در رابطه (۳-۲۵) به صورت  $\delta=0.03$  و  $w=4$  انتخاب کرده و بر اساس قضیه ۱  $\delta_Q=0.04$  به دست می‌آید.

با انتخاب  $\lambda$  برای سطح سوپرجینگ  $s(t)$  داریم:

$$s(t) = e_2(t) + e_1(t) \quad (۳-۲۷)$$

**گام سوم:** با توجه به روابط (۳-۱۵)، (۳-۱۶) و (۳-۲۰) کران قابل پیش‌بینی  $\varepsilon_i, i=1,2,3$  را به صورت زیر محاسبه می‌کنیم:

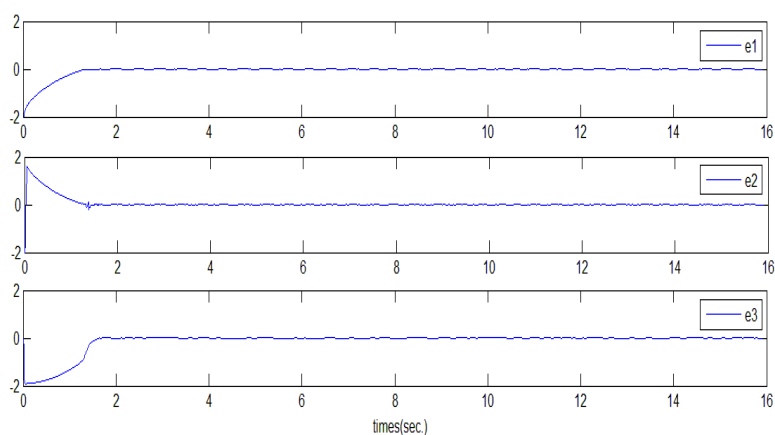
$$|e_1| \leq \varepsilon_1 = 0.02; |e_2| \leq \varepsilon_2 = 0.06; |e_3| \leq \varepsilon_3 = 1.29 \quad (۳-۲۸)$$

**گام چهارم:** با استفاده از رابطه (۳-۲۷) کنترل‌کننده شبه مد لغزشی به صورت زیر حاصل می‌شود:

$$u(t) = -4\eta \frac{s}{|s| + 0.03} \quad (29-3)$$

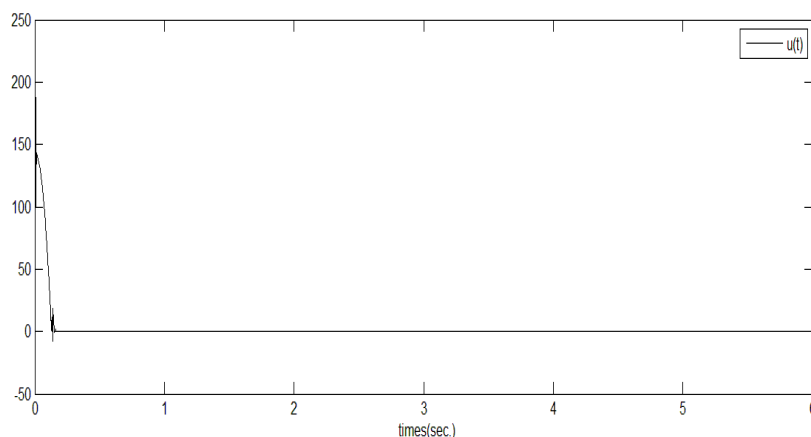
$$\eta = \left| \left[ \left( 28 - \frac{35}{29}k \right) - \lambda \left( 10 + \frac{25}{29}k \right) e_1(t) + \left[ (k-1) + \lambda \left( 10 + \frac{25}{29}k \right) \right] e_2(t) \right] - y_1(t)y_3(t) + x_1(t)x_3(t) \right| + 0.2 \quad (30-3)$$

نتایج شبیه‌سازی در شکل‌های ۳-۴ و ۳-۵ نشان داده شده است. شکل ۳-۴ پاسخ‌های زمانی حالت خطا و این نکته که در نهایت این پاسخ به ناحیه محاسبه شده در (۳-۳۰) محدود می‌شود را نشان می‌دهد. شکل ۳-۵ پاسخ کنترل کننده شبه مد لغزشی و نشان دهنده کارایی مناسب و عدم وجود چترینگ در این کنترل کننده است.



شکل ۳-۴. پاسخ‌های زمانی حالت خطا





شکل ۳-۵ پاسخ کنترل کننده شبه مد لغزشی

همانطور که در شکل ۳-۴ مشاهده می شود در این روش می توان حالت های خطا را پایدار و به صورت دلخواه و قابل پیش بینی به همسایگی از صفر هدایت کرد.

### ۳-۲-۲- سنکرون سازی سیستم های فوق آشوب چند متغیره راسلر با استفاده از رویتگر مد لغزشی - تطبیقی

در این شبیه سازی سنکرون سازی و کنترل سیستم های فوق آشوبی راسلر<sup>۳۳</sup> با ماتریس تبدیل چند متغیره<sup>۳۴</sup> به روش مد لغزشی - تطبیقی ارائه شده است. این روش مقاومت بیشتری نسبت به نویز و عدم تطابق پارامتر در دینامیک های خطا داشته و نیاز به در نظر گرفتن باندهای بالا<sup>۳۵</sup> در نامعینی ها ندارد [۷]. آنالیزهای تئوری و شبیه سازی های انجام شده صحت این روش را تأیید می کنند.

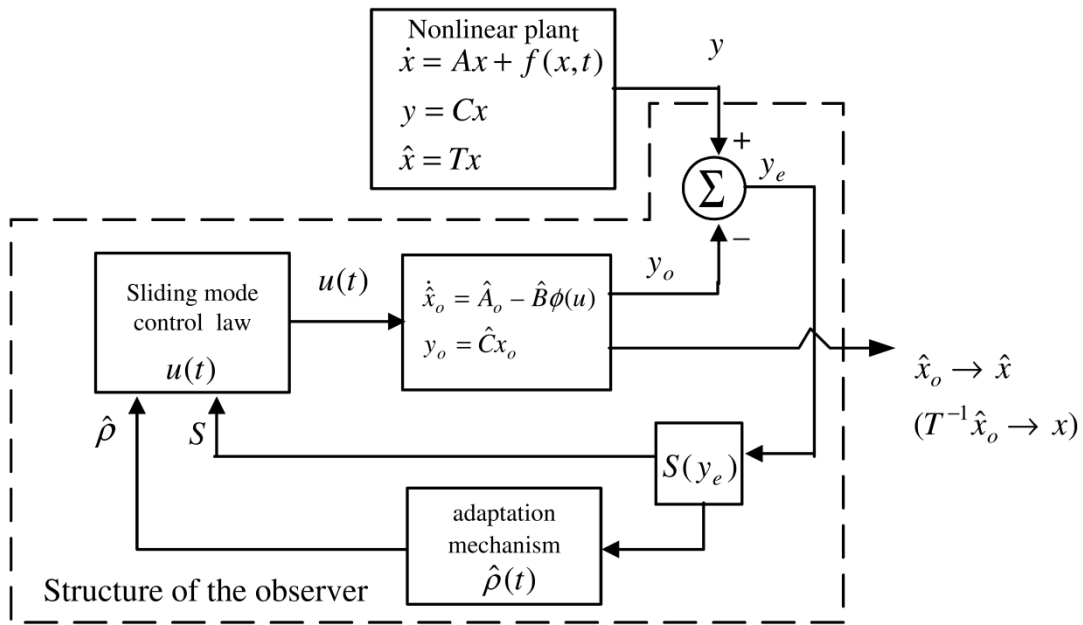
### ۳-۲-۱- تعریف مسئله و طراحی رویتگر:

رویتگر مد لغزشی - تطبیقی شامل یک سیستم غیرخطی، کنترلر مد لغزشی و مکانیزم تطبیق نشان داده شده در شکل (۳-۶) است.

<sup>۳۳</sup> Rossler hyper chaotic system

<sup>۳۴</sup> Multivariable transmission

<sup>۳۵</sup> Upper bounds



شکل ۳-۶. رویکرد مد لغزشی - تطبیقی فیدبک خروجی [۷].

سیستم غیره خطی زیر را در نظر بگیرید:

$$\begin{aligned} \dot{x}(t) &= Ax + Bf(x, t) \\ y(t) &= Cx(t) \end{aligned} \quad (3-31)$$

ماتریس‌های  $(A, B)$  کنترل‌پذیر، ماتریس‌های  $(A, C)$  رویت‌پذیر و  $B$  رنک کامل دارد.  $p \geq m$  تعداد کانال‌های خروجی بزرگ‌تر یا مساوی تعداد ورودی‌ها است و  $\text{rank}(CB) = m$ .

فرض‌های بالا محدودکننده نمی‌باشند و بسیاری از سیستم‌های غیرخطی آشوبی همانند سیستم راسلر در این موارد صدق می‌کنند [۲۵].

ماتریس تبدیل حالت را به صورت زیر در نظر می‌گیریم:

$$\hat{x}(t) = Tx(t) = \begin{bmatrix} T_1 \\ T_2 \end{bmatrix} x(t) \quad (3-32)$$

تبدیل  $T$  طوری انتخاب می‌شود که:

$$TB = \begin{bmatrix} T_1 B \\ T_2 B \end{bmatrix} = \begin{bmatrix} 0 \\ B_1 \end{bmatrix} \quad (33-3)$$

در این تبدیل چون فرض شده که رنک  $B$  کامل است، همواره وجود دارد و همچنین  $T_1, T_2, B_1$  غیر تکین<sup>۳۶</sup> است.

بنابراین با ماتریس  $\hat{x}(t)$  داریم:

$$\begin{aligned} \dot{\hat{x}}(t) &= \hat{A}\hat{x}(t) + \hat{B}f(T^{-1}\hat{x}, t) \\ y(t) &= \hat{C}\hat{x}(t) \end{aligned} \quad (34-3)$$

که:

$$\hat{A} \equiv TAT^{-1} = \begin{bmatrix} A_{11}_{(n-m) \times (n-m)} & A_{12}_{(n-m) \times m} \\ \hat{A}_{21}_{m \times (n-m)} & \hat{A}_{22}_{m \times m} \end{bmatrix} \quad (35-3)$$

$$\hat{B} \equiv TB = \begin{bmatrix} 0_{(n-m) \times m} \\ B_{1m \times n} \end{bmatrix} \quad (36-3)$$

$$C \equiv CT^{-1} = [\hat{C}_{1p \times (n-m)} \quad \hat{C}_{2p \times m}] \quad (37-3)$$

از روی تگر مد لغزشی که ارائه خواهیم داد برای بازسازی حالت‌های سیستم زیر استفاده می‌کنیم:

---

<sup>۳۶</sup> Nonsingular

$$\begin{aligned}\dot{\hat{x}}_0(t) &= \hat{A}\hat{x}_0(t) + \hat{B}f(T^{-1}\hat{x}_0, t) - \hat{B}\phi(u(t)) \\ y_0(t) &= \hat{C}\hat{x}_0(t)\end{aligned}\quad (38-3)$$

$u(t) \in R^m$  کنترل ورودی است و غیرخطی توصیف شده به صورت  $\phi(u(t))$  یک تابع پیوسته در ناحیه  $[\beta_1, \beta_2]$  [۲۶, ۲۷].

به عنوان مثال:

$$\beta_1 u^T(t)u(t) \leq u^T(t)\phi(u(t)) \leq \beta_2 u^T(t)u(t) \quad (39-3)$$

که  $\beta_1, \beta_2$  ثابت‌های مثبت غیر صفر هستند و  $\phi(0) = 0$ .

بردارهای خطا را به صورت زیر تعریف می‌کنیم:

$$\begin{aligned}e(t) &= \hat{x}(t) - \hat{x}_0(t) \\ y_e(t) &= y(t) - y_0(t)\end{aligned}\quad (40-3)$$

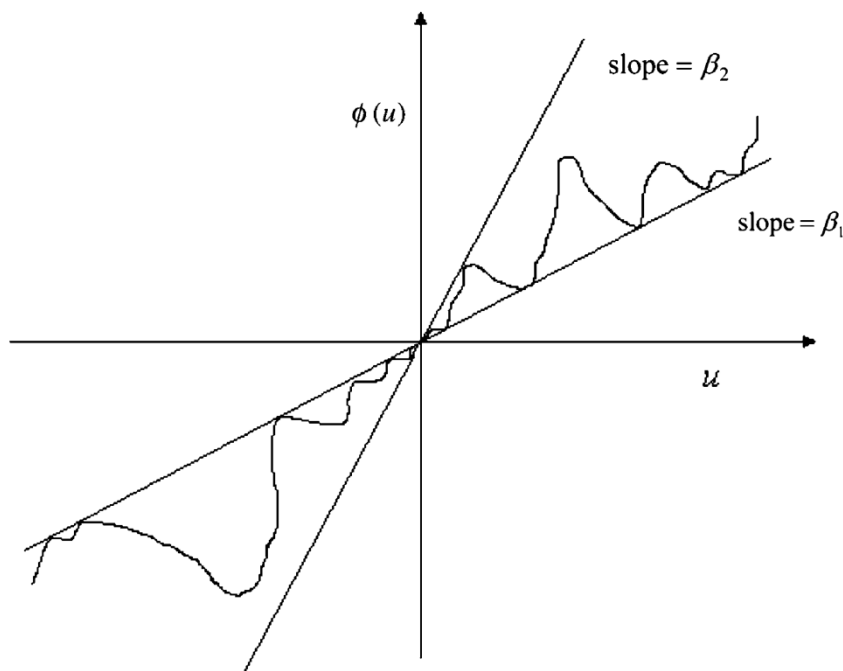
معادلات دینامیک خطای سیستم به صورت زیر به دست می‌آید:

$$\begin{aligned}\begin{bmatrix} \dot{e}_1(t) \\ \dot{e}_2(t) \end{bmatrix} &= \begin{bmatrix} \hat{A}_{11} & \hat{A}_{12} \\ \hat{A}_{21} & \hat{A}_{22} \end{bmatrix} \begin{bmatrix} e_1(t) \\ e_2(t) \end{bmatrix} + \begin{bmatrix} 0 \\ B_1 \end{bmatrix} (f(T^{-1}\hat{x}, t) - f(T^{-1}\hat{x}_0, t)) + \begin{bmatrix} 0 \\ B_1 \end{bmatrix} \phi(u(t)) \\ y_e(t) &= \begin{bmatrix} \hat{C}_1 & \hat{C}_2 \end{bmatrix} \begin{bmatrix} e_1(t) \\ e_2(t) \end{bmatrix}\end{aligned}\quad (41-3)$$

هدف این است که یک رویتگر با کنترلر تطبیقی با استفاده از اندازه‌گیری خروجی  $y(t)$  در دسترس طراحی کنیم بطوریکه حالت‌های رویتگر بتوانند این پلانت غیرخطی را دنبال کنند و داشته باشیم

$$\lim_{t \rightarrow \infty} e(t) = 0$$

بدین منظور احتیاج به انتخاب سطح سویچ مناسبی برای دینامیک‌های خطا داریم، بطوریکه حرکت لغزشی بروی مانیفولد دارای خصوصیات مطلوب باشد و همچنین تعیین کنترل مد لغزشی تطبیقی فیدبک خروجی<sup>۳۷</sup> برای تضمین وجود مد لغزشی حتی تنها با اندازه‌گیری  $y(t)$  در دسترس از پلانت، موردنیاز است.



شکل ۳-۷. تابع غیرخطی اسکالر  $\phi(u)$  در محدوده  $[\beta_1 \ \beta_2]$  [۷].

### ۳-۲-۲- سطح سویچینگ و طراحی کنترلر:

<sup>۳۷</sup> Adaptive output feedback sliding mode control (AOFSMC)

مزیت کنترل تطبیقی این است که به معادله ریاضی دقیق برای توصیف باندهای بالای عدم قطعیت احتیاجی نیست. کنترل مد لغزشی یک کنترل غیرخطی است که نسبت به نویز و نامعینی پارامترها مقاوم است.

مشابه [۲۸] داریم:

$$S(y_e) = Fy_e = F\hat{C}e(t) \quad (۴۲-۳)$$

که  $F \in R^{m \times p}$  یک ماتریس ثابت و  $S(y_e) \in R^{m \times l}$

انتخاب  $F$  به طراحی مد لغزشی بستگی دارد.

$$S(y_e) = \sigma e(t) \quad (۴۳-۳)$$

بدون از دست دادن کلیت مسئله داریم:

$$S(y_e) = \sigma_1 e_1(t) + \sigma_2 e_2(t) \quad (۴۴-۳)$$

دقت کنید که  $\sigma$  قابل تغییر و ماتریس  $F$  باید طوری انتخاب شود که شرط  $\sigma = F\hat{C}$  برآورده سازد.

برای تعیین  $\sigma$  همانند [۲۹] طوری انتخاب می‌کنیم که تعداد  $(n-m)$  مقدار ویژه مختلط و غیر صفر

$\{\lambda_1, \lambda_2, \dots, \lambda_{n-m}\}$  دارای قسمت حقیقی منفی باشد.

$e_2$  را برحسب  $e_1$  و  $S$  بیان می‌کنیم:

$$e_2(t) = \sigma_2^{-1}(-\sigma_1 e_1(t) + S(y_e)) \quad (45-3)$$

$$\begin{aligned} \dot{e}_1(t) &= (\hat{A}_{11} - \hat{A}_{12}\sigma_2^{-1}\sigma_1)e_1(t) + \hat{A}_{12}\sigma_2^{-1}S(y_e) \\ \dot{e}_2(t) &= (\hat{A}_{21} - \hat{A}_{22}\sigma_2^{-1}\sigma_1)e_1(t) + \hat{A}_{22}\sigma_2^{-1}S(y_e) + B_1\phi(u(t)) + B_1(f(T^{-1}\hat{x}, t) - f(T^{-1}\hat{x}_0, t)) \end{aligned} \quad (46-3)$$

مقادیر ویژه  $(\hat{A}_{11} - \hat{A}_{12}\sigma_2^{-1}\sigma_1)$  همان  $\{\lambda_1, \lambda_2, \dots, \lambda_{n-m}\}$  است.

هنگامی که سیستم در حالت مد لغزشی است معادلات زیر برآورده می‌شوند:

$$\begin{aligned} S(y_e) &= 0 \\ \dot{S}(y_e) &= 0 \end{aligned} \quad (47-3)$$

که به دست می‌آید:

$$\begin{aligned} \dot{e}_1(t) &= (\hat{A}_{11} - \hat{A}_{12}\sigma_2^{-1}\sigma_1)e_1(t) \\ e_2(t) &= -\sigma_2^{-1}\sigma_1 e_1(t) \end{aligned} \quad (48-3)$$

تا زمانی که  $(\hat{A}_{11} - \hat{A}_{12}\sigma_2^{-1}\sigma_1)$  یک ماتریس پایدار باشد  $\|e_1(t)\| \rightarrow 0$  و بنابراین  $\|e_2(t)\| \rightarrow 0$  تضمین خواهد شد.

با انتخاب کنترل ورودی به صورت زیر مسیر حالت<sup>۳۸</sup> سیستم به سمت سطح لغزش موردنظر خواهد رفت.

---

<sup>۳۸</sup> Trajectory

$$u(t) = -\gamma k \hat{\rho}(t) \frac{B_1^T \sigma_2^T S(y_e)}{\|B_1^T \sigma_2^T S(y_e)\|} \quad (49-3)$$

که:

$$k = \max(\|\sigma \hat{A}\|, \|\sigma_2 B_1\|), \gamma > \frac{(B_1^T \sigma_2^T)^{-1}}{\beta_1} \quad (50-3)$$

به دلیل اینکه کنترل تطبیقی باند بالای نامعینی را در نظر نمی‌گیرد، طراحی قانون تطبیق را به صورت  $\hat{\rho}(0) = \hat{\rho}_0$ ;  $\dot{\hat{\rho}}(t) = k \|S(y_e)\| \hat{\rho}(t)$  در نظر می‌گیریم.

که  $k > 0$ ،  $\rho_0$  مثبت و مقدار ویژه محدود  $\hat{\rho}(t)$  و برای تمام  $t > 0$ ،  $\hat{\rho}(t) > 0$ .

**قضیه ۱:**

سیستم غیرخطی (۳-۳۳) و سیستم رویتگر (۳-۴۰) با اعمال قانون کنترل (۳-۵۰) و قانون تطبیق (۳-۵۱) در نظر بگیرید. نمودار فضای حالت دینامیک‌های خطا (۳-۴۳) به مانیفولد لغزش  $S(y_e) = 0$  میل می‌کنند (اثبات همگرایی در پیوست ب بیان شده است).

**۳-۲-۳- شبیه‌سازی:**

**مثال ۱:**

سیستم فوق آشوب راسلر زیر که نشان‌دهنده واکنش شیمیایی ارائه شده در [۲۵] است را در نظر بگیرید. این سیستم باینکه دارای یک ترم غیرخطی است باین حال دارای دو نمای لیاپانف مثبت  $\lambda_1 = 0.11$  و  $\lambda_2 = 0.02$  است [۳۰].

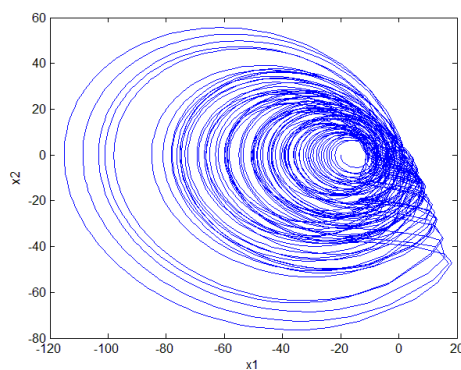


$$\dot{x}(t) = \begin{bmatrix} \dot{x}_1(t) \\ \dot{x}_2(t) \\ \dot{x}_3(t) \\ \dot{x}_4(t) \end{bmatrix} = \begin{bmatrix} 0 & -1 & 0 & -1 \\ 1 & a & 1 & 0 \\ 0 & 0 & c & -0.5 \\ 0 & 0 & 0 & 0 \end{bmatrix} \begin{bmatrix} x_1(t) \\ x_2(t) \\ x_3(t) \\ x_4(t) \end{bmatrix} + \begin{bmatrix} 0 \\ 0 \\ 0 \\ 1 \end{bmatrix} [b + x_1(t)x_4(t)]$$

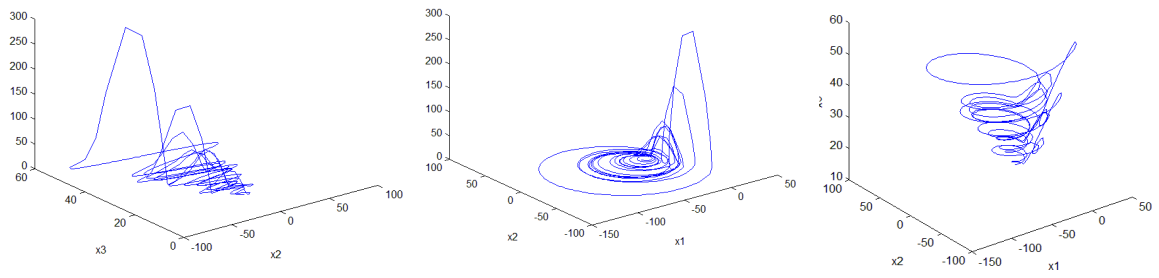
$$y(t) = \begin{bmatrix} 0 & 1 & 0 & 1.5 \\ 0 & 0 & 1 & -1 \end{bmatrix} x(t)$$

پارامترهای کنترل برای این اسیلاتور هستند.

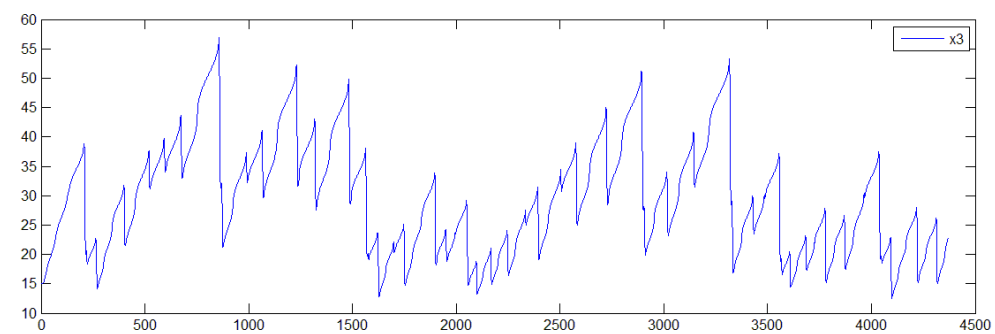
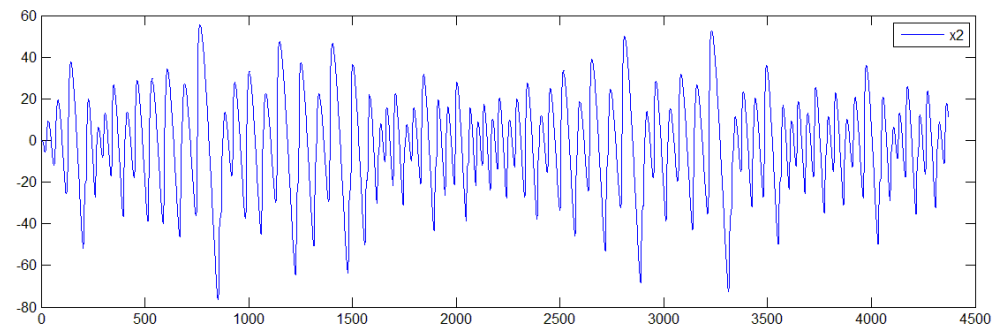
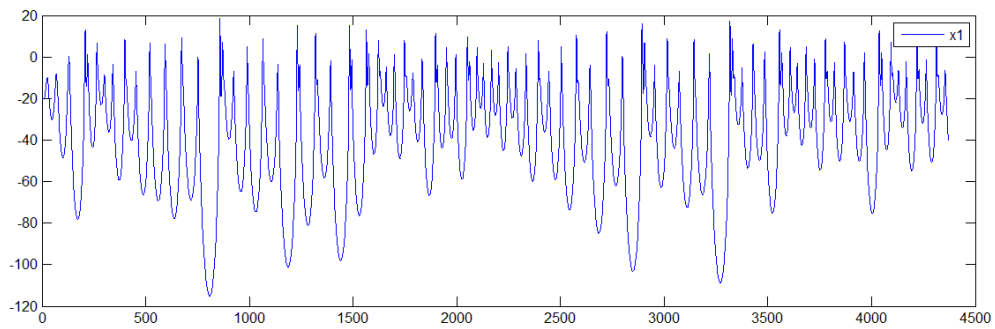
با قرار دادن مقادیر  $a=0.25, b=3, c=0.05$  سیستم فوق آشوب راسلر در شکل‌های زیر رسم شده است.

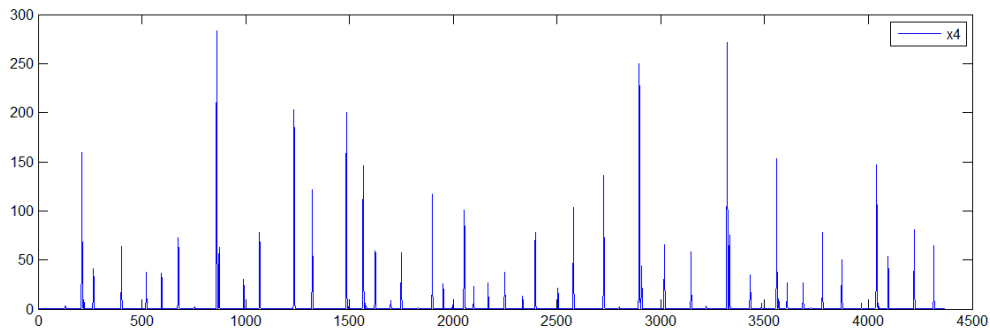


شکل ۳-۸. شکل دو بعدی سیستم فوق آشوب راسلر



شکل ۳-۹. شکل‌های سه‌بعدی سیستم فوق آشوب راسلر





شکل ۳-۱۰. سری‌های زمانی سیستم راسلر با حضور عدم قطعیت

رویتگر را به صورت زیر در نظر می‌گیریم:

$$\dot{\hat{x}}(t) = \begin{bmatrix} \dot{\hat{x}}_{01}(t) \\ \dot{\hat{x}}_{02}(t) \\ \dot{\hat{x}}_{03}(t) \\ \dot{\hat{x}}_{04}(t) \end{bmatrix} = \begin{bmatrix} 0 & -1 & 0 & -1 \\ 1 & a & 1 & 0 \\ 0 & 0 & c & -0.5 \\ 0 & 0 & 0 & 0 \end{bmatrix} \begin{bmatrix} \hat{x}_{01}(t) \\ \hat{x}_{02}(t) \\ \hat{x}_{03}(t) \\ \hat{x}_{04}(t) \end{bmatrix} + \begin{bmatrix} 0 \\ 0 \\ 0 \\ 1 \end{bmatrix} [3 + \hat{x}_{01}(t)\hat{x}_{04}(t)] - \begin{bmatrix} 0 \\ 0 \\ 0 \\ 1 \end{bmatrix} \phi(u(t))$$

$$y_0(t) = \begin{bmatrix} 0 & 1 & 0 & 1.5 \\ 0 & 0 & 1 & -1 \end{bmatrix} \hat{x}_0(t)$$

غیرخطی ورودی را به صورت  $\phi(u(t)) = (0.7 + 0.2 \sin(u))u(t)$  تعریف می‌کنیم.

با توجه به رابطه (۳-۴۱)  $\beta_1 = 0.5$ ،  $\beta_2 = 0.9$  و از قرار گرفتن مقادیر ویژه  $(\hat{A}_{11} - \hat{A}_{12}\sigma_2^{-1}\sigma_1)$  در

مقدار  $\sigma = [0.24 - 1]$  و با حل معادله  $\sigma = F\hat{C}$  مقدار  $F = [2 \ 4]$  به

دست می‌آید.

بنابراین سطح لغزش به صورت زیر حاصل می‌شود:

$$S(t) = Fy_e(t) = 2y_{e1}(t) + 4y_{e2}(t)$$

پارامترهای زیر را در نظر می‌گیریم:

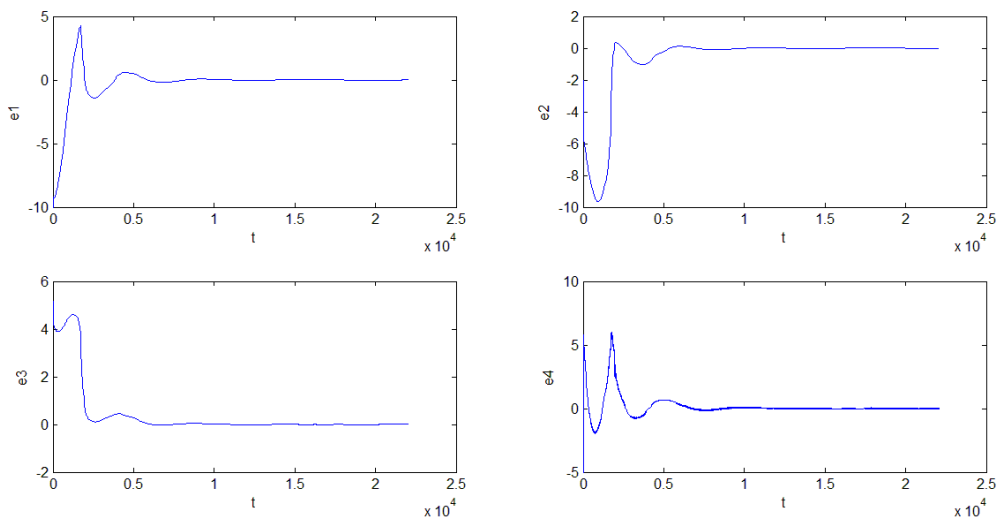
$$k = 3.62 = \max(\|\hat{\sigma A}\|, \|\sigma_2 B_1\|) = \max(3.62, 1), \quad \gamma = 2.1 > 1/\beta_1 = 2$$

و برای شرایط اولیه داریم:

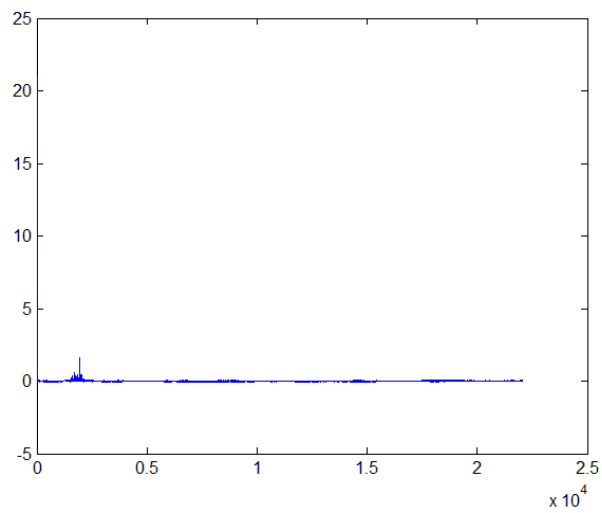
$$(x_1(0), x_2(0), x_3(0), x_4(0)) = (-20, 0, 15, 0)$$

$$(\hat{x}_{01}(0), \hat{x}_{02}(0), \hat{x}_{02}(0), \hat{x}_{03}(0)) = (-10, 2, 10, 5)$$

نتایج شبیه‌سازی در شکل‌های زیر نشان داده شده است.



شکل ۳-۱۱. پاسخ‌های زمانی حالت خطا سیستم فوق آشوب راسلر



شکل ۳-۱۲. پاسخ‌های زمانی  $S(y_e)$

## مثال ۲:

برای اثبات مقاوم بودن روش مد لغزشی تطبیقی، سیستم درایو مثال قبل را با پارامترها و نویز

به صورت زیر در نظر می‌گیریم:

$$a = 0.255, \quad b = 3.1, \quad c = 0.049, \quad f(t) = 4.6 \sin 100t$$

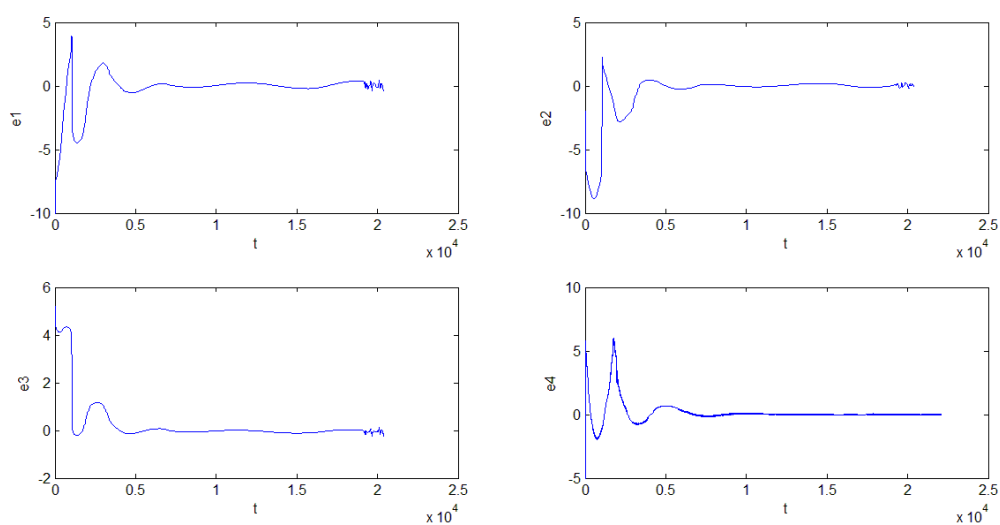
$$\dot{x}(t) = \begin{bmatrix} \dot{x}_1(t) \\ \dot{x}_2(t) \\ \dot{x}_3(t) \\ \dot{x}_4(t) \end{bmatrix} = \begin{bmatrix} 0 & -1 & 0 & -1 \\ 1 & 0.255 & 1 & 0 \\ 0 & 0 & 0.049 & -0.5 \\ 0 & 0 & 0 & 0 \end{bmatrix} \begin{bmatrix} x_1(t) \\ x_2(t) \\ x_3(t) \\ x_4(t) \end{bmatrix} + \begin{bmatrix} 0 \\ 0 \\ 0 \\ 1 \end{bmatrix} [3.1 + x_1(t)x_4(t) + 4.6 \sin 100t]$$

رویتگر را به شکل زیر تشکیل می‌دهیم:

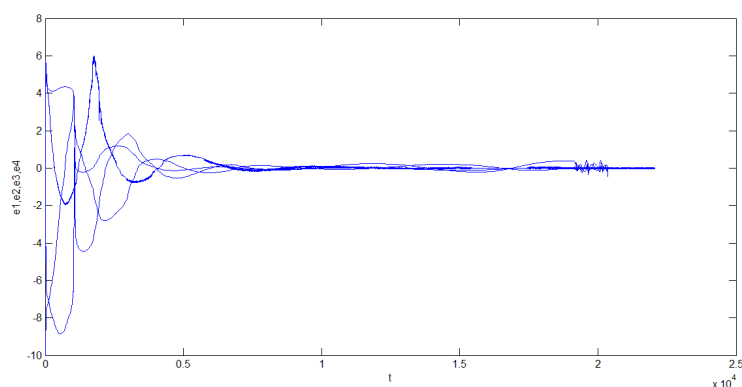
$$\dot{\hat{x}}(t) = \begin{bmatrix} \dot{\hat{x}}_{01}(t) \\ \dot{\hat{x}}_{02}(t) \\ \dot{\hat{x}}_{03}(t) \\ \dot{\hat{x}}_{04}(t) \end{bmatrix} = \begin{bmatrix} 0 & -1 & 0 & -1 \\ 1 & 0.25 & 1 & 0 \\ 0 & 0 & 0.05 & -0.5 \\ 0 & 0 & 0 & 0 \end{bmatrix} \begin{bmatrix} \hat{x}_{01}(t) \\ \hat{x}_{02}(t) \\ \hat{x}_{03}(t) \\ \hat{x}_{04}(t) \end{bmatrix} + \begin{bmatrix} 0 \\ 0 \\ 0 \\ 1 \end{bmatrix} [3 + \hat{x}_{01}(t)\hat{x}_{04}(t) + 4.6 \sin 100t] - \begin{bmatrix} 0 \\ 0 \\ 0 \\ 1 \end{bmatrix} \phi(u(t))$$

$$y_0(t) = \begin{bmatrix} 0 & 1 & 0 & 1.5 \\ 0 & 0 & 1 & -1 \end{bmatrix} \hat{x}_0(t)$$

نتایج شبیه‌سازی در شکل‌های زیر نشان داده شده است.



شکل ۳-۱۳. پاسخ‌های زمانی حالت خطا سیستم فوق آشوب راسلر



شکل ۳-۱۴. نمایش همزمان پاسخ‌های زمانی حالت خطا سیستم فوق آشوب راسلر

از نتایج شبیه‌سازی به دست می‌آید که هرگاه عدم تطابق پارامتری و نویز وجود ندارد هنگامی که کنترلر عمل می‌کند سطح لغزش  $S(y_e)$  به سرعت به سمت صفر میل می‌کند و سیستم‌های درایو و پاسخ باهم سنکرون می‌شوند و همچنین زمانی که عدم تطابق پارامتری و نویز وجود دارند نیز این سنکرون سازی به خوبی انجام می‌شود.

### ۳-۲-۳- کنترل تطبیقی سیستم غیرخطی مرتبه دوم اسیلاتور دافینگ

در این بخش سنکرون سازی به روش کنترل تطبیقی برای سیستم غیرخطی مرتبه دوم اسیلاتور دافینگ<sup>۳۹</sup> مورد بررسی قرار می‌گیرد. غیرخطی یک ورودی مرتبه  $n$  با ساختار کلی زیر را در نظر می‌گیریم:

$$\begin{aligned}\dot{x}_1 &= x_2, \\ \dot{x}_2 &= x_3, \\ &\vdots \\ &\vdots \\ &\vdots\end{aligned}$$

$$\dot{x}_n = \sum_{k=1}^N \theta_k^* f_k(x) + u \quad (۵۱-۳)$$

که در آن  $x = [x_1 \dots x_n]^T$  حالت‌ها،  $u$  ورودی و  $\theta^* = [\theta_1^* \dots \theta_n^*]$  پارامترهای نامشخص سیستم هستند بطوریکه بازه‌های هر کدام از  $\theta_k^*$  ها معین و در محدوده  $(\theta_{\min}^k, \theta_{\max}^k)$  است.  $f_k(x)$  تابع‌های غیر خطی‌های منظم و یکنواختی به صورت  $f_k(x) = a(x)/b(x)$  در نظر گرفته می‌شود که برای  $a(x)$  های محدود، محدود بوده و همچنین دارای شرط  $b(x) \neq 0$  است.

هدف طراحی کنترلر تطبیقی برای اطمینان از پایداری مجانبی همه‌جایی برای سنکرون سازی متغیرهای حالت  $x(x)$  با متغیرهای حالت سیستم ثانویه  $x_m(x)$  است.

برای به دست آوردن کنترلر تطبیقی خطای دینامیکی سیستم را به صورت زیر تعریف می‌کنیم:

$$e(t) = x(t) - x_m(t) \quad (۵۲-۳)$$

---

<sup>۳۹</sup>Duffing osilator

داریم:

$$\begin{aligned}\dot{e}_1 &= e_2, \\ \dot{e}_2 &= e_3, \\ &\cdot \\ &\cdot \\ &\cdot\end{aligned}$$

$$\dot{e}_n = \sum_{k=1}^N \theta_k^* f_k(x) + u - \dot{x}_{m,n}. \quad (53-3)$$

برای اثبات پایداری و به دست آوردن قوانین تطبیق از تابع لیپانوف زیر استفاده می‌کنیم:

$$V = \frac{1}{2}(e_2 + \alpha e_1)^2 + \frac{1}{2\gamma}(\hat{\theta} - \theta^*)^2 \quad (54-3)$$

همگرایی پارامتر  $\hat{\theta}$  به مقدار واقعی  $\theta^*$  زمانی اتفاق می‌افتد که مسیر حالت<sup>۴۰</sup> مرجع  $x_m(x)$  تحریک پایا<sup>۴۱</sup> باشد. می‌توان نشان داد برای اطمینان از همگرایی و سنکرون سازی سیستم و صفر شدن خطا داریم [۳۲، ۳۱]:

$$u = \dot{x}_{m,2} - \alpha e_2 - (e_2 + \alpha e_1) - \hat{\theta}(t)f(x_1, x_2) \quad (55-3)$$

$$\dot{\hat{\theta}} = \gamma(e_2 + \alpha e_1)f(x_1, x_2) \quad (56-3)$$

(برای تمام  $\alpha$  ها و  $\gamma$  های مثبت)

---

<sup>۴۰</sup> Trajectory

<sup>۴۱</sup> Persistently exciting



مقدار اولیه  $\hat{\theta}(0)$  را می‌توانیم به صورت دلخواه در نظر بگیریم اما برای اطمینان از حاصل شدن پایداری مجانبی منطقی است که این مقدار را از  $(\theta_{\min}, \theta_{\max})$  انتخاب کنیم.

گاهی مواقع ممکن است با انتخاب یک مقدار اولیه برای پارامتر، مقدار نهایی حاصله در بازه محدود موردنظر قرار نگیرد. برای اینکه تخمین پارامترها به‌طور قطع در محدوده موردنظر قرار بگیرد قانون تطبیق پارامتر را اصلاح می‌کنیم [۳۳]. همانند قبل برای به دست آوردن قوانین فوق از تابع لیاپانوف به صورت زیر استفاده می‌کنیم:

$$V = \frac{1}{2}(e_2 + \alpha e_1)^2 + \frac{1}{2\gamma}[(\bar{\theta} - \theta^*)^2 - (\bar{\theta} - \hat{\theta})^2] \quad (57-3)$$

بنابراین داریم:

$$u = \dot{x}_{m,2} - \alpha e_2 - (e_2 + \alpha e_1) - \hat{\theta}(t)f(x_1, x_2) \quad (58-3)$$

$$\dot{\hat{\theta}} = \gamma(e_2 + \alpha e_1)f(x_1, x_2) - \sigma(\bar{\theta} - \hat{\theta}) \quad (59-3)$$

$$\hat{\theta} = \begin{cases} \bar{\theta} & \text{if } \bar{\theta} \in (\theta_{\min}, \theta_{\max}) \\ \theta_{\min} & \text{if } \bar{\theta} \leq \theta_{\min} \\ \theta_{\max} & \text{if } \bar{\theta} \geq \theta_{\max} \end{cases} \quad (60-3)$$

حال برای بررسی صحت سنکرون سازی و قوانین تطبیق موردنظر معادله درجه دوم اوسیلاتور دافینگ را به صورت زیر در نظر می‌گیریم:

$$\begin{aligned}\dot{x}_1 &= x_2 \\ \dot{x}_2 &= -\theta_1^* x_1 - \theta_2^* x_2 - \theta_3^* x_1^3 + u\end{aligned}$$

مقدار صحیح پارامترهای نامعین را به صورت زیر در نظر می گیریم:

$$\theta_1^* = -0.8, \quad \theta_2^* = -0.4, \quad \theta_3^* = -1.8$$

بازه هرکدام از پارامترها به صورت زیر است:

$$\theta_1^* \in (-2.0, 1.0), \quad \theta_2^* \in (-0.5, -0.1), \quad \theta_3^* \in (-1.2, 1 - 2.0)$$

مقدار اولیه پارامترها:

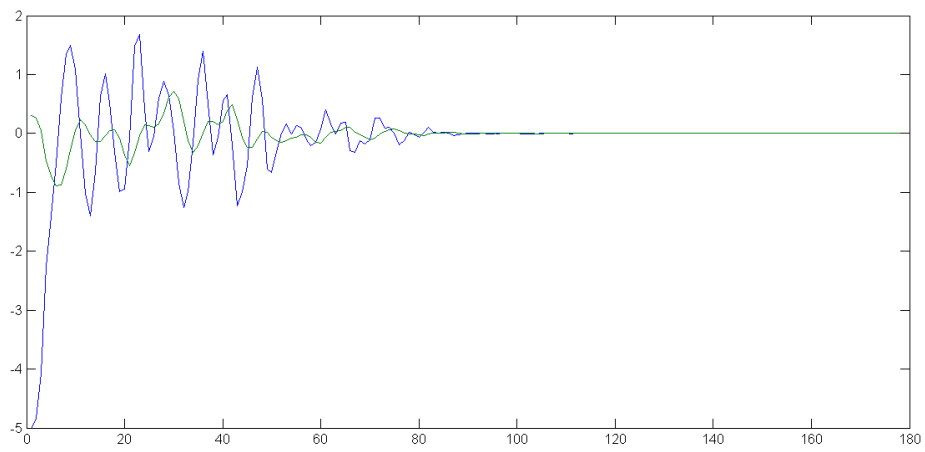
$$\theta_1(0) = -1.5, \quad \theta_2(0) = -0.2, \quad \theta_3(0) = -1.75$$

$$x(0) = [0.5, -2]^T, \quad x_m(0) = [0.2, 3.0]^T$$

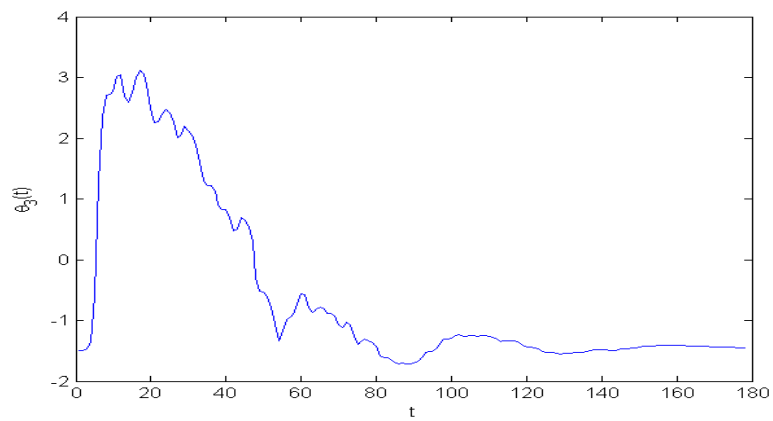
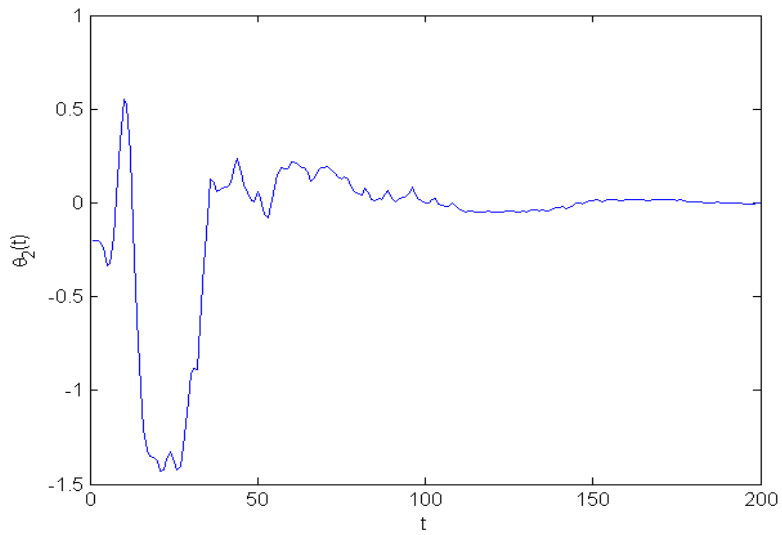
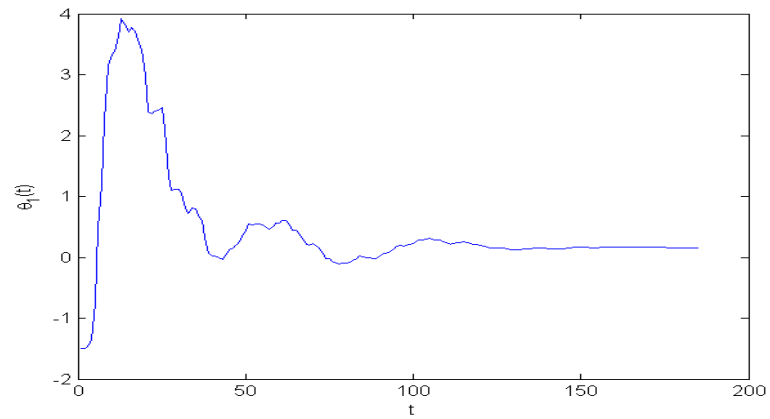
مسیر حالت سیستم مرجع (تحریک کامل) یک اوسیلاتور دافینگ را به صورت زیر در نظر می گیریم:

$$\begin{aligned}\dot{x}_{m,1} &= x_{m,2} \\ \dot{x}_{m,2} &= -3x_{m,1} - 0.2x_{m,2} - 1.2x_{m,1}^3 + 2.2\cos(1.3t) + 5.0\sin(2t)\end{aligned}$$

پس اعمال قوانین موردنظر و شبیه سازی سیستم، نمودار همگرایی پارامترها در شکل ۳-۱۶ و نمودار خطاهای سیستم و همگرایی آنها در شکل ۳-۱۵ نشان داده شده است.



شکل ۳-۱۵. نمودار همگرایی خطاهای سیستم  $e_1, e_2$ .



شکل ۳-۱۶. نمودار همگرایی پارامترهای  $\theta_1(t), \theta_2(t), \theta_3(t)$ .

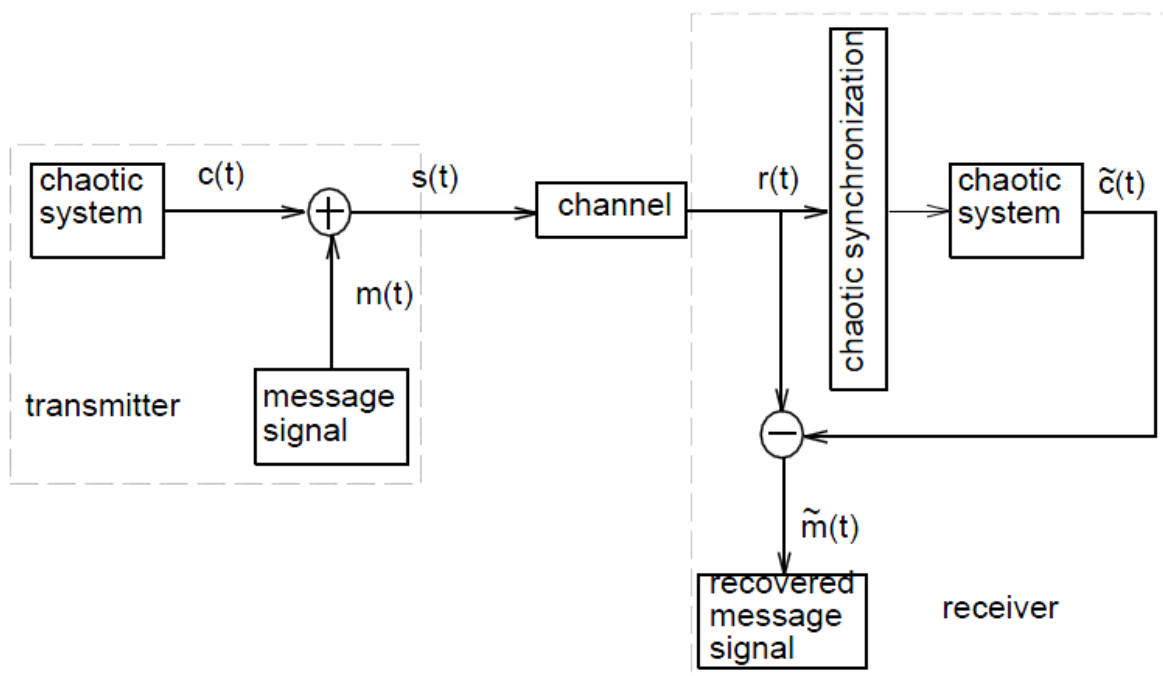
همان‌طور که مشاهده می‌شود خطاهای سیستم بعد از گذشت مدت‌زمانی به صفر همگرا می‌شود و پارامترهای نامعین سیستم نیز تقریباً به مقادیر موردنظر تطبیق پیدا کرده‌اند.

# فصل چهارم: مطالعه سیستم‌های مخابرات امن آشوبی

در این بخش به بررسی نسل‌های مختلف سیستم‌های مخابرات امن آشوبی می‌پردازیم و مزایا و معایب هرکدام را بررسی کرده و اهمیت سنکرون سازی در مخابرات امن آشوبی به‌عنوان مهم‌ترین بخش از سیستم مورد ارزیابی قرار می‌گیرد.

#### ۱-۴- نسل اول

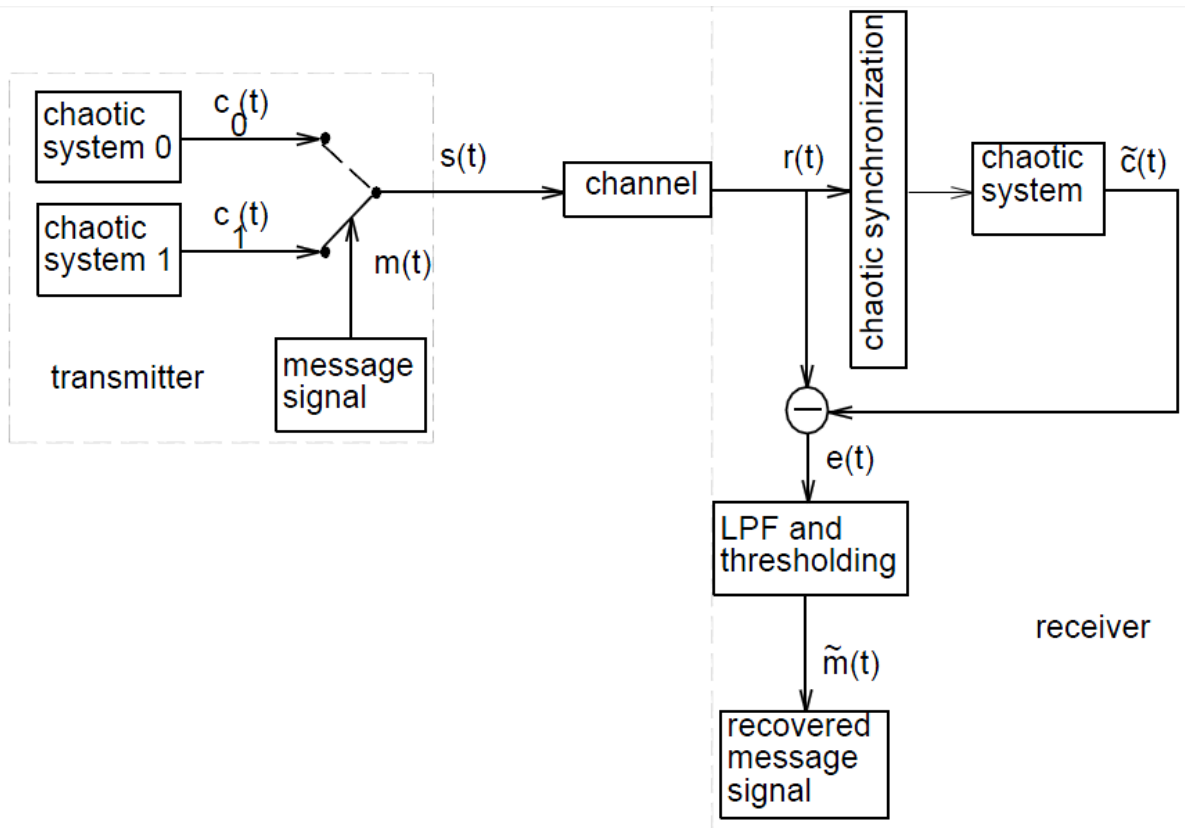
نسل اول در سال ۱۹۹۳ معرفی شد که شامل پوشاندن جمع شونده آشوب<sup>۴۲</sup> [۳]، نشان داده‌شده در شکل (۱-۴-الف) و کلید زنی آشوبی<sup>۴۳</sup> [۳۴]، نشان داده‌شده در شکل (۱-۴-ب) است. رهیافت پوشاندن جمع شونده که در شکل (۱-۴) نشان داده‌شده است شامل دو سیستم آشوبی یکسان در گیرنده و فرستنده است. پوشاننده آشوبی که با  $c(t)$  نشان داده می‌شود یکی از متغیرهای حالت سیستم آشوبی فرستنده است. سیگنال پیام  $m(t)$  که معمولاً بین ۲۰ تا ۳۰ دسی‌بل ضعیف‌تر از  $c(t)$  است، بسیار پیچیده بوده و سیگنال پیام  $m(t)$  بسیار کوچک‌تر از  $c(t)$  است، می‌توان امیدوار بود که سیگنال پیام  $m(t)$  را نتوان از  $s(t)$  بدون دانستن دقیق  $c(t)$  به دست آورد.



(الف)

<sup>۴۲</sup> Additive chaos masking

<sup>۴۳</sup> Chaotic shift keying

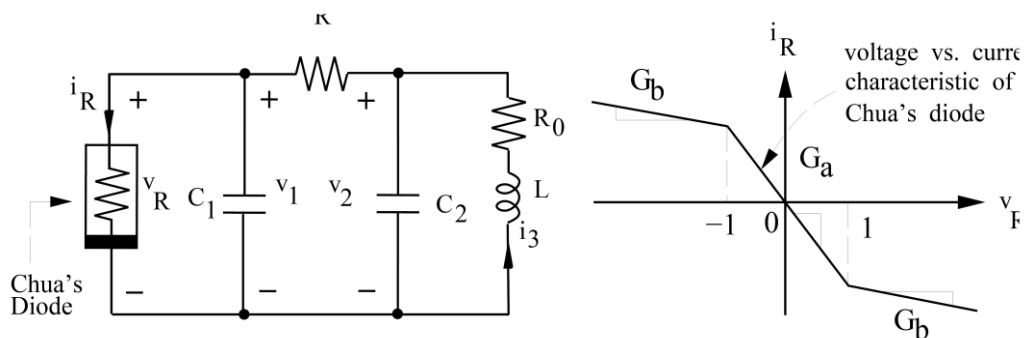


(ب)

شکل ۴-۱. بلوک دیاگرام نسل اول سیستم‌های مخابرات امن آشوبی. (الف) رهیافت پوشاندن جمع شونده آشوبی (ب) رهیافت کلید زنی آشوبی که رهیافت سوئیچینگ آشوبی هم نامیده می‌شود [۳].

یک مثال از مخابرات امن آشوبی در زیر آمده است همان‌گونه که در شکل (۴-۱-الف) مشاهده می‌شود، در گیرنده به بلوک همزمانی آشوب نیازمندیم و همزمان‌سازی آشوبی تعمیمی از همزمان‌سازی حامل در مخابرات معمول است ولی با آن تفاوت زیادی دارد.

برای نشان دادن همزمانی آشوب از نوسان‌سازهای Chua استفاده می‌نماییم. نوسان‌ساز Chua در شکل (۴-۲) نشان داده شده است.



شکل ۴-۲. نوسان ساز و مشخصات دیود Chua

معادلات حالت نوسان ساز Chua به شرح زیر است.

$$\begin{cases} \frac{dv_1}{dt} = \frac{1}{c_1} [G(v_2 - v_1) - f(v_1)] \\ \frac{dv_2}{dt} = \frac{1}{c_2} [G(v_1 - v_2) + i_3] \\ \frac{di_3}{dt} = \frac{1}{L} [-v_2 - R_0 i_3] \end{cases} \quad (1-4)$$

که در آن  $v_1$ ،  $v_2$  و  $i_3$  به ترتیب ولتاژهای  $c_1$  و  $c_2$  و جریان گذرنده از  $L$  است.  $G = \frac{1}{R}$  قرار می دهیم در نتیجه جمله  $R_0 i_3$  با توجه به مقاومت کوچک سلف در مدار عملی قابل توجه خواهد بود. معادله مشخصه  $v-i$  دیود Chua،  $f(v_1)$  پیوسته قطعه‌ای و به صورت زیر است.

$$f(v_1) = G_b v_1 + \frac{1}{2} (G_a - G_b) (|v_1 + E| - |v_1 - E|) \quad (2-4)$$

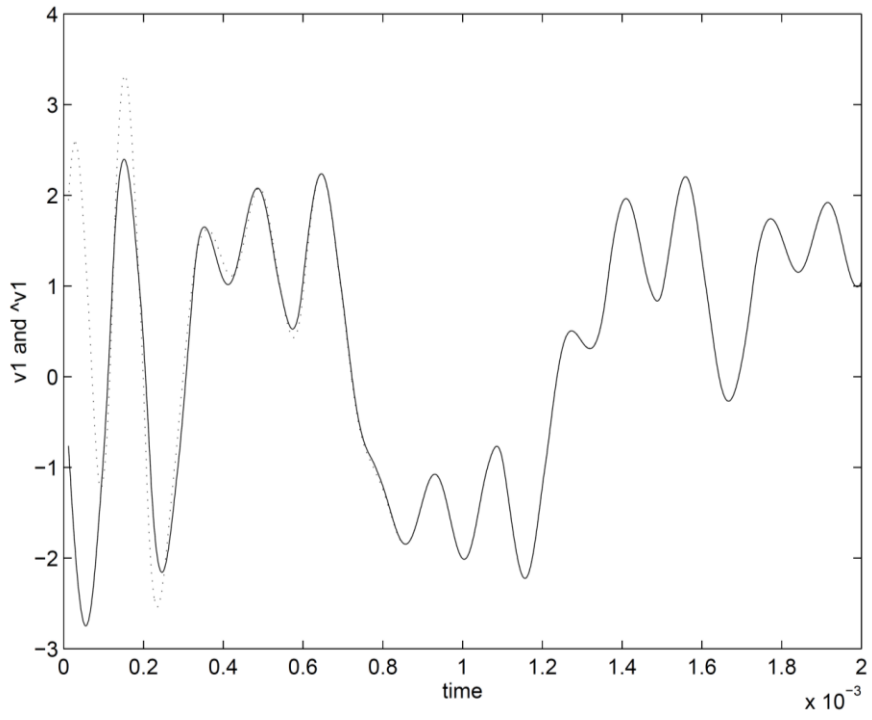
که در آن  $E$  ولتاژ شکست دیود Chua همان گونه که در شکل (۲-۴) نشان داده شده است. اگر اسیلاتور Chua داده شده توسط معادله ۴-۱ به عنوان فرستنده استفاده نماییم، اسیلاتور Chua زیر به عنوان گیرنده خواهد بود.



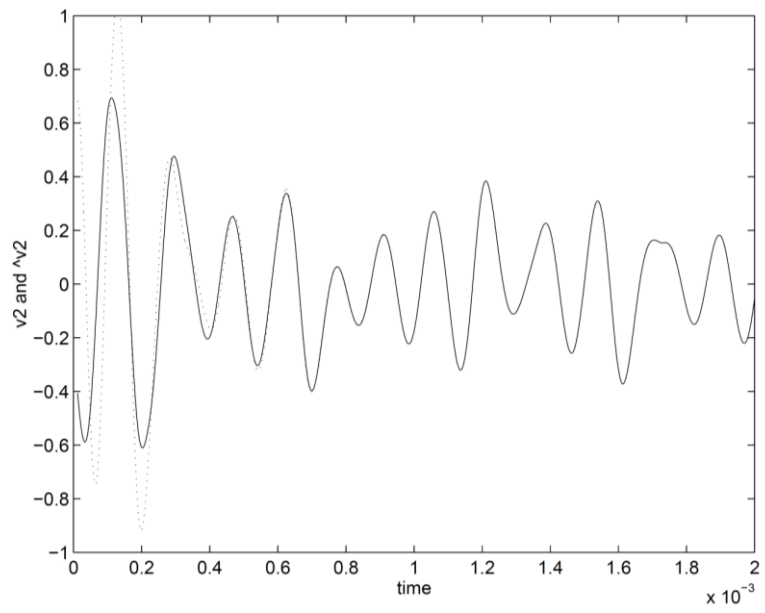
$$\begin{cases} \frac{d\tilde{v}_1}{dt} = \frac{1}{c_1}[G(\tilde{v}_2 - \tilde{v}_1) - f(\tilde{v}_1)] \\ \frac{d\tilde{v}_2}{dt} = \frac{1}{c_2}[G(v_1 - \tilde{v}_2) + \tilde{i}_3] \\ \frac{d\tilde{i}_3}{dt} = \frac{1}{L}[-\tilde{v}_2 - R_0\tilde{i}_3] \end{cases} \quad (3-4)$$

که در آن  $\tilde{v}_1$ ،  $\tilde{v}_2$  و  $\tilde{i}_3$  متغیرهای حالت گیرنده است.

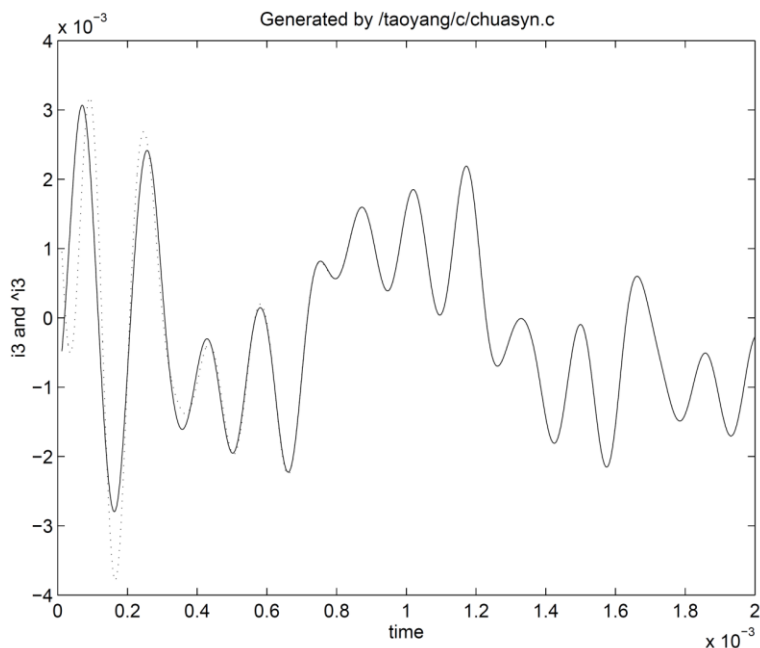
توجه کنید که در قسمت دوم معادله ۳-۴،  $\tilde{v}_1$  را با  $v_1$  جایگزین کرده ایم. در این حالت  $v_1$  سیگنال ارسال شده است. می توان اثبات نمود که در شرایط خاص می توان نوسانات Chua بیان شده در معادلات ۱-۴ و ۳-۴ را همزمان نمود [۳۵]. نتایج شبیه سازی در شکل ۳-۴ نشان داده شده است. خطوط پیوسته نشان دهنده متغیرهای حالت فرستنده و خطوط مقطع نشان دهنده متغیرهای حالت گیرنده است. می بینیم که متغیرهای حالت گیرنده به متغیرهای حالت فرستنده در حدود ۰,۵ میلی ثانیه میل می نمایند هرچند که حالت اولیه آن ها بسیار متفاوت است.



(الف)



(ب)



(ج)

شکل ۳-۴. همزمان سازی دو نوسان ساز Chua. (الف) فرآیند همزمان سازی  $v_1$  و  $\tilde{v}_1$  (ب) فرآیند همزمان سازی  $v_2$  و  $\tilde{v}_2$  (ج) فرآیند همزمان سازی  $i_3$  و  $\tilde{i}_3$

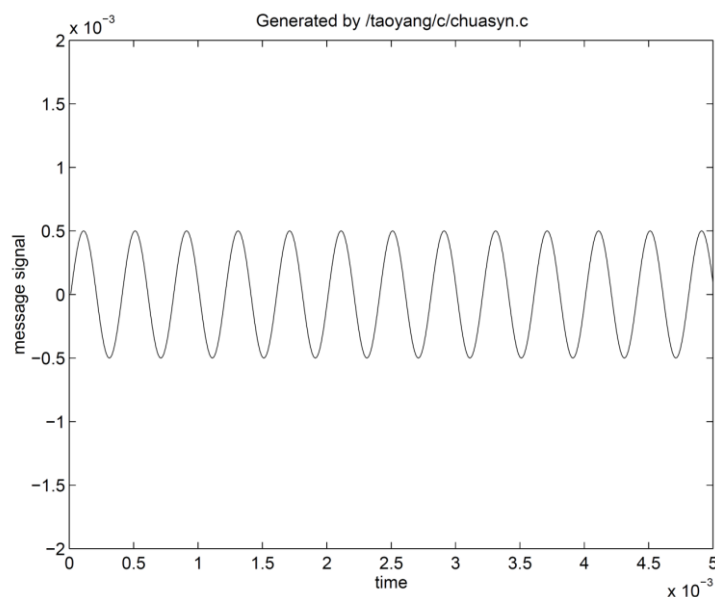
بعد از درک مفهوم همزمان سازی آشوب، می توان یک سیگنال کوچک پیام  $m(t)$  را در سیگنال فرستاده شده  $s(t)$  پنهان کرد.

گیرنده در معادله ۳-۴ را می توان به صورت زیر نوشت:

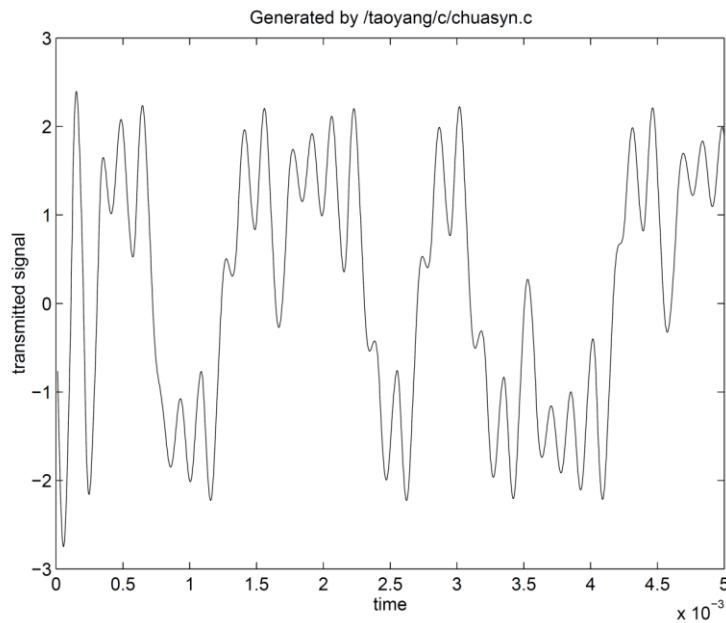
$$\begin{cases} \frac{d\tilde{v}_1}{dt} = \frac{1}{c_1} [G(\tilde{v}_2 - \tilde{v}_1) - f(\tilde{v}_1)] \\ \frac{d\tilde{v}_2}{dt} = \frac{1}{c_2} [G(v_1 + m(t) - \tilde{v}_2) + \tilde{i}_3] \\ \frac{d\tilde{i}_3}{dt} = \frac{1}{L} [-\tilde{v}_2 - R_0 \tilde{i}_3] \end{cases} \quad (4-4)$$

در این حالت در نظر می‌گیریم که کانال بدون نویز است و معادله  $r(t) = s(t) = v_1(t) + m(t)$  برقرار است. هم‌زمان‌سازی هنگامی که  $m(t)$  به اندازه کافی کوچک باشد قابل‌دستیابی است. در شکل (۴-۴) نتایج شبیه‌سازی برای رهیافت پوشاندن جمع شونده آشوب ارائه شده است. شکل (۴-۴-الف) پیام ضعیف را نشان می‌دهد و شکل (۴-۴-ب) سیگنال فرستاده شده را نشان می‌دهد. از آنجایی که سیگنال پیام بسیار ضعیف است نمی‌توان اثری از آن در سیگنال فرستاده شده دید، در این حالت سیگنال پیام در سیگنال شبه نویز آشوبی پنهان شده است. نتایج بازیابی شده در شکل (۴-۴-ب) نشان داده شده است. همان‌گونه که مشاهده می‌شود بعد از گذشت حالت گذرا هم‌زمانی ناقص انجام شده و سیگنال پیام به همراه نویز زیادی بازیابی شده است.

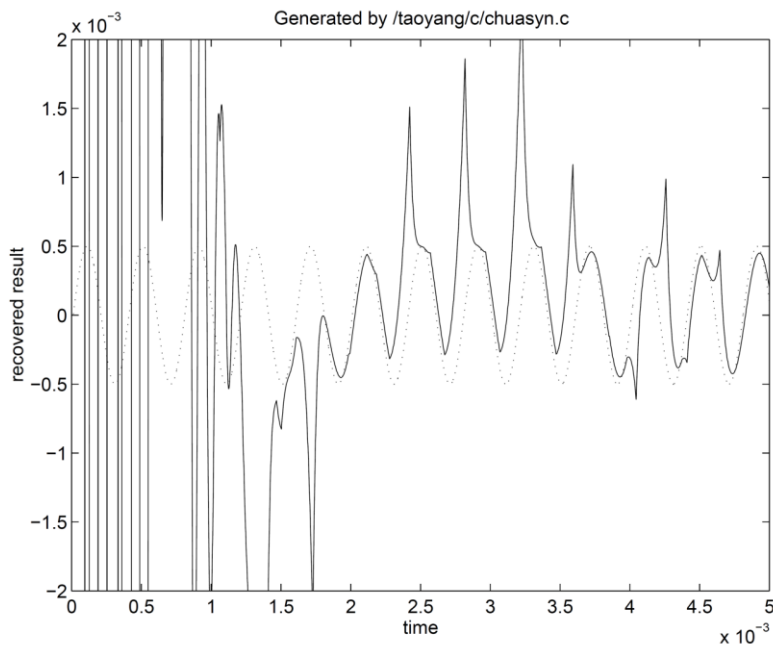
اثبات شده است که این رهیافت در کاربردهای عملی به علت محدودیت‌هایی که در زیر به آن‌ها اشاره می‌شود قابل‌استفاده نیست. از آنجایی که سیگنال پیام حدود ۲۰ تا ۳۰ دسی‌بل ضعیف‌تر از سیگنال آشوبی است، این روش بسیار به نویز کانال و عدم تطبیق پارامترها بین سیستم‌های آشوبی در فرستنده و گیرنده حساس است. به علاوه، این روش دارای درجه امنیت بسیار کمی می‌باشد [۳۶].



(الف)



(ب)



(ج)

شکل ۴-۴. نتیجه شبیه‌سازی رهیافت پوشاندن جمع شونده آشوب با استفاده از دو نوسان‌ساز Chua. (الف) سیگنال پیام ضعیف  $m(t)$ . (ب) سیگنال فرستاده شده  $s(t)$ . (ج) سیگنال بازیابی شده  $\tilde{m}(t)$ . [۳۶].

کلید زنی آشوبی که در شکل (۴-۱-ب) نشان داده شده است، سوئیچینگ آشوبی هم نامیده می‌شود و برای ارسال سیگنال پیام دیجیتال طراحی شده است. در این رهیافت، سیگنال پیام که سیگنالی

دیجیتال است برای سوئیچ کردن سیگنال ارسالی بین دو جاذب آشوبی با مشخصات آماری مشابه که برای کد کردن بیت‌های صفر و یک سیگنال پیام بکار می‌رود، استفاده می‌شود. این دو جاذب به‌وسیله دو سیستم آشوبی با ساختار یکسان ولی پارامترهای متفاوت ایجاد می‌گردد. در سمت گیرنده، سیگنال دریافتی برای تحریک یک سیستم آشوبی که معادل یکی از سیستم‌های آشوبی در فرستنده است، مورد استفاده قرار می‌گیرد. سیگنال دریافتی به‌وسیله یک فیلتر پایین‌گذر و سپس استفاده از سطح آستانه برای خطای هم‌زمان‌سازی سیگنال  $e(t)$  که در شکل (۴-۱-ب) نشان داده شده است، بازیابی می‌شود.

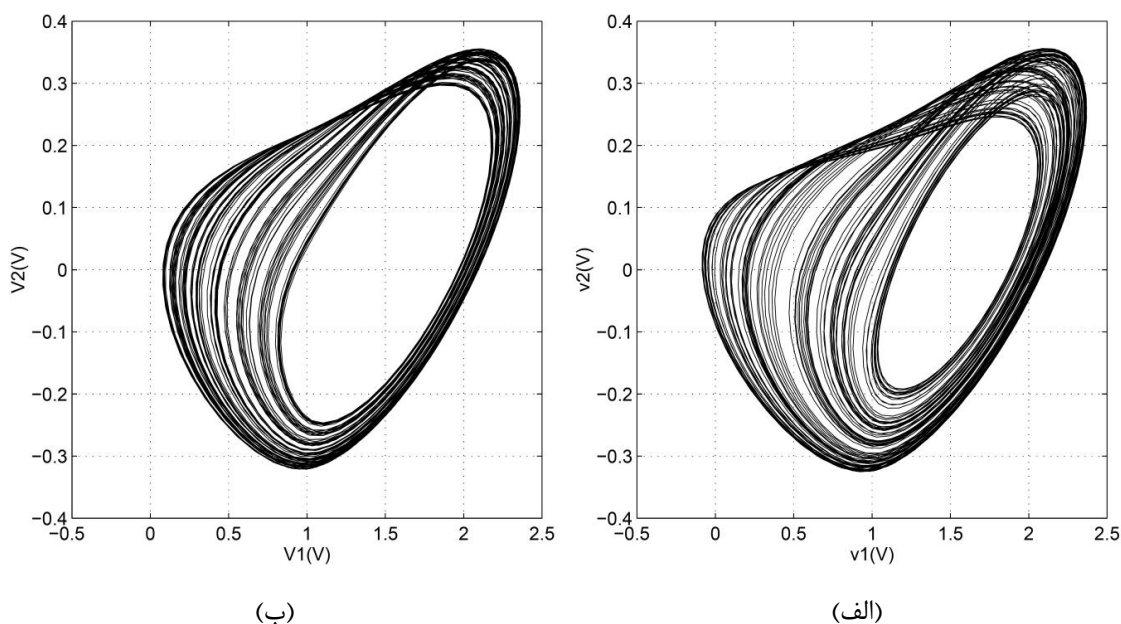
برای نشان دادن این رهیافت نیز از نوسان‌سازهای Chua در فرستنده و گیرنده استفاده می‌کنیم. در فرستنده از دو جاذب آشوبی شبیه راسلر برای کد کردن بیت‌های صفر و یک بکار می‌رود. پارامترهای بکار رفته برای کد کردن بیت یک عبارت‌اند از:

$$R = 100\Omega, R_0 = 20\Omega, G_a = -1.139mS, G_b = -0.71mS, E = 1v, L = 12.5mH, c_1 = 17nF, c_2 = 187nF$$

جاذب آشوبی مربوطه در شکل (۴-۵-الف) نشان داده شده است. پارامترهای بکار رفته برای کد کردن بیت صفر به شرح زیرند:

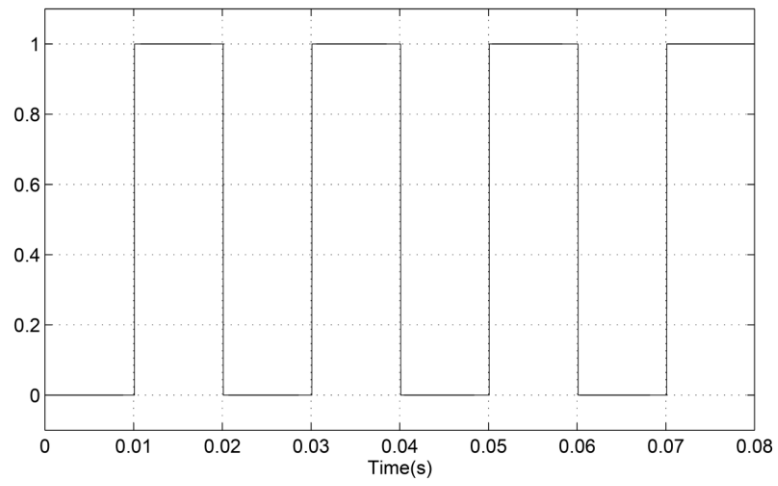
$$R = 100\Omega, R_0 = 20\Omega, G_a = -1.139mS, G_b = -0.71mS, E = 1v, L = 12.5mH, c_1 = 17.5nF, c_2 = 197nF$$

جاذب آشوبی مربوطه در شکل (۴-۵-ب) نشان داده شده است. این دودسته پارامتر دو جاذب آشوبی متفاوت ولی از نظر آماری مشابه را تولید می‌نمایند. ولتاژ  $v_1$  به گیرنده فرستاده می‌شود بلوک هم‌زمان‌سازی آشوب چیزی شبیه و نه لزوماً معادل آنچه در شکل (۴-۱-الف) نشان داده شد است.

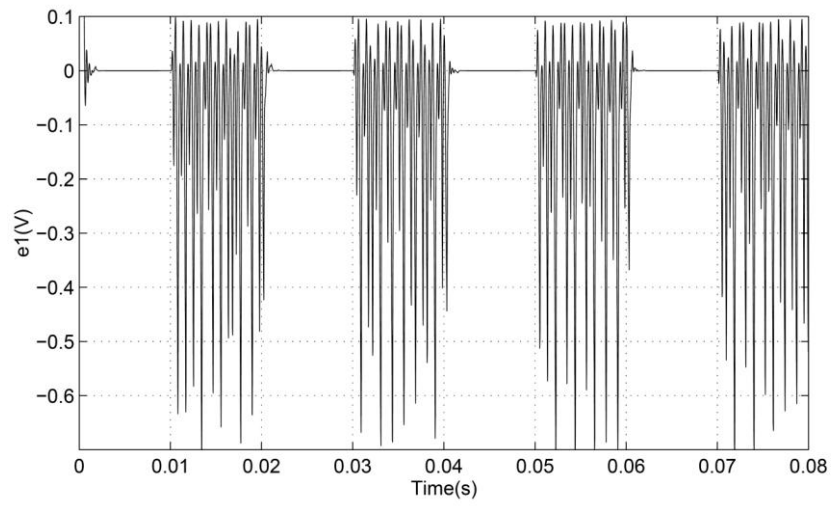


شکل ۴-۵. جاذب‌های آشوبی نوسان‌ساز Chua که در رهیافت کلید زنی آشوبی بکار رفته‌اند. هر دو در صفحه  $v_1 - v_2$  نشان داده شده‌اند. (الف) جاذب آشوبی برای کد کردن بیت یک (ب) جاذب آشوبی برای کد کردن بیت صفر. نتایج شبیه‌سازی در شکل (۴-۶) نشان داده شده است. شکل (۴-۶-الف) نشانگر سیگنال پیام دودویی با دوره ۱۰ میلی‌ثانیه است. شکل (۴-۶-ب) نشانگر خطای همزمان سازی گیرنده مجاز مربوط به بیت صفر است. شکل (۴-۶-ج) نشانگر خطای همزمان سازی گیرنده مجاز مربوط به بیت یک است. می‌توان سیگنال دودویی الف را با انتقال میانگین‌گیری و اعمال حد آستانه به ب یا ج بازیابی کرد.

این رهیافت از خود در برابر نویز و عدم تطبیق پارامتر مقاومت نشان می‌دهد. اگر جاذب‌های آشوبی مربوطه از هم در فضای دوشاخگی بسیار دور باشند، این رهیافت دارای درجه پایینی از امنیت است [۳۷]. به‌رحال از آنجایی که این اولین رهیافت مخابرات امن آشوبی بوده است، هم‌اکنون نیز امکان زیادی برای بهتر شدن دارد.

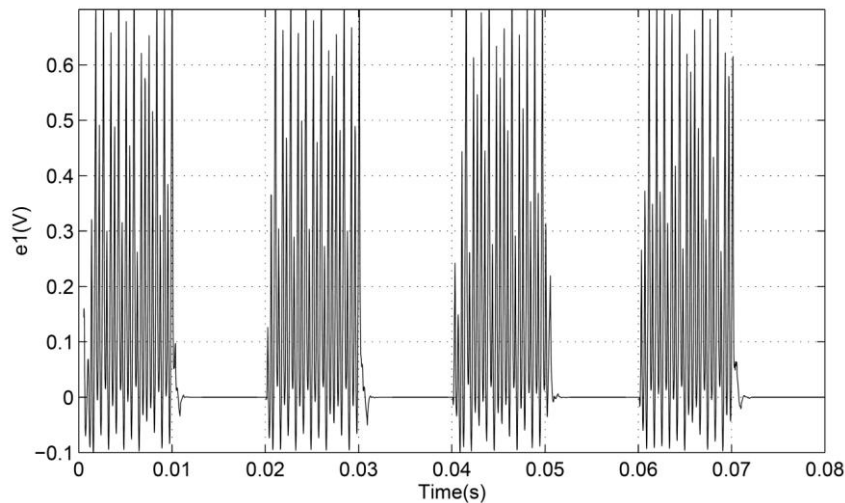


(الف)



(ب)



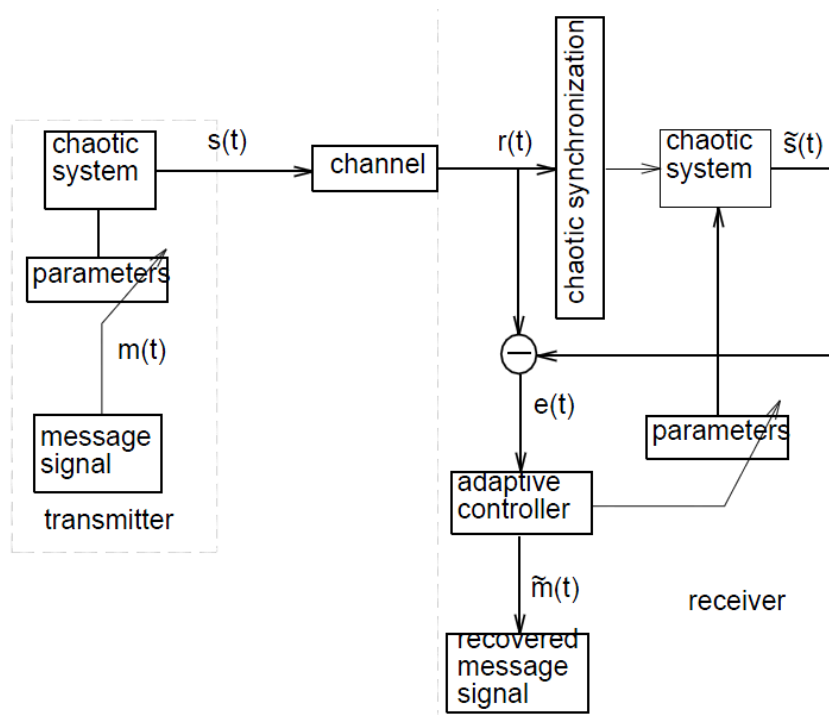


(ج)

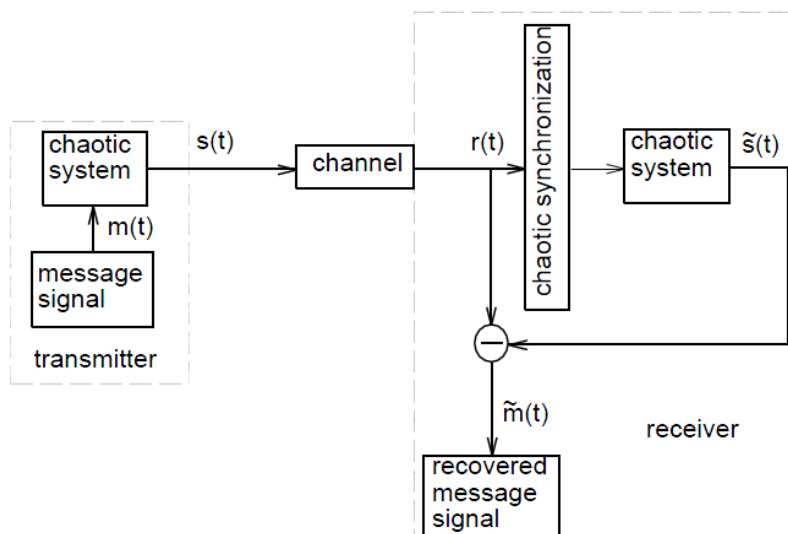
شکل ۴-۶. نتایج شبیه‌سازی برای کلید زنی آشوبی. (الف) سیگنال پیام باینری  $m(t)$ . (ب) خطای همزمان سازی نوسان‌ساز Chua با پارامتر مربوط به بیت صفر. (ج) خطای همزمان سازی نوسان‌ساز Chua با پارامتر مربوط به بیت یک.

#### ۴-۲- نسل دوم

نسل دوم سیستم‌های مخابرات امن آشوبی در طی سال‌های ۱۹۹۳ تا ۱۹۹۵ با نام مدولاسیون آشوبی ارائه شد. این نسل از دو روش مختلف برای مدولاسیون پیام بر روی حامل آشوبی سود می‌جست. اولین روش مدولاسیون پارامتر آشوبی نام دارد و در شکل (۴-۷-الف) نشان داده شده است. در این روش از سیگنال پیام برای تغییر پارامترهای فرستنده آشوبی استفاده می‌شود [۱۰]. روش دوم که روش مدولاسیون غیر خودکار آشوبی نامیده می‌شود و در شکل (۴-۷-ب) نشان داده شده است، از سیگنال پیام برای تغییر دادن صفحه فاز فرستنده آشوبی استفاده می‌نماید [۳۸].



(الف)

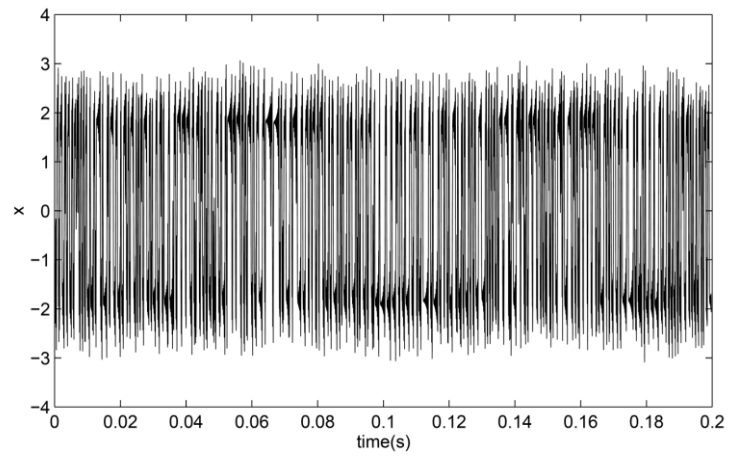


(ب)

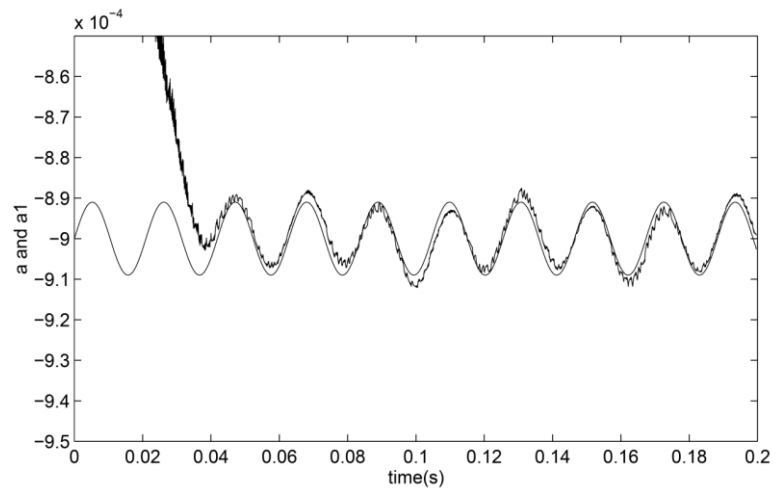
شکل ۴-۷. بلوک دیاگرام نسل دوم سیستم‌های مخابرات امن آشوبی. (الف) مدولاسیون پارامتر آشوبی. (ب) مدولاسیون غیر خودکار آشوبی [۱۰].

در شکل (۴-۷-الف) سیگنال پیام  $m(t)$  به منظور مدوله کردن تعدادی از پارامترهای سیستم آشوبی فرستنده به نحوی که مسیرهایشان در بین جاذب‌های مختلف آشوبی تغییر نماید به کار می‌رود. در سمت گیرنده از یک کنترل کننده تطبیقی برای تنظیم وقتی پارامترهای سیستم آشوبی به نحوی که

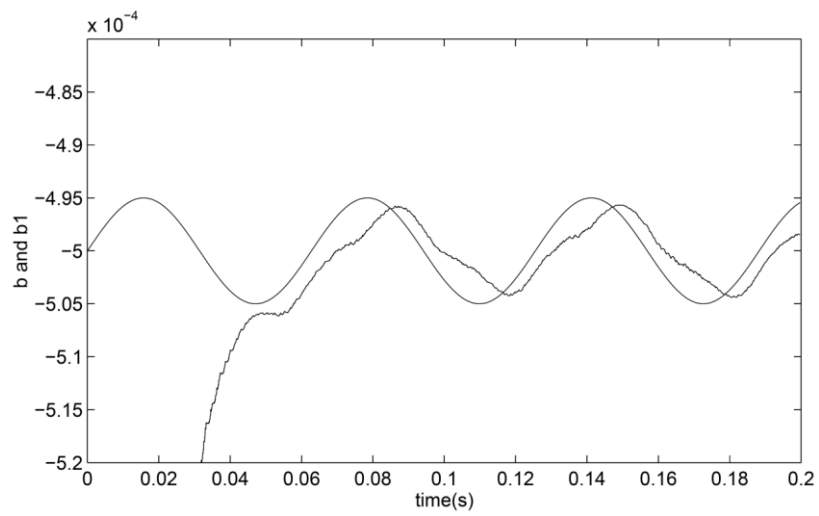
خطای همزمان‌سازی به صفر میل نماید استفاده می‌گردد. با انجام این عمل، خروجی کنترل‌کننده تطبیقی می‌تواند سیگنال پیام را بازیابی کند. نتایج شبیه‌سازی در شکل (۴-۸) نشان داده شده است. در این شبیه‌سازی از سه سیگنال پیام برای تنظیم سه پارامتر مختلف سیستم آشوبی فرستنده استفاده شده است. از آنجایی که سیستم آشوبی دائماً جاذب‌هایش را تغییر می‌دهد، شکل موج سیگنال فرستاده شده همان‌گونه که در شکل (۴-۸-الف) نشان داده شده است نسبت به سیگنال‌های آشوبی معمولی پیچیده‌تر است. در شکل‌های (۴-۸-ب) تا (۴-۸-د) سه سیگنال پیام اصلی و بازیابی شده را نمایش می‌دهیم. مشاهده می‌شود که بعد از زمان گذرای همزمان‌سازی، سیگنال‌های پیام باوجود مقداری cross talk و مقدار کمی تاخیر بازیابی شده‌اند. به‌جای تغییر پارامترهای فرستنده آشوبی، رهیافت مدولاسیون غیر خودکار نشان داده شده در شکل (۴-۷-ب) از سیگنال پیام برای تغییر دادن جزئی جاذب آشوبی مستقیماً در صفحه فاز استفاده می‌شود. برخلاف مدولاسیون پارامتر آشوبی که در آن فرستنده بین مسیرهای مختلف در جاذب‌های گوناگون آشوبی سوئیچ می‌نماید. در تئوری، رهیافت مدولاسیون غیر خودکار یک رهیافت بی‌خطا است. نسل دوم درجه امنیت را تا حدی بالا می‌برد اما هنوز این درجه از امنیت رضایت‌بخش نبود [۳۶].



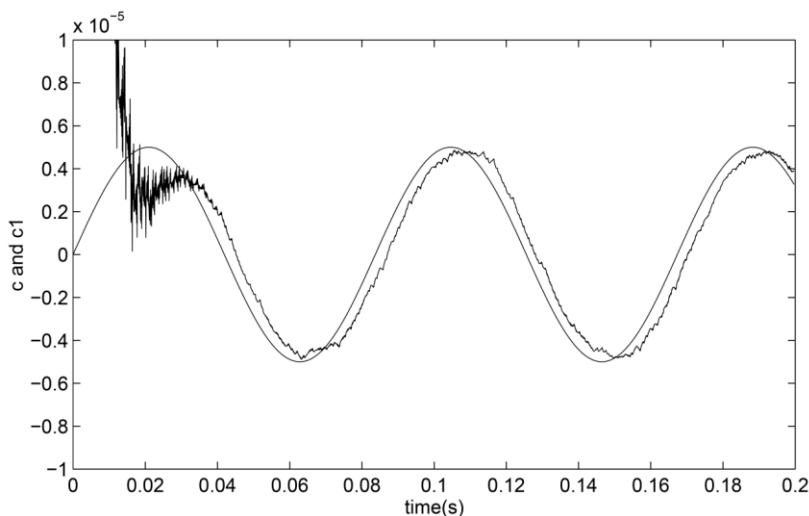
(الف)



(ب)



(ج)



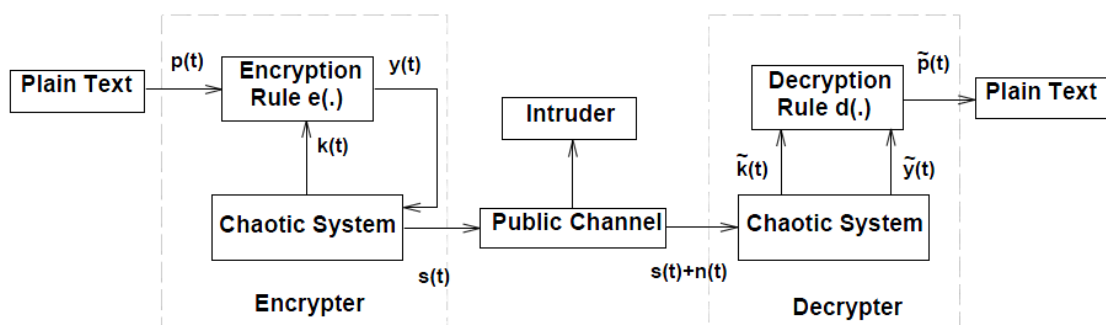
(د)

شکل ۴-۸. استفاده از مدولاسیون پارامتر آشوبی برای ارسال سه سیگنال پیام به صورت همزمان. (الف) سیگنال فرستاده شده  $s(t)$ . (ب) اولین سیگنال پیام و نسخه بازیابی شده آن. (ج) دومین سیگنال پیام و نسخه بازیابی شده آن. (د) سومین سیگنال پیام و نسخه بازیابی شده آن [۱۰].

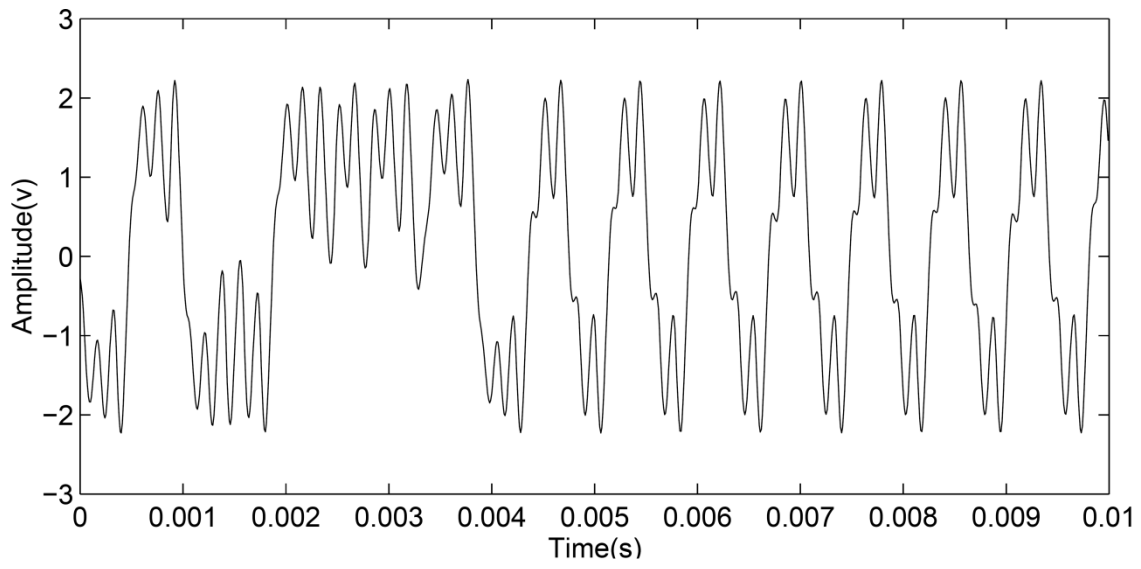
#### ۴-۳- نسل سوم

نسل سوم سیستم‌های مخابرات امن آشوبی که در شکل (۴-۹) نشان داده شده است در سال ۱۹۹۷ باهدف افزایش درجه امنیت سیستم به حدی فراتر از دو نسل قبلی پیشنهاد شد [۳۹]. به این نسل سیستم رمزنگاری آشوبی می‌گوییم. در این نسل از ترکیب تکنیک‌های رمزنگاری کلاسیک و هم‌زمان‌سازی آشوب برای بهبود درجه امنیت استفاده می‌گردد. تاکنون این نسل سیستم‌های مخابرات امن آشوبی در بین تمامی نسل‌ها دارای امنیت بیشتری بوده و تا به حال شکسته نشده است. در سیستم رمزنگاری آشوبی سیگنال متن اصلی  $p(t)$  توسط الگوریتم رمزنگاری با کلید  $k(t)$  که توسط سیستم آشوبی در فرستنده تولید می‌شود، رمز می‌گردد. سیگنال مخلوط شده به منظور تحریک سیستم آشوبی به نحوی که دینامیک‌های آشوبی به صورت پیوسته و با الگوی بسیار پیچیده تغییر نمایند، به کار می‌رود. سپس یک متغیر حالت دیگر سیستم آشوبی فرستنده از طریق کانال عمومی که در دسترس دشمن است، فرستاده می‌شود. از آنجا که دشمن به کلید سخت‌افزاری آشوبی دسترسی ندارد، پیدا کردن  $p(t)$  از روی  $s(t)$  بسیار دشوار می‌شود. در گیرنده، سیگنال دریافت شده

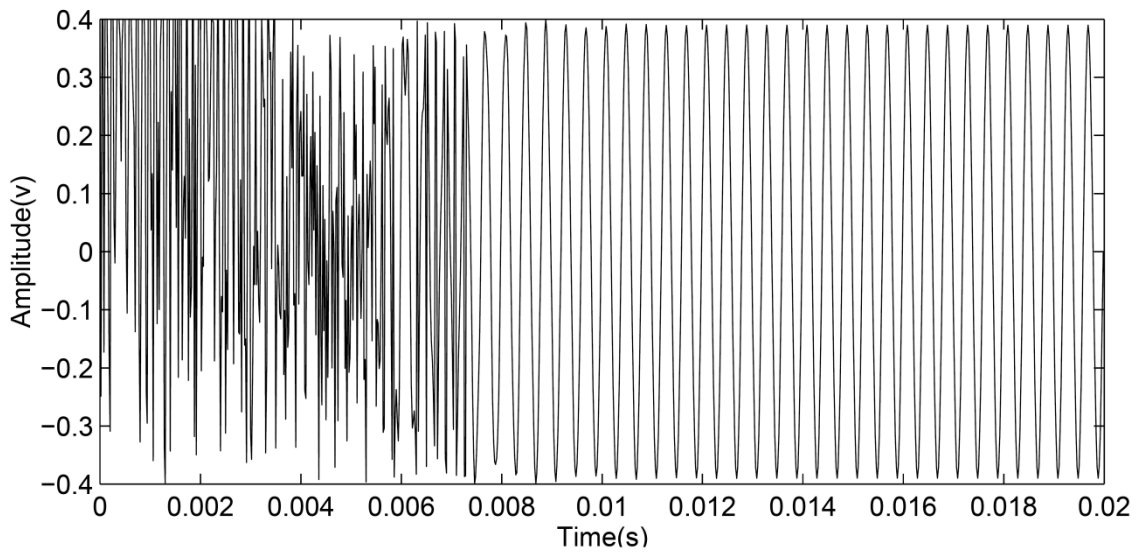
$r(t) = s(t) + n(t)$  است که در آن  $n(t)$  نویز کانال است، به منظور همزمان سازی هر دو سیستم آشوبی در فرستنده و گیرنده به کار می رود. بعد از همزمان شدن دو سیستم آشوبی فرستنده و گیرنده، سیگنال های  $k(t)$  و  $y(t)$  در گیرنده می توانند با مقداری نویز بازسازی شوند. بدین منظور آن ها را با  $\tilde{k}(t)$  و  $\tilde{y}(t)$  نمایش می دهیم. با وارد کردن  $\tilde{k}(t)$  و  $\tilde{y}(t)$  در قانون رمزگشایی، متن اصلی به همراه مقداری نویز قابل بازیابی است که با  $\tilde{p}(t)$  نمایش داده می شود. نتایج شبیه سازی در شکل (۴-۱۰) نشان داده شده است. شکل (۴-۱۰-الف) نشانگر سیگنال ارسالی  $s(t)$  است که همان گونه که مشاهده می شود از روی آن نمی توان سیگنال پیام را تشخیص داد. شکل (۴-۱۰-ب) نشانگر سیگنال های بازیابی شده و رمزگشایی شده در گیرنده است. مشاهده می شود که پس از گذشت زمان گذرای همزمان سازی، سیگنال متن اصلی بازیابی شده است. به منظور نشان دادن امنیت بالای این رهیافت، روش مطرح شده در [۳۶] برای کد برداری سیگنال متن اصلی به کاررفته است. شکل (۴-۱۰-ج) سیگنال بازیابی شده توسط دشمن  $\tilde{y}(t)$  را نشان می دهد. همان گونه که در شکل (۴-۱۰-د) نشان داده شده است، از روی  $\tilde{y}(t)$  به هیچ وجه نمی توان سیگنال پیام اصلی را بازیابی نمود.



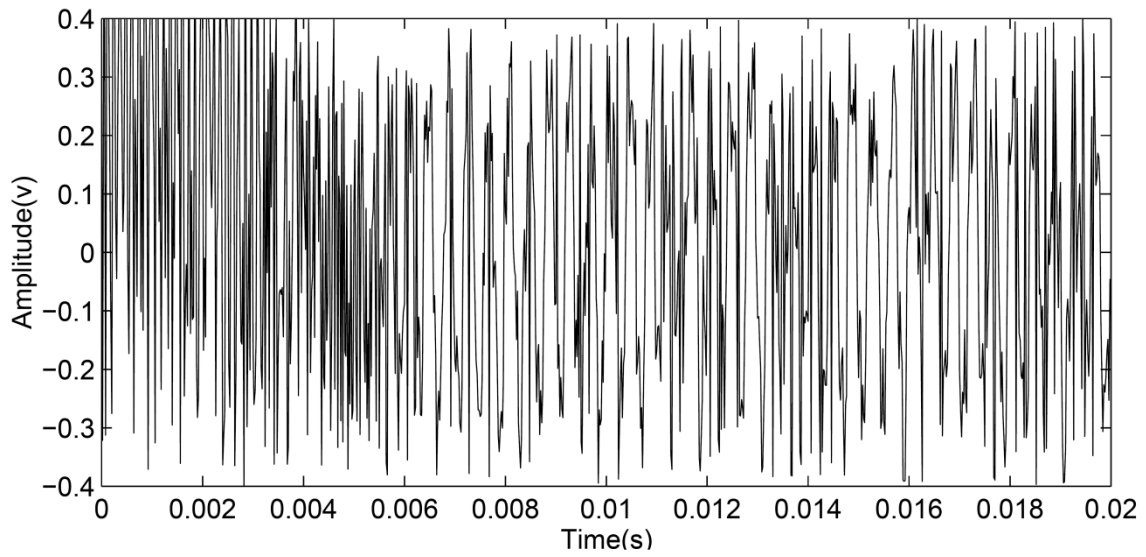
شکل ۴-۹. بلوک دیاگرام نسل سوم سیستم مخابرات امن آشوبی



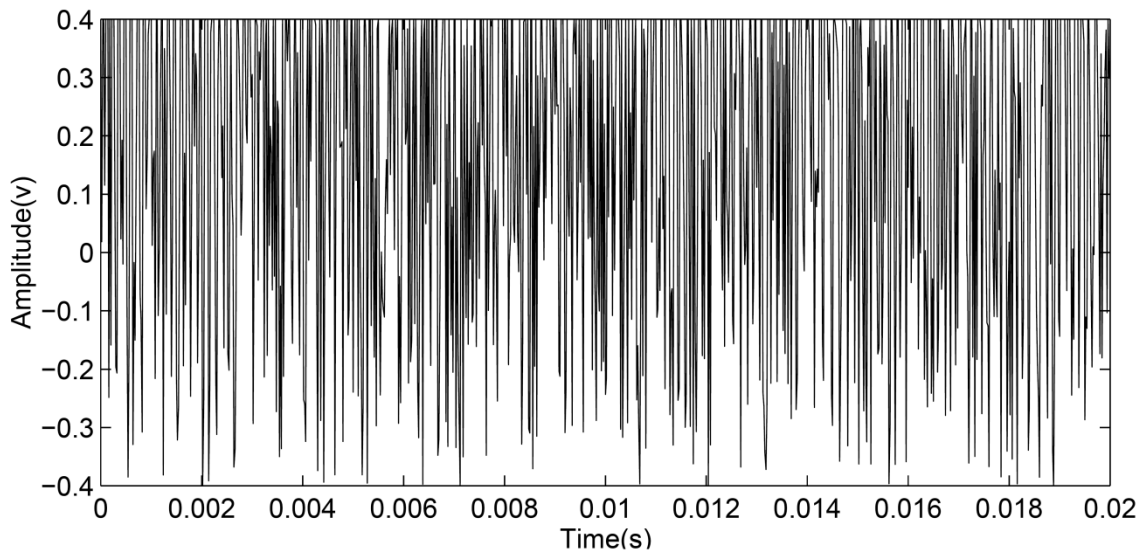
(الف)



(ب)



(ج)



(د)

شکل ۴-۱۰. نتایج شبیه‌سازی سیستم رمزنگاری آشوبی. (الف) سیگنال فرستاده شده  $s(t)$ . (ب) سیگنال بازیابی شده سپس رمزگشایی شده  $p(t)$ . (ج) سیگنال رمز شده بازیابی شده با استفاده از روش مطرح در [۳۶]. (د) نتیجه رمزگشایی سیگنال مرحله (ج)

#### ۴-۴ - نتیجه‌گیری:

به‌منظور پیاده‌سازی عملی سیستم‌های مخابرات امن آشوبی، دو مشکل اساسی و تکنیکی باید حل شود تا بتوانیم سیستم‌های آشوبی را هم‌زمان نماییم. اولین مشکل، مشکل عدم تطبیق پارامترها بین



سیستم‌های آشوبی فرستنده و گیرنده است. این مشکل به‌وسیله همزمان سازی تطبیقی حل شده است [۵]. مشکل دیگر خاصیت غیرخطی بودن کانال است. که این مشکل در [۳۵] حل شده است.

به‌منظور ساده‌سازی تمامی مثال‌ها در ساختار مخابرات آنالوگ ارائه شدند. در پیاده‌سازی‌های عملی مخابرات امن آشوبی به شکل سیستم‌های مخابرات امن دیجیتال با حامل‌های آشوبی صورت می‌پذیرد. اولین رهیافت رقومی کردن سیگنال ارسالی  $s(t)$  و سپس ارسال آن از طریق تکنیک‌های کلاسیک مخابرات دیجیتال بود. بر اساس مقاومت همزمان سازی تطبیقی استفاده‌شده در نسل‌های دوم و سوم، خطای رقومی کردن تنها می‌تواند قسمت کوچک از تمام نویزهای موجود در سیگنال بازبازی شده را تشکیل دهند. رهیافت دوم به ارسال سیگنال‌های اطلاعات دیجیتال در نسل سوم بر اساس همزمان سازی تطبیقی سیستم‌های آشوبی که بر اساس تئوری کنترل تطبیقی انجام می‌شود تخصیص داده شد. در اصل همزمان سازی سیستم‌های آشوبی بکار رفته در سه نسل اول همزمان سازی پیوسته است.

نسل‌های ارائه‌شده دارای درجه امنیت پایین هستند بنابراین می‌بایست رهیافتی جدید و دارای امنیت بیشتر ارائه شود بدین منظور در فصل بعد روشی جدید برای سیستم‌های مخابرات امن آشوبی با ترکیبی از نسل سوم، نگاشت‌های آشوبی چند مدال و استگانوگرافی<sup>۴۴</sup> در تصویر ارائه خواهد شد.

---

<sup>۴۴</sup> Steganography



# فصل پنجم: ارائه رهیافت جدید مخابرات امن آشوبی

از وقتی نتایج بررسی‌های انجام‌شده برای به‌کارگیری آشوب در رمزنگاری منجر به سیستم‌های مخابراتی امن آشوبی از مرتبه پایین شد [۳۶, ۳۷]، نگرانی‌هایی در مورد اینکه این رهیافت‌ها ممکن است به‌اندازه کافی امن نباشد به وجود آمد. به‌منظور رفع این نگرانی یک راه استفاده از سیستم‌های مخابرات امن فوق آشوب<sup>۴۵</sup> است اما همزمان سازی این سیستم‌ها دارای مشکلات بسیار بیشتری است. از سویی دیگر می‌توانیم امنیت سیستم‌های مخابرات امن آشوبی مرتبه پایین را با استفاده از ترکیب سیستم‌های رمزنگاری معمول با سیستم‌های آشوبی افزایش دهیم [۳۹]. برای رفع مشکل امنیت پایین سیستم‌های مخابرات امن آشوبی پیوسته مرتبه پایین، می‌توان یکی از دو روش زیر را بکار برد. اولین روش افزایش پیچیدگی سیگنال ارسالی و روش دوم کاهش افزونگی<sup>۴۶</sup> در سیگنال ارسالی است [۴۰, ۴۱]. در این پایان‌نامه از ترکیب روش‌ها و نسل‌های مختلف سیستم‌های مخابرات امن آشوبی برای افزایش پیچیدگی سیگنال ارسالی با بهره‌گیری از نگاشت‌های آشوبی چند مدال و استگانوگرافی در تصویر استفاده‌شده است. همچنین لازم به ذکر است که برای کاهش افزونگی سیگنال ارسالی می‌توان از روش‌های سنکرون سازی غیر پیوسته ضربه‌ای استفاده نمود [۴۲].

نسل دوم درجه امنیت را تا حدی بالا می‌برد اما هنوز این درجه از امنیت رضایت‌بخش نیست به همین دلیل برای افزایش امنیت این نوع سیستم‌ها به ارائه رهیافتی ترکیبی می‌پردازیم. در این روش از مدولاسیون پارامتر آشوبی (نسل دوم)، استگانوگرافی در اطلاعات (مشابه نسل سوم) و نگاشت‌های آشوبی چند مدال استفاده خواهیم نمود. از نگاشت‌های آشوبی چند مدال برای بالا بردن امنیت سیستم‌های مخابرات آشوبی استفاده می‌شود. به‌طورکلی یکی از روش‌های بالا بردن امنیت در سیستم‌های مخابرات امن آشوبی ارسال اطلاعات رمز شده به‌وسیله این سیستم‌ها است. سیستم‌های آشوبی به دلیل دارا بودن ماهیت شبه نویز کاربردهای بسیار زیادی در این زمینه دارند و معمولاً نسل‌های مختلف سیستم‌های امن آشوبی به‌تنهایی از امنیت بالایی برخوردار نمی‌باشند.

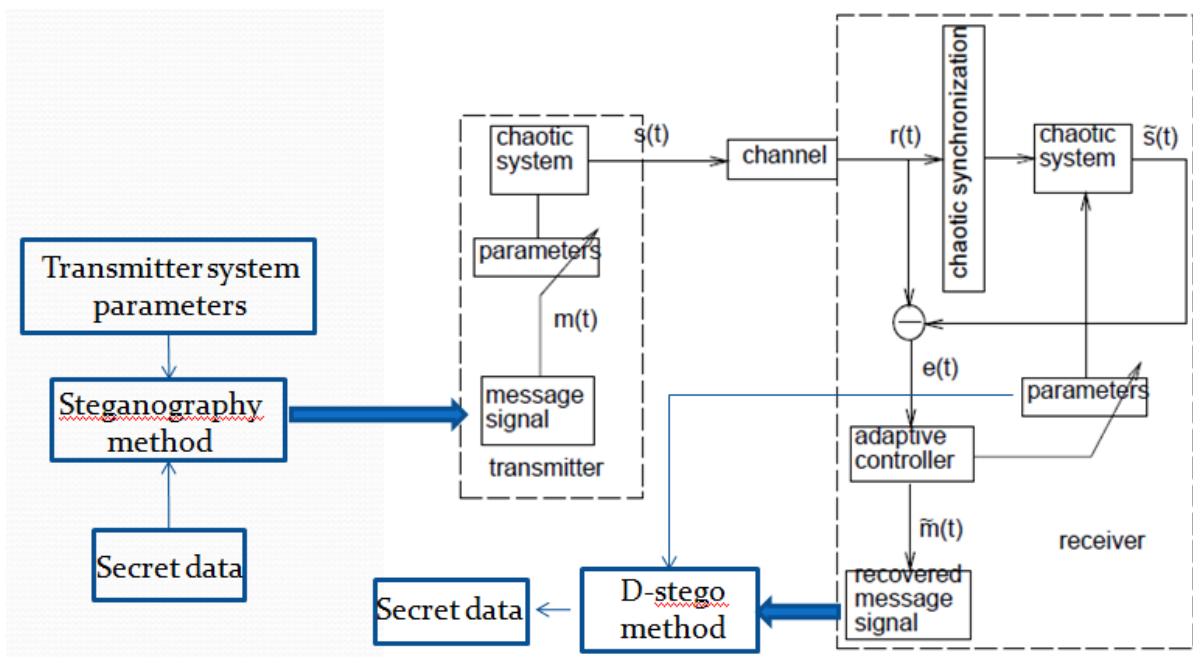
---

<sup>۴۵</sup> Hyper chaos

<sup>۴۶</sup> Redundancy

استگانوگرافی برخلاف رمزنگاری که در آن فرد مزاحم از ارسال اطلاعات رمز شده اطلاع داشته ولی قادر به شناسایی رمز آن نیست؛ ارسال اطلاعات مخفی را بدون اطلاع از فرد مزاحم انجام می‌دهد بطوریکه آن فرد از ارسال اطلاعات مخفی مطلع نیست. به دلیل همین خصوصیات استگانوگرافی یکی از مواردی است که می‌توان از آن سود جست.

در رهیافت ارائه‌شده ابتدا سیگنال پیام را با استفاده از نگاشت آشوبی چند مدال با روش اصلاح مقادیر پیکسل‌ها<sup>۴۷</sup> استگانوگرافی<sup>۴۸</sup> نموده و با مدولاسیون پارامتر آشوبی ارسال می‌کنیم. سپس با سنکرون سازی انجام‌شده در گیرنده و تعیین پارامترهای نامعین سیستم و مشخص نمودن خانواده نگاشت، تصویر بازیابی می‌شود. در شکل ۵-۱ بلوک دیاگرام این رهیافت را مشاهده می‌کنید.



شکل ۵-۱. بلوک دیاگرام رهیافت جدید مخابرات امن آشوبی

<sup>۴۷</sup> Gray level modification (GLM)

<sup>۴۸</sup> Steganography

همان‌طور که در شکل ۵-۱ مشاهده می‌شود رهیافت ارائه‌شده دارای دو بخش فرستنده<sup>۴۹</sup> و گیرنده<sup>۵۰</sup> است. برای نشان دادن نحوه عملکرد این روش هر یک از این بخش‌ها را به‌طور مجزا بیان می‌کنیم. پیش از بیان نحوه عملکرد در فرستنده و گیرنده باید تعریف پنهان‌نگاری<sup>۵۱</sup>، اهمیت استفاده از پنهان‌نگاری و تفاوت آن با رمزنگاری موردبررسی قرار گیرد. همچنین در این بخش روش اصلاح مقادیر پیکسل‌ها<sup>۵۲</sup> که در این رهیافت مورد استفاده قرار گرفته است به‌صورت مشروح توضیح داده خواهد شد.

### ۵-۱- پنهان‌نگاری

پنهان‌نگاری یا استگانوگرافی هنر مخفی کردن یک پیام در یک کانال یا معبر ارتباطی است به‌طوری‌که نوع خاصی از اطلاعات موردنظر در سایر انواع اطلاعات نهفته می‌شود. حامل‌های متعددی برای این موضوع همچون متن، موسیقی و ویدیو، تصویر و غیره قابل طرح است ولی تصاویر دیجیتال به دلیل کثرت استفاده آن‌ها در حوزه اینترنت از عمومیت قابل‌تأملی برخوردار هستند.

اصلاح مقادیر پیکسل‌ها یک روش برای نگاشت اطلاعات با استفاده از مفهوم زوج و فرد بودن اعداد برای نگاشت اطلاعات در داخل تصویر استفاده می‌کند. این روش یک نگاشت یک‌به‌یک بین اطلاعات باینری و پیکسل انتخاب‌شده در تصویر است. ابتدا پیکسل‌های خاصی از تصویر با استفاده از یک تابع ریاضی تصادفی (در اینجا نگاشت آشوبی چند مدال) انتخاب می‌شود و مقادیر شدت روشنایی<sup>۵۳</sup> این پیکسل‌ها مشخص شده و با رشته بیتی که می‌خواهد در تصویر نگاشته شود مقایسه می‌شود. در ابتدا مقادیر شدت روشنایی تمامی پیکسل‌های انتخاب‌شده از لحاظ زوج یا فرد بودن بررسی می‌شود. در صورت فرد بودن با تغییر یک واحد از آن این مقدار زوج می‌شود و در صورت زوج بودن بدون تغییر باقی می‌ماند. حال اگر بیتی که می‌خواهیم در پیکسل پنهان کنیم زوج باشد (یعنی ۰) پیکسل موردنظر دست‌نخورده باقی می‌ماند اما اگر بیت موردنظر فرد باشد (یعنی ۱) مقدار شدت روشنایی

---

<sup>۴۹</sup> Transmitter

<sup>۵۰</sup> Reciver

<sup>۵۱</sup> Steganography

<sup>۵۲</sup> Gray level modification (GLM)

<sup>۵۳</sup> Gray level

پیکسل یک واحد کم می‌شود تا آن پیکسل زوج شود. با این روش در هر پیکسل فقط یک بیت از اطلاعات را می‌توان پنهان کرد. این عمل روی تمام پیکسل‌های انتخاب‌شده تکرار می‌شود تا رشته بیت پیام به‌طور کامل نگاشته شود

این روش را می‌توان طی گام‌های زیر انجام داد:

گام اول: پیام موردنظر که می‌تواند به‌صورت عکس، متن و یا صوت باشد، به‌صورت یک‌رشته بیت درمی‌آوریم و ابعاد آن را در ۳۲ بیت اول این رشته قرار می‌دهیم.

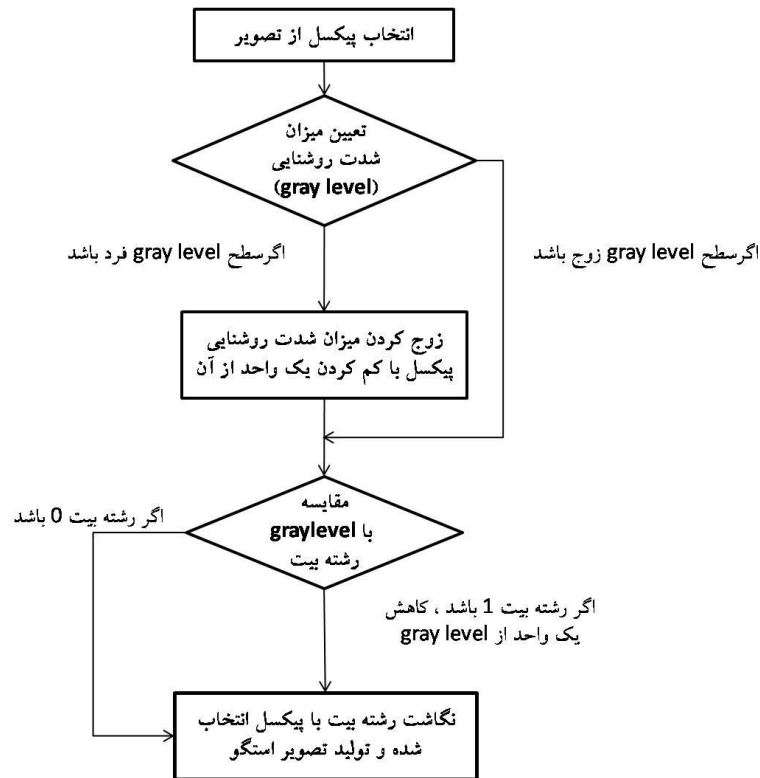
گام دوم: با استفاده از تابعی (نگاشت آشوبی چند مدال) که دو عدد را به‌عنوان کلید دریافت می‌کند، پیکسل‌هایی از تصویر به‌طور تصادفی انتخاب می‌شود.

گام سوم: مقادیر شدت روشنایی پیکسل‌های انتخاب‌شده را بررسی می‌کنیم؛ اگر فرد بودند مقدار آن‌ها را به‌اندازه یک واحد کاهش می‌دهیم تا همه آن‌ها زوج شوند.

گام چهارم: هر پیکسل را با رشته بیت حاصله مقایسه می‌کنیم. اگر مقدار آن بیت فرد بود (یعنی ۱) یک واحد از شدت روشنایی پیکسل موردنظر کم می‌کنیم و اگر بیت موردنظر زوج بود (یعنی ۰) پیکسل مربوطه بدون تغییر می‌ماند (زوج باقی می‌ماند).

مراحل فوق را تا جایی که همه رشته بیت در داخل تصویر جای گیرد انجام می‌دهیم. بدین ترتیب روی هر کدام از پیکسل‌های انتخاب‌شده یک بیت نگاشته شده است.

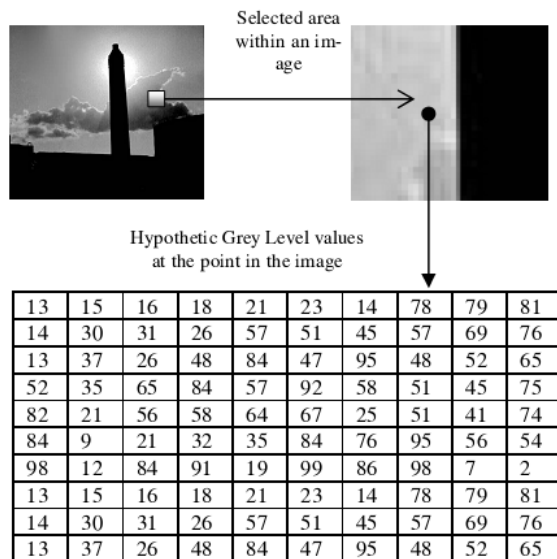
فلوچارت کلی فرآیند پنهان‌سازی اطلاعات در روش GLM به صورت شکل (۵-۲) زیر است:



شکل ۵-۲. فلوچارت فرآیند پنهان‌سازی اطلاعات در روش GLM

به‌عنوان مثال بخشی از تصویر را انتخاب نموده و مقدار پیکسل‌های آن را مشخص می‌کنیم. قاعده انتخاب پیکسل‌ها می‌تواند به صورت معادله ساده خطی  $2x + 0.5w$  باشد که در آن  $w$  عرض ناحیه موردنظر و  $x$  سطرهای تصویر است. در شکل (۵-۳)،  $w = 10$  و  $x = [0-9]$  است. معمولاً از یک معادله ریاضی برای انتخاب محل پیکسل‌ها برای دادن اطلاعات مخفی استفاده می‌شود اما در رهیافت ارائه‌شده از روش جدیدی برای انتخاب محل پیکسل‌ها استفاده می‌کنیم. در اینجا صرفاً برای سادگی توضیح مفهوم اصلاح مقادیر پیکسل‌ها از این معادله ساده خطی استفاده شده است.





13	15	16	18	21	23	14	78	79	81
14	30	31	26	57	51	45	57	69	76
13	37	26	48	84	47	95	48	52	65
52	35	65	84	57	92	58	51	45	75
82	21	56	58	64	67	25	51	41	74
84	9	21	32	35	84	76	95	56	54
98	12	84	91	19	99	86	98	7	2
13	15	16	18	21	23	14	78	79	81
14	30	31	26	57	51	45	57	69	76
13	37	26	48	84	47	95	48	52	65

شکل ۵-۳ قاعده انتخاب پیکسلها [۴۳]

۱۰ پیکسل را برای قرار دادن یک رشته بیت ۱۰ تایی انتخاب می کنیم و سپس gray level آن را طبق

قاعده بالا تغییر می دهیم:

مسیر رفت (رمزنگاری):

1	0	0	1	0	1	0	1	0	1
21	46	52	51	56	35	86	79	14	25

مسیر برگشت (رمزگشایی):

21	46	52	51	56	35	86	79	14	25
1	0	0	1	0	1	0	1	0	1

مراحل بازیابی اطلاعات را می‌توان طی مراحل زیر انجام داد:

گام اول: با استفاده از تابعی که در مرحله مخفی سازی اطلاعات استفاده شد و کلید، محل پیکسل‌های حاوی اطلاعات را مشخص می‌کنیم.

گام دوم: مقادیر شدت روشنایی پیکسل‌های انتخاب‌شده را بررسی می‌کنیم. اگر مقدار موردنظر فرد باشد در رشته بیت ۱ را قرار می‌دهیم و اگر زوج بود در رشته بیت ۰ را قرار می‌دهیم. (برای افزایش سرعت با دستیابی به ۳۲ بیت اول طول پیام را تشخیص می‌دهیم و به‌اندازه همین طول در مسیر پیکسل‌های انتخاب‌شده تصویر جلو می‌رویم تا عملیات اضافه انجام نشود).

گام سوم: رشته بیت حاصله را به‌صورت یک رشته عدد ۸ بیتی مبنای ۱۰ درمی‌آوریم.

گام چهارم: با استفاده از ابعاد رشته عدد را به‌صورت ماتریس پیام درمی‌آوریم.

#### ۵-۱-۱- معیار بررسی کیفیت تصویر استگانوگرافی

هنگام مخفی کردن اطلاعات در داخل تصویر کاور، جزییات تصویر کاور را طوری حفظ کنیم که تفاوت تصویر استگو تصویر کاور قابل‌درک و تشخیص با چشم انسان نباشد. این مسئله مهمی است که استگانوگرافی با آن مواجه است. همان‌طور که همه ما می‌دانیم کیفیت تصویر استگو بالاتر، متضمن غیرقابل ادراک تر بودن پیام پنهان‌سازی شده است. ما می‌توانیم با استفاده از معیارهای نسبت سیگنال به نویز و میزان شباهت این مسئله را ارزیابی می‌کنیم.

#### • نسبت سیگنال به نویز<sup>۵۴</sup>:

PSNR برای مقادیر ۸ بیتی از رابطه زیر محاسبه می‌شود:

$$PSNR = 10 \log_{10} \frac{255^2}{MSE} \text{ dB}$$

---

<sup>۵۴</sup> PSNR

$$MSE = \left( \frac{1}{M \times N} \right) \sum_{x=0}^{M-1} \sum_{y=0}^{N-1} (P_{(x,y)} - P'_{(x,y)})^2$$

M و N سایز تصویر،  $P(x,y)$  مقادیر پیکسل تصویر اصلی و  $P'(x,y)$  مقدار پیکسل تصویر پنهان نگاری شده را در مکان  $x,y$  نشان می‌دهد. مقادیر بزرگ‌تر PSNR نشان‌دهنده‌ی درجه کمتر اعوجاج ایجادشده بعد از پنهان‌سازی اطلاعات و مقادیر کمتر بیانگر اعوجاج بیشتر است به طوری که مقدار PSNR زیر 30dB نشان‌دهنده کیفیت خیلی پایین است؛ یعنی اعوجاج ایجادشده کاملاً قابل مشاهده است. برای مقادیر بالای 40dB کیفیت بالایی برای تصاویر استگو داریم.

#### • میزان شباهت<sup>۵۵</sup>:

این عدد میزان شباهت بین دو سیگنال را نشان می‌دهد و می‌تواند مقادیر بین ۰ و ۱ را اختیار کند. مقدار  $r=1$  یعنی دو سیگنال دقیقاً یکی هستند.

$$r = \frac{\sum (x_i - \bar{x})(y_i - \bar{y})}{\sqrt{\sum (x_i - \bar{x})^2} \sqrt{\sum (y_i - \bar{y})^2}}$$

#### ۵-۲- فرستنده

در رهیافت ارائه‌شده سیگنال اطلاعات (تصویر) با روش مدولاسیون آشوبی از طریق جمع با پارامترهای سیستم راسلر ارسال می‌شود. همان‌طور که بیان شد برای بالا بردن امنیت ارسال اطلاعات باید سیگنال اطلاعات ارسالی را پیچیده‌تر نماییم به همین دلیل ابتدا پیش‌پردازشی بر روی اطلاعات انجام می‌دهیم. این پیش‌پردازش شامل پنهان‌سازی اطلاعات مخفی درون سیگنال ارسالی (تصویر) با روش اصلاح مقادیر پیکسل‌ها است؛ بنابراین ابتدا می‌بایست محل مناسب پیکسل‌ها در تصویر برای پنهان‌سازی اطلاعات انتخاب شود.

<sup>۵۵</sup> similarity measure

در روش‌های مختلف استگنوگرافی برای پنهان‌سازی اطلاعات، پیکسل‌های مناسب باید طوری انتخاب شوند که هم کاملاً تصادفی و غیرقابل‌شناسایی باشند و هم حداقل تأثیر را در خصوصیات ظاهری تصویر ایجاد نمایند.

در روش ارائه‌شده از نگاشت‌های آشوبی چند مدال (فصل دوم بخش ۲-۱-۲) برای تعیین محل مناسب پیکسل‌های تصویر استفاده می‌شود. برای انتخاب نوع خانواده و عضو نگاشت چند مدال در تعیین محل پیکسل‌ها، به دو عدد  $k$  و  $r$  نیازمندیم. این دو عدد در فرستنده و از روی پارامترهای فرستنده طبق جداول تناظر ۱-۵ و ۲-۵ انتخاب می‌شوند. در این جداول تناظر طوری برقرار شده است که تغییر پارامترهای سیستم فرستنده، این سیستم را از حالت آشوبی خارج نمی‌کند.

دینامیک سیستم آشوبی راسلر (فرستنده) به صورت زیر است:

$$\begin{aligned} \dot{x}_1 &= -y_1 - z_1 \\ \dot{y}_1 &= x_1 + ay_1 \\ \dot{z}_1 &= b + z_1(x_1 - c) \end{aligned} \quad (1-5)$$

این سیستم برای همسایگی پارامترهای  $c \in [3,11]$ ،  $a=b=0.2$  و مجموعه بزرگی از شرایط اولیه رفتار آشوبی خواهد داشت. از دو پارامتر سیستم آشوبی راسلر  $c_i$  و  $a_j$  برای تنظیم جدول تناظر بهره می‌گیریم.

جدول ۱-۵. تناظر بین  $c_i$  ها و  $K_i$  ها

$K_i$	$c_i$
$K_1 = 1$	$c_1 = 3$
$K_2 = 2$	$c_2 = 4$
$K_3 = 3$	$c_3 = 5$
$K_4 = 4$	$c_4 = 6$

جدول ۵-۲. تناظر بین  $a_j$  ها و  $r_j$  ها

$r_j$	$a_j$
$r_1 = 0$	$a_1 = 0.2$
$r_2 = 1$	$a_2 = 0.3$
$r_3 = 2$	$a_3 = 0.4$
$r_4 = 3$	$a_4 = 0.5$

بنابراین با انتخاب پارامترهای سیستم راسلر می توان  $c_i = k_i$ ,  $i = 1, 2, 3, 4$  را به عنوان مشخص کننده خانواده نگاشت آشوبی چند مدال و  $a_j = r_j$ ,  $j = 1, 2, 3, 4$  به عنوان تعیین کننده عضو این خانواده در نظر گرفت.

با انتخاب این پارامترها، خانواده نگاشت های آشوبی چند مدال با توجه به رابطه (۲-۵) به صورت زیر قابل حصول است:

$$f_{\beta}(x) = \beta \begin{cases} (1/4 - x)x & \text{for } x \in [0, 1/4]; \\ (1/2 - x)(x - 1/4) & \text{for } x \in [1/4, 1/2]; \\ (3/4 - x)(x - 1/2) & \text{for } x \in [1/2, 3/4]; \\ (1 - x)(x - 3/4) & \text{for } x \in [3/4, 1]; \end{cases}$$

که به عنوان مثال با انتخاب  $c_1 = 4 \leftarrow k_1 = 4$  و داشتن  $\gamma = 0.25$  برای هریک از عضوهای این خانواده داریم:

۱- نگاشت چهارمدال<sup>۵۶</sup>  $f_{64}$  برای  $r = 0$ .

۲- نگاشت سه مدال<sup>۵۷</sup>  $f_{48}$  برای  $r = 1$ .

۳- نگاشت دومدال<sup>۵۸</sup>  $f_{32}$  برای  $r = 2$ .

<sup>۵۶</sup> Quadmodal

<sup>۵۷</sup> Trimodal

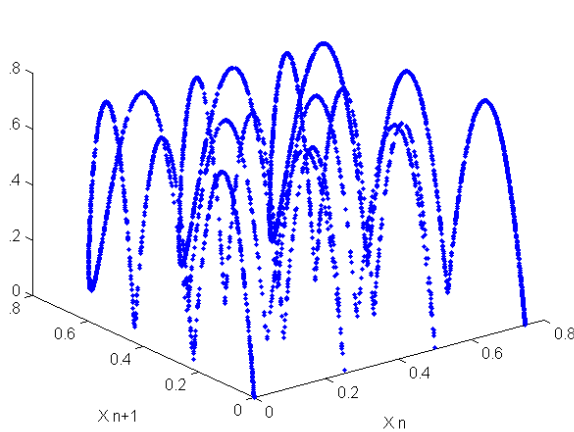
<sup>۵۸</sup> Bimodal

۴- نگاشت تک‌مدال<sup>۵۹</sup>  $f_{16}$  برای  $r=3$ .

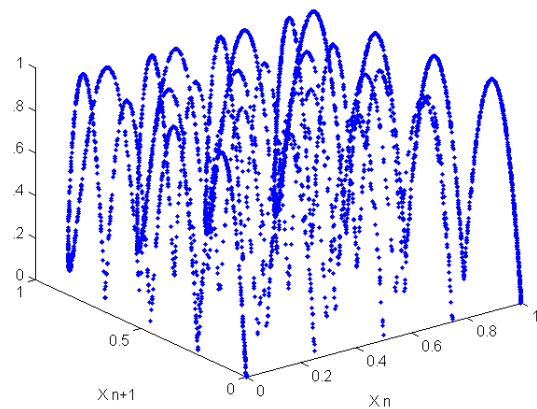
حال با انتخاب هریک از  $a_j \leftarrow r_j$  ها یکی از شکل‌های الف تا ج در شکل (۴-۵) حاصل می‌شود.

که این انتخاب به تنظیم فرستنده بستگی دارد.

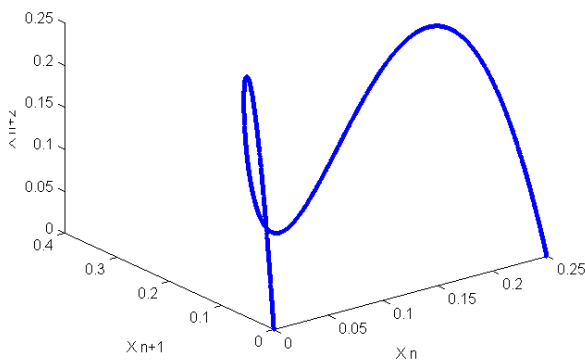
شکل دیاگرام فاز ساختار کشیدگی و تاشدگی<sup>۶۰</sup> برای عضوهای مختلف این خانواده را نشان می‌دهد.



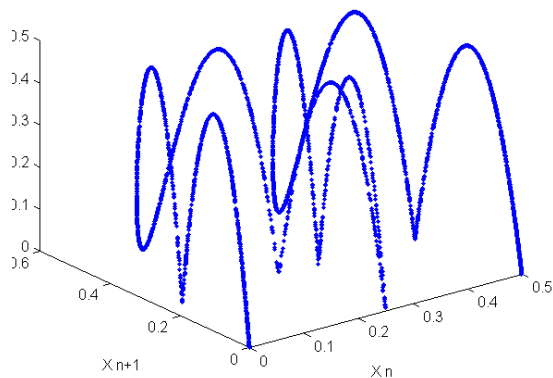
(ب)



(الف)



(د)



(ج)

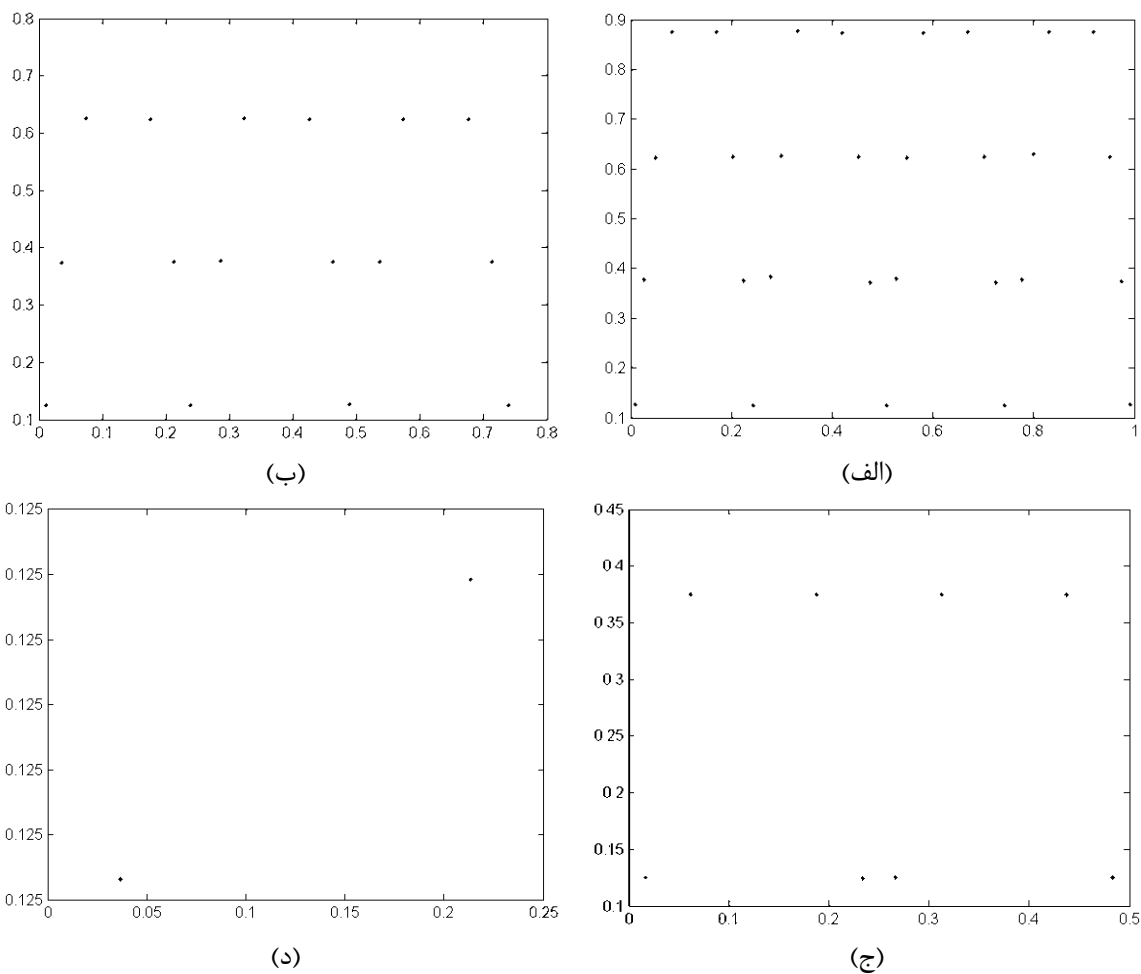
شکل ۴-۵. دیاگرام فاز سه‌بعدی کشیدگی و تاشدگی نگاشت آشوبی چهارمدال برای  $k=4$ : (الف)  $r=0$  (ب)

$r=1$  (ج)  $r=2$  (د)  $r=3$ .

<sup>۵۹</sup> Unimodal

<sup>۶۰</sup> Stretching and Folding

حال با منطبق کردن محورهای  $x_n$  و  $x_{n+1}$  نشان داده شده در دیاگرام کشیدگی و تاشدگی شکل (۵-۴) با محورهای  $x$  و  $y$  تصویر کاور<sup>۶۱</sup> (همان تصویری که ارسال خواهد شد)، مقدار ماکزیمم  $x_{n+2}$  را به عنوان محل مناسب برای جایگذاری اطلاعات انتخاب می کنیم. شکل (۵-۵) پیکسل های انتخاب شده با توجه به شکل های (۴-۵) را نشان می دهد.



شکل ۵-۵. پیکسل های انتخاب شده به عنوان کاندیدای مناسب برای جایگذاری اطلاعات مطابق با شکل (۴-۵)

بنابراین با استفاده از نگاشت آشوبی چند مدال که دو عدد (دو پارامتر سیستم فرستنده طبق جداول تناظر) را به عنوان کلید دریافت می کند، پیکسل های مناسب برای جای دادن اطلاعات انتخاب شد.

<sup>۶۱</sup> Cover image

مقادیر شدت روشنایی این پیکسل‌های انتخاب‌شده با رشته بیت موردنظر (پیام مخفی) مقایسه می‌شود و از طریق روش GLM اطلاعات جایگذاری شده و تصویر استگو<sup>۶۲</sup> ایجاد می‌شود.

حال از قانون مدولاسیون زیر برای مدوله کردن اطلاعات  $I_1(t)$  و  $I_2(t)$  در پارامترهای سیستم فرستنده (۱-۵) استفاده می‌کنیم:

$$\begin{aligned} a(t) &= a + I_1(t), & \hat{a}(t) &= \hat{a} + \hat{I}_1(t), \\ c(t) &= c + I_2(t), & \hat{c}(t) &= \hat{c} + \hat{I}_2(t), \end{aligned} \quad (۲-۵)$$

که  $\hat{I}_1(t)$  و  $\hat{I}_2(t)$  سیگنال‌های بازیابی شده می‌باشند. در مثالی که ارائه خواهد شد تنها از سیگنال  $I_1(t)$  برای ارسال تصویر استگو استفاده می‌کنیم. بدهی است که می‌توان اطلاعات دیگری را نیز با  $I_2(t)$  مخابره نمود.

### ۵-۳-۳- گیرنده

پس از ارسال تصویر توسط مدولاسیون پارامتر آشوبی که درون آن پیام مخفی ذخیره شده است؛ برای بازیابی پیام باید ابتدا تصویر به درستی دریافت شود که این عمل با سنکرون سازی تطبیقی صورت می‌پذیرد. پس از سنکرون سازی صورت گرفته و تطبیق پارامترهای نامعین سیستم در گیرنده می‌توان خانواده و عضو نگاشت را با توجه به جداول تناظر مشخص نمود؛ تصویر استگو<sup>۶۳</sup> ایجادشده را دریافت و پیام مخفی موردنظر را بازیابی کنیم.

### ۵-۳-۱- روش سنکرون سازی ارائه شده

برای انجام سنکرون سازی ارائه شده ابتدا لازم است تعاریف زیر بیان شود [۵]:

تعریف ۱: سیستم غیرخطی یکنواخت با بردار حالت  $X = \{x_i\}_1^{i=n} \in R^n$  و بردار خروجی  $G = \{g_i\}_1^{i=m} \in R^m$  به صورت:

<sup>۶۲</sup> Stego image

<sup>۶۳</sup> Stego image



(۳-۵)

$$\dot{X} = f(X, P), G = h(X)$$

$h(\cdot)$  تابع بردار یکنواخت

$p \in R^l$  بردار پارامترهای ثابت و  $l < n$

$G^{(j)}$   $j$  امین مشتق زمانی بردار  $G$

بردار حالت  $X$  را از لحاظ جبری مشاهده‌پذیر گویند اگر برای برخی از توابع یکنواخت  $\Phi$  و  $j$  به صورت یکتا وجود داشته باشد:

(۴-۵)

$$X = \Phi(G, G^{(1)}, \dots, G^{(j)})$$

تعریف ۲: برای برخی از شرایط تعریف ۱ اگر بردار پارامترهای  $P$  رابطه زیر را برآورده کند:

(۵-۵)

$$\Omega_1(G, \dots, G^{(j)}) = \Omega_2(Y, \dots, Y^{(j)})P$$

که  $\Omega_1(\cdot)$  و  $\Omega_2(\cdot)$  به ترتیب ماتریس‌های یکنواخت  $n \times 1$  و  $n \times n$  هستند.  $P$  از دیدگاه  $G$  به صورت جبری قابل شناسایی گفته می‌شود.

بر اساس تعاریف صورت گرفته سیستم (۱-۵) به صورت جبری مشاهده‌پذیر خواهد بود و با در نظر

$g_1 = y_1$  و  $g_2 = z_1$  حالت  $x_1$  را می‌توان به صورت زیر نوشت:

$$x_1 = \dot{g}_1 - ag_1 \quad (۶-۵)$$

بنابراین با انتخاب این خروجی‌ها، سیستم راسلر مشاهده‌پذیر جبری است و با جایگزینی در معادله

دیفرانسیل (۱-۵) داریم:

$$b + \dot{g}_1 g_2 - \dot{g}_2 = ag_1 g_2 + cg_2 \quad (۷-۵)$$

بنابراین بردار پارامترهای  $p = (a, c)$  و حالت خارج از دسترس  $x_1$  با تعاریف صورت گرفته قابل حصول خواهند بود.

با تعاریف صورت گرفته مسئله سنکرون سازی سیستم راسلر با پارامترهای نامعین بطوریکه حالت‌های  $z_1$  و  $y_1$  در دسترس می‌باشند قابل انجام است و پارامترهای نامعین  $c$  و  $a$  به دست خواهند آمد. سیستم نامعین راسلر (۵-۱) را با حالت‌های خروجی معین  $z_1$  و  $y_1$  به‌عنوان فرستنده در نظر گرفته و برای سیستم گیرنده داریم:

$$\begin{aligned} \dot{x}_2 &= -y_1 - z_1 + u_1 \\ \dot{y}_2 &= x_2 + \hat{a}y_1 + u_2 \\ \dot{z}_2 &= b + z_1(x_2 - \hat{c}) + u_3 \end{aligned} \quad (۸-۵)$$

هدف کنترلی پیدا کردن  $u = (u_1, u_2, u_3)$  و  $\hat{p} = (\hat{a}, \hat{c})$  بطوریکه سیستم‌های فرستنده و گیرنده سنکرون شده و  $\hat{p}$  به مقدار واقعی  $(a, c)$  همگرا شود به عبارت دیگر با انتخاب مناسب  $u$  و  $\hat{p}$  برای سیستم (۲) داشته باشیم:

$$(w_1, \hat{p}) \rightarrow (w_2, p), \quad t \rightarrow \infty$$

$$w_i^T = (x_i, y_i, z_i); \text{ for } i = \{1, 2\} \text{ و گیرنده هستند و } w_2 \text{ به ترتیب بردارهای حالت فرستنده و گیرنده هستند}$$

در این مقاله از هر دو پارامتر سیستم برای ارسال سیگنال‌های  $I_1(t)$  و  $I_2(t)$  استفاده می‌شود. از قانون مدولاسیون زیر برای مدوله کردن  $I_1(t)$  و  $I_2(t)$  در پارامترهای سیستم فرستنده (۵-۱) استفاده می‌کنیم:

$$\begin{aligned} a(t) &= a + I_1(t), & \hat{a}(t) &= \hat{a} + \hat{I}_1(t), \\ c(t) &= c + I_2(t), & \hat{c}(t) &= \hat{c} + \hat{I}_2(t), \end{aligned}$$

که  $\hat{I}_1(t)$  و  $\hat{I}_2(t)$  سیگنال‌های بازبایی شده می‌باشند.

حال خطاهای سیستم را به صورت زیر تعریف می‌کنیم:

$$e_x = x_1 - x_2; \quad e_y = y_1 - y_2; \quad e_z = z_1 - z_2; \quad (9-5)$$

$$\begin{aligned} \tilde{a} &= a - \hat{a}; \quad \tilde{c} = c - \hat{c}; \\ \hat{I}_1 &= I_1 - \hat{I}_1; \quad \hat{I}_2 = I_2 - \hat{I}_2; \end{aligned} \quad (10-5)$$

بنابراین داریم:

$$e^T = (e_x, e_y, e_z); \quad \tilde{p}^T = (\tilde{a}, \tilde{c}); \quad \tilde{I}^T = (\tilde{I}_1, \tilde{I}_2) \quad (11-5)$$

با توجه به روابط ارائه شده داریم:

$$\dot{e} = \begin{bmatrix} \dot{e}_x \\ \dot{e}_y \\ \dot{e}_z \end{bmatrix} = \begin{bmatrix} -u_1 \\ ex + \tilde{a}y + \tilde{I}_1 y - u_2 \\ ze_x - \tilde{c}z - \tilde{I}_2 z - u_3 \end{bmatrix} \quad (12-5)$$

برای ساده سازی  $y = y_1$  و  $x = x_1$  در نظر می گیریم. همان طور که مشاهده می شود در این مسئله کنترلی بردارهای ورودی  $u$  و  $\tilde{p}$  طوری باید طراحی شوند که  $e$  به صورت مجانبی به سمت صفر میل کند.

### ۵-۳-۲- طراحی کنترل کننده

در این بخش کنترل کننده برای ردیابی پیوسته تغییرات پارامترهای مدوله شده در گیرنده بیان می شود و سپس  $I_1(t)$  و  $I_2(t)$  با استفاده از این کنترل کننده بازیابی خواهند شد. مسئله کنترل را با استفاده از روش لیاپانوف حل می کنیم و بر اساس تابع لیاپانوف تخمینگر مورد نظر را برای تضمین سنکرون سازی دو سیستم ارائه می دهیم.

تابع لیاپانوف زیر را در نظر می گیریم:

$$V = \frac{1}{2}e^T e + \frac{1}{2}\tilde{p}^T \tilde{p} + \frac{1}{2}\tilde{I}^T \tilde{I} \quad (13-5)$$

مشتق تابع لیپانوف به صورت زیر است:

$$\begin{aligned} \dot{V} = & \tilde{a}\dot{\tilde{a}} + \tilde{c}\dot{\tilde{c}} - e_x u_1 + e_x e_y + \tilde{a}y e_y + \tilde{I}_1 y e_y - e_y u_2 \\ & + z e_x e_z - \tilde{c}z e_z - \tilde{I}_2 z e_z - e_z u_3 + \tilde{I}_1 \dot{\tilde{I}}_1 + \tilde{I}_2 \dot{\tilde{I}}_2 \end{aligned} \quad (14-5)$$

برای آن که  $\dot{V}$  منفی معین باشد جملات مثبت آن را مساوی صفر قرار داده و بقیه جملات آن را به نحوی انتخاب می‌کنیم که کل  $\dot{V}$  منفی معین شود آنگاه برای  $\dot{\tilde{p}}$ ،  $u$  و  $\dot{\tilde{I}}$  داریم:

$$u = \begin{bmatrix} u_1 \\ u_2 \\ u_3 \end{bmatrix} = \begin{bmatrix} e_y + z e_z \\ k_1 e_y^d \times \text{sign}(e_y) \\ k_2 e_z^d \times \text{sign}(e_z) \end{bmatrix} \quad (15-5)$$

$$\dot{\tilde{p}} = \begin{bmatrix} \dot{\tilde{a}} \\ \dot{\tilde{c}} \end{bmatrix} = \begin{bmatrix} -y e_y \\ z e_z \end{bmatrix} \quad (16-5)$$

$$\dot{\tilde{I}} = \begin{bmatrix} \dot{\tilde{I}}_1 \\ \dot{\tilde{I}}_2 \end{bmatrix} = \begin{bmatrix} -y e_y \\ z e_z \end{bmatrix} \quad (17-5)$$

$k_1$  و  $k_2$  ثابت‌های مثبت مطلق و  $d$  هر عدد مثبت صحیح

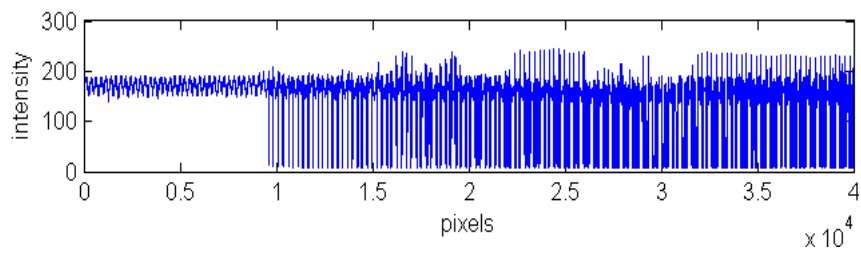
#### ۵-۴- شبیه‌سازی

برای نشان دادن نتیجه روش پیشنهادی از تصویرکاور نمونه شکل (۵-۶-الف) با سایز  $256 \times 256$  استفاده می‌کنیم. شبیه‌سازی انجام شده صحت روش ارائه شده را نشان می‌دهد. تصویر موردنظر را به

بردار تبدیل کرده تا بتوانیم این تصویر را به عنوان اطلاعات  $I_1(t)$  در سیستم ارسال کنیم. شکل (۵-۶) تصویر اصلی و بردار تصویر را نشان می‌دهد.



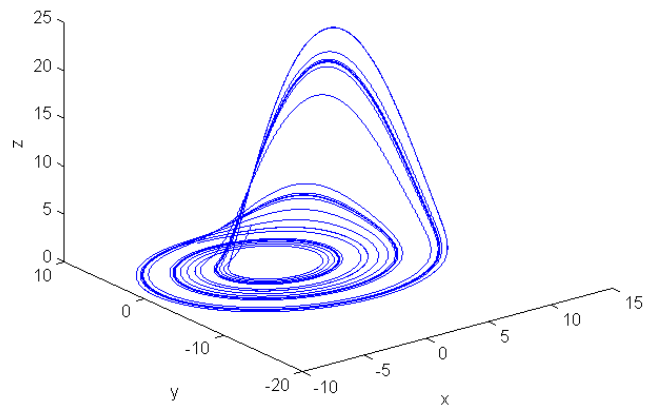
(الف)



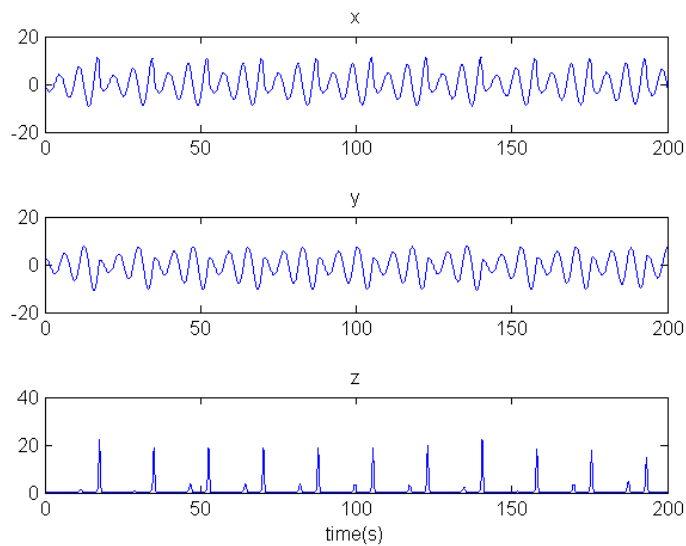
(ب)

شکل ۵-۶. (الف) تصویر اصلی مورد استفاده برای استگنوگرافی (ب) بردار پیکسل‌های تصویر

پارامترهای سیستم فرستنده  $p = (a = 0.2, c = 5.7)$  و شرایط اولیه آن را  $x_1(0) = 1, y_1(0) = -1, z_1(0) = 1$  در نظر می‌گیریم. شکل (۵-۷) جاذب آشوبی و رفتار همه‌ی حالت‌های سیستم راسلر را نشان می‌دهد.



(الف)



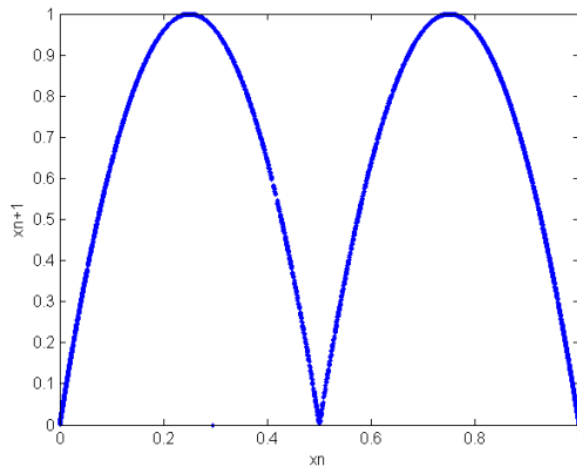
(ب)

شکل ۵-۷. (الف) جاذب آشوبی سیستم راسلر (ب) رفتار تمامی حالت‌های سیستم آشوبی راسلر

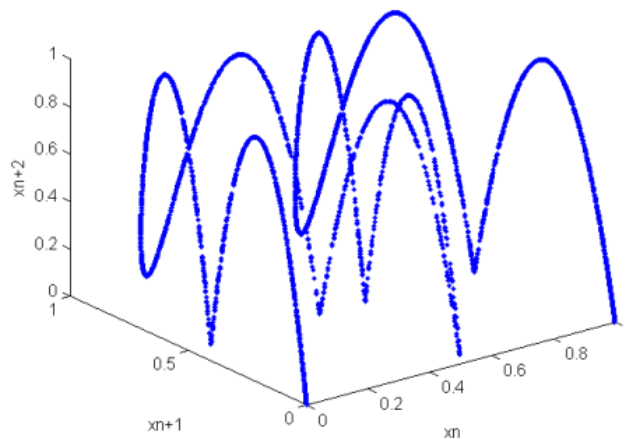
به‌عنوان مثال با انتخاب  $c_2 = 4 \rightarrow k_2 = 2$  و  $a_1 = 0.2 \rightarrow r_1 = 0$  خانواده نگاشت دو مدال  $F$  به صورت زیر به دست می‌آید.

$$f_{16}(x) = 16 \begin{cases} (1/2 - x)x & \text{for } x \in [0, 0.5); \\ (1 - x)(x - 1/2) & \text{for } x \in [0.5, 1]; \end{cases}$$

شکل (۵-۸) دیاگرام کشیدگی و تاشدگی این خانواده را نشان می‌دهد



(الف)

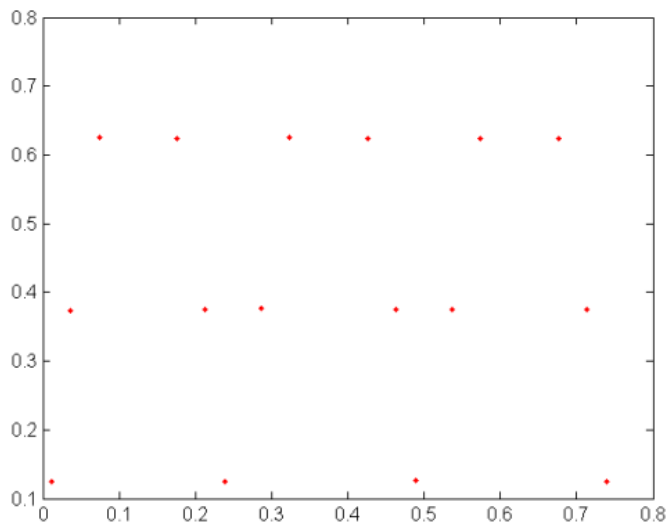


(ب)

شکل ۵-۸. (الف) نگاشت‌های لجستیک خانواده  $F$  (ب) دیاگرام فاز کشیدگی و تاشدگی این ساختار

با منطبق کردن محورهای  $x_n$  و  $x_{n+1}$  نشان داده شده در دیاگرام کشیدگی و تاشدگی این ساختار با محورهای  $x$  و  $y$  تصویر کاور، مقدار ماکزیمم  $x_{n+2}$  را به عنوان محل مناسب برای جایگذاری اطلاعات انتخاب می‌کنیم. شکل (۵-۹) نقاط انتخاب شده برای دادن پیام مخفی را نشان می‌دهد. در این

رہیافت تصویر اصلی بلوک بندی شده است تا بتوانیم نقاط بیشتری را به دست آورده و حجم اطلاعات بیشتری را در تصویر پنهان کنیم.



شکل ۵-۹. پیکسل های انتخاب شده برای جایگذاری اطلاعات

در این شبیه سازی به عنوان مثال یک بلوک  $16 \times 16$  از تصویر کاور را انتخاب می کنیم. پیکسل های هایی که با نگاشت آشوبی چند مدال انتخاب شده اند با عدد ۱ مشخص شده است.

.	.	.	.	.	.	.	.	.	.	.	.	.	.	.	.
.	.	.	.	.	.	.	.	.	.	.	.	.	.	.	.
۱	.	۱	.	۱	.	۱	.	۱	.	۱	.	۱	.	۱	.
.	.	.	.	.	.	.	.	.	.	.	.	.	.	.	.
.	.	.	.	.	.	.	.	.	.	.	.	.	.	.	.
.	.	.	.	.	.	.	.	.	.	.	.	.	.	.	.
۱	.	۱	.	۱	.	۱	.	۱	.	۱	.	۱	.	۱	.
.	.	.	.	.	.	.	.	.	.	.	.	.	.	.	.
.	.	.	.	.	.	.	.	.	.	.	.	.	.	.	.
.	.	.	.	.	.	.	.	.	.	.	.	.	.	.	.
.	.	.	.	.	.	.	.	.	.	.	.	.	.	.	.
۱	.	.	۱	.	.	.	۱	.	.	.	۱	.	.	.	۱
.	.	.	.	.	.	.	.	.	.	.	.	.	.	.	.
.	.	.	.	.	.	.	.	.	.	.	.	.	.	.	.
.	.	.	.	.	.	.	.	.	.	.	.	.	.	.	.
۱	.	.	۱	.	.	.	۱	.	.	.	۱	.	.	.	۱



اطلاعاتی که می‌خواهیم در تصویر کاور مخفی کنیم را به صورت زیر باینری می‌کنیم. این اطلاعات در شبیه‌سازی ارائه شده به صورت متن می‌باشد که به طور مثال نام و نام خانوادگی و... به عنوان اطلاعات مخفی ارسال می‌شود.

Masoud khodadad-zadeh

MSc student of control Engineering,  
Shahrood University of Technology,  
Shahrood, Iran

10011011100001111001111011111101011100100...

...

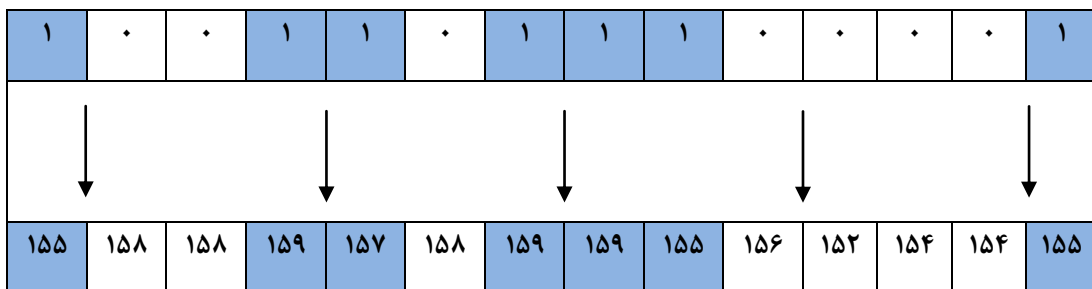
مقادیر شدت روشنایی پیکسل‌های بلوک انتخاب شده به صورت زیر است.

۱۵۶	۱۵۹	۱۵۸	۱۵۵	۱۵۸	۱۵۶	۱۵۹	۱۵۸	۱۵۷	۱۵۸	۱۵۸	۱۵۹	۱۶۰	۱۶۰	۱۶۰	۱۵۸
۱۶۰	۱۵۴	۱۵۷	۱۵۸	۱۵۷	۱۵۹	۱۵۸	۱۵۸	۱۵۸	۱۶۰	۱۵۵	۱۵۶	۱۵۹	۱۵۸	۱۶۰	۱۵۷
۱۵۶	۱۵۹	۱۵۸	۱۵۵	۱۵۸	۱۵۶	۱۵۹	۱۵۸	۱۵۷	۱۵۸	۱۵۸	۱۵۹	۱۶۰	۱۶۰	۱۶۰	۱۵۸
۱۶۰	۱۵۴	۱۵۷	۱۵۸	۱۵۷	۱۵۹	۱۵۸	۱۵۸	۱۵۸	۱۶۰	۱۵۵	۱۵۶	۱۵۹	۱۵۸	۱۶۰	۱۵۷
۱۵۶	۱۵۳	۱۵۵	۱۵۹	۱۵۹	۱۵۵	۱۵۶	۱۵۵	۱۵۵	۱۵۷	۱۵۵	۱۵۴	۱۵۴	۱۵۸	۱۶۲	۱۵۷
۱۵۵	۱۵۵	۱۵۵	۱۵۷	۱۵۶	۱۵۹	۱۵۲	۱۵۸	۱۵۶	۱۵۸	۱۵۲	۱۵۳	۱۵۹	۱۵۶	۱۵۷	۱۶۱
۱۵۶	۱۵۳	۱۵۷	۱۵۶	۱۵۳	۱۵۵	۱۵۴	۱۵۵	۱۵۴	۱۵۶	۱۵۵	۱۵۶	۱۵۵	۱۵۷	۱۵۸	۱۶۰
۱۵۹	۱۵۹	۱۵۶	۱۵۸	۱۵۶	۱۵۹	۱۵۷	۱۶۱	۱۶۲	۱۵۷	۱۵۷	۱۵۹	۱۶۱	۱۵۶	۱۶۳	۱۵۸
۱۵۸	۱۵۵	۱۵۸	۱۵۴	۱۵۶	۱۶۰	۱۶۲	۱۵۵	۱۵۹	۱۶۱	۱۵۶	۱۶۱	۱۶۰	۱۵۵	۱۵۸	۱۶۱
۱۵۵	۱۵۴	۱۵۷	۱۵۸	۱۶۰	۱۶۰	۱۵۹	۱۶۰	۱۵۸	۱۶۱	۱۶۰	۱۶۰	۱۵۸	۱۶۱	۱۵۸	۱۶۰
۱۵۴	۱۵۷	۱۵۷	۱۵۷	۱۵۶	۱۵۵	۱۵۹	۱۵۴	۱۵۹	۱۵۸	۱۶۱	۱۵۸	۱۵۸	۱۶۰	۱۵۹	۱۶۰
۱۵۲	۱۵۰	۱۵۵	۱۵۴	۱۵۲	۱۵۶	۱۵۷	۱۵۶	۱۵۷	۱۵۴	۱۵۷	۱۵۹	۱۵۵	۱۵۶	۱۵۹	۱۶۰
۱۵۷	۱۵۳	۱۵۶	۱۵۵	۱۵۷	۱۶۰	۱۶۰	۱۵۷	۱۵۹	۱۵۹	۱۶۰	۱۶۱	۱۶۰	۱۶۰	۱۵۸	۱۶۳
۱۵۱	۱۵۴	۱۵۷	۱۵۶	۱۵۶	۱۵۸	۱۵۸	۱۵۶	۱۵۷	۱۵۹	۱۵۸	۱۵۶	۱۵۹	۱۶۱	۱۵۹	۱۶۰
۱۵۶	۱۵۷	۱۵۷	۱۶۰	۱۵۹	۱۵۹	۱۵۶	۱۵۸	۱۵۹	۱۶۲	۱۶۱	۱۶۰	۱۶۰	۱۶۱	۱۶۲	۱۶۴
۱۵۷	۱۵۸	۱۵۹	۱۵۷	۱۵۷	۱۵۴	۱۵۳	۱۵۸	۱۵۹	۱۵۵	۱۶۰	۱۵۹	۱۶۱	۱۶۱	۱۵۹	۱۶۰

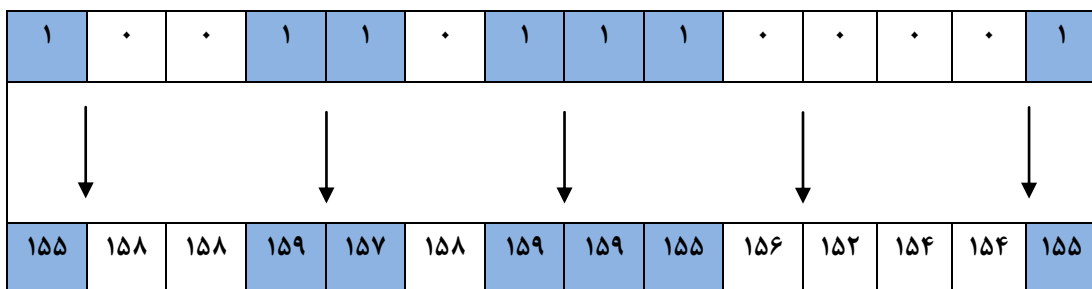
در ابتدا مقادیر شدت روشنایی تمامی پیکسل‌های انتخاب شده از لحاظ زوج یا فرد بودن بررسی می‌شود. در صورت فرد بودن با تغییر یک واحد از آن این مقدار زوج می‌شود و در صورت زوج بودن بدون تغییر باقی می‌ماند. با این روش در هر پیکسل فقط یک بیت از اطلاعات را می‌توان پنهان کرد. این عمل روی تمام پیکسل‌های انتخاب شده تکرار می‌شود تا رشته بیت پیام به طور کامل نگاشته شود.

به عنوان مثال یک رشته بیت ۱۴ تایی مربوط به ابتدای پیام را انتخاب نموده و مطابق شکل زیر در پیکسل های تصویر مخفی می کنیم.

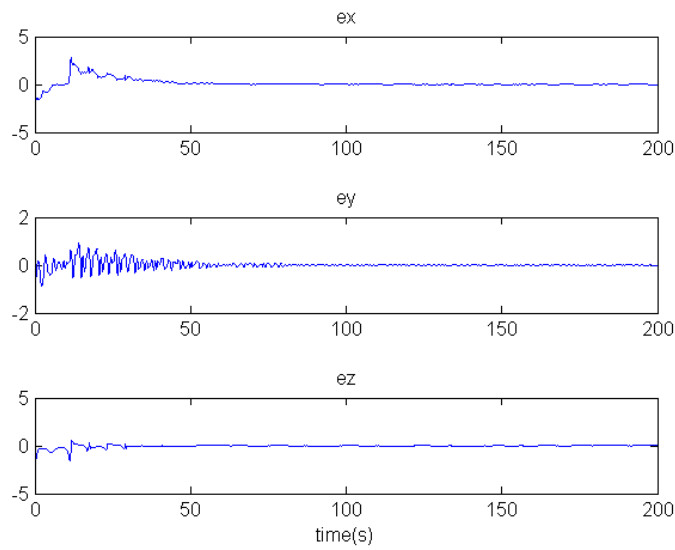
مسیر رفت (رمزنگاری):



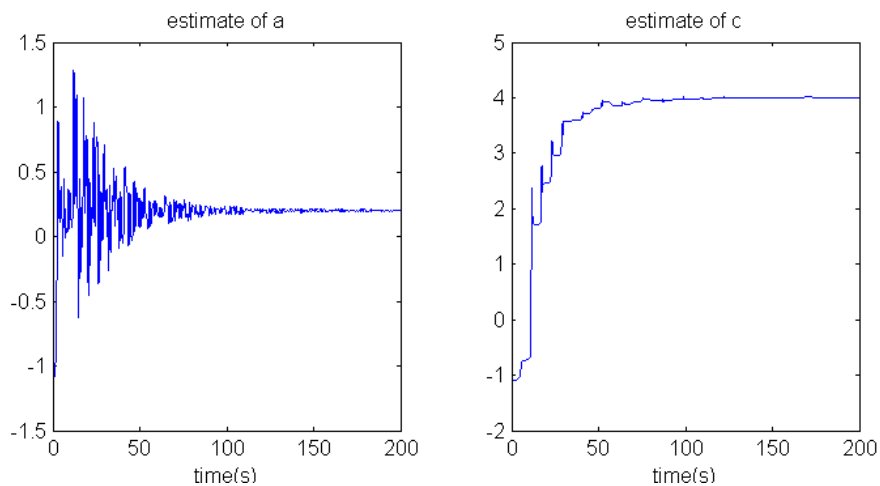
مسیر برگشت (رمزگشایی):



برای نشان دادن کارکرد کنترل کننده طراحی شده  $k_1 = k_2 = 0.7$  و  $m = 4$  با شرایط اولیه  $\hat{I}_1 = -2$  و  $\hat{p}(0) = 0$ ،  $x_1(0) = y_1(0) = z_1(0) = 0$  شکل (۵-۱۰) نشان می دهد که خطا در سنکرون سازی صورت گرفته به صورت مجانبی به صفر همگرا شده و پارامترهای نامعین سیستم گیرنده به پارامترهای واقعی همگرا می شود. مقدار  $PSNR = 47dB$  و  $r = 0.966$  بدست آمد که نشان دهنده مناسب بودن روش طراحی شده می باشد.



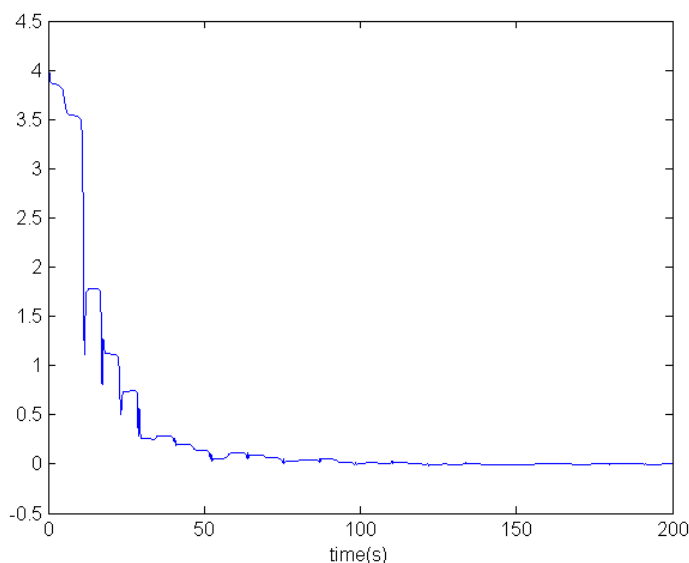
(الف)



(ب)

شکل ۵-۱۰. (الف) خطاهای سنکرون سازی (ب) تخمین پارامترهای سیستم گیرنده زمانی که سیستم در شرایط اولیه  $p = (1,1,1)$  و برای پارامترها با مقدار واقعی  $p = (0.2,4)$

همان طور که انتظار داریم هرچه زمان افزایش یابد این سنکرون سازی دارای عملکرد بهتر خواهد بود. شکل (۵-۱۱) خطای سیگنال پیام بین گیرنده و فرستنده را در رهیافت مخابرات امن آشوبی ارائه شده را نشان می‌دهد که با گذشت زمان به سمت صفر همگرا خواهد شد. بدیهی است به علت تاخیری که در همگرایی سیستم وجود دارد این روش به صورت برخط قابل استفاده نخواهد بود.



شکل ۵-۱۱. نتایج عددی سیگنال پیام  $I_1$  و خطای بازیابی اطلاعات  $(I_1 - \hat{I}_1)$

در این شبیه‌سازی انجام شده یک متن به‌عنوان سیگنال پیام مورد استفاده قرار گرفت و به‌عنوان اطلاعات مخفی در تصویر استگو جایگذاری شده است. برای افزایش ظرفیت جایگذاری اطلاعات، ابتدا تصویر کاور مورد استفاده به صورت  $8 \times 8$  بلوک‌بندی کرده و سپس نقاط مورد نظر را با استفاده از نگاشت انتخاب می‌کنیم. این روش بر اساس سنکرون سازی صورت گرفته اطلاعات بطور کامل بازیابی می‌شود ولی اگر شرایط و نویز کانال را در نظر بگیریم ممکن است باعث از دست دادن نمونه و ایجاد مشکل در بازیابی تصویر شویم.

شکل (۵-۱۲) تصویر استگو پس از جایگذاری متن اطلاعات در تصویر کاور را نشان می‌دهد. همان‌طور مشاهده می‌شود کمترین تأثیر را در خصوصیات و ویژگی‌های تصویر در مقایسه با تصویر اصلی گذاشته است. در این تصویر اطلاعات متنی به صورت زیر پنهان و بازیابی شده است:

Masoud khodadad-zadeh  
 MSc student of control Engineering,  
 Shahrood University of Technology,  
 Shahrood,Iran  
 ...



شکل ۵-۱۲. شکل تصویر استگو پس از جایگذاری اطلاعات متنی در تصویر



## فصل ششم: نتیجه‌گیری و پیشنهادات

نسل‌های ارائه‌شده دارای درجه امنیت پایین هستند بنابراین می‌بایست رهیافتی جدید و دارای امنیت بیشتر ارائه شود از این‌رو روشی جدید برای سیستم‌های مخابرات امن آشوبی با ترکیبی از نسل دوم و سوم، نگاشت‌های آشوبی چند مدال و استگانوگرافی<sup>۶۴</sup> در تصویر ارائه شد.

از وقتی نتایج بررسی‌های انجام‌شده برای به‌کارگیری آشوب در رمزنگاری منجر به سیستم‌های مخابراتی امن آشوبی از مرتبه پایین شد، نگرانی‌هایی در مورد اینکه این شماها که ممکن است به اندازه کافی امن نباشد به وجود آمد. به‌منظور رفع این نگرانی یک‌راه استفاده از سیستم‌های مخابرات امن فوق آشوب<sup>۶۵</sup> است اما همزمان سازی این سیستم‌ها دارای مشکلات بسیار بیشتری است. از سویی دیگر می‌توانیم امنیت سیستم‌های مخابرات امن آشوبی مرتبه پایین را با استفاده از ترکیب سیستم‌های رمزنگاری معمول با سیستم‌های آشوبی افزایش دهیم. برای رفع مشکل امنیت پایین سیستم‌های مخابرات امن آشوبی پیوسته مرتبه پایین، می‌توان یکی از دو روش زیر را بکار برد. اولین روش افزایش پیچیدگی سیگنال ارسالی و روش دوم کاهش افزونگی<sup>۶۶</sup> در سیگنال ارسالی است. در این پایان‌نامه از ترکیب روش‌ها و نسل‌های مختلف سیستم‌های مخابرات امن آشوبی برای افزایش پیچیدگی سیگنال ارسالی با بهره‌گیری از نگاشت‌های آشوبی چند مدال و استگانوگرافی در تصویر استفاده‌شده است. همچنین لازم به ذکر است که برای کاهش افزونگی سیگنال ارسالی می‌توان از روش‌های سنکرون سازی غیر پیوسته ضربه‌ای استفاده نمود.

در این شما ابتدا سیگنال پیام را با استفاده از نگاشت آشوبی چند مدال با روش اصلاح مقادیر پیکسل‌ها<sup>۶۷</sup> استگانوگرافی<sup>۶۸</sup> نموده و با مدولاسیون پارامتر آشوبی ارسال می‌کنیم. سپس با سنکرون سازی انجام‌شده در گیرنده و تعیین پارامترهای نامعین سیستم و مشخص نمودن خانواده نگاشت، تصویر بازیابی می‌شود.

---

<sup>۶۴</sup> Steganography

<sup>۶۵</sup> Hyper chaos

<sup>۶۶</sup> Redundancy

<sup>۶۷</sup> Gray level modification

<sup>۶۸</sup> Steganography



از نگاشت‌های آشوبی چند مدال برای بالا بردن امنیت سیستم‌های مخابرات آشوبی استفاده می‌شود. به‌طور کلی یکی از روش‌های بالا بردن امنیت در سیستم‌های مخابرات امن آشوبی ارسال اطلاعات رمز شده به‌وسیله این سیستم‌ها است. سیستم‌های آشوبی به دلیل دارا بودن ماهیت شبه نویز کاربردهای بسیار زیادی در این زمینه دارند. معمولاً نسل‌های مختلف سیستم‌های امن آشوبی به‌تنهایی از امنیت بالایی برخوردار نمی‌باشند. استگانوگرافی برخلاف رمزنگاری که در آن فرد مزاحم از ارسال اطلاعات رمز شده اطلاع داشته ولی قادر به شناسایی رمز آن نیست؛ ارسال اطلاعات مخفی را بدون اطلاع از فرد مزاحم انجام می‌دهد بطوریکه آن فرد از ارسال اطلاعات مخفی مطلع نیست. به دلیل همین خصوصیات استگانوگرافی یکی از مواردی است که می‌توان از آن سود جست.

همچنین می‌توان از پیشنهادها زیر برای ادامه کار و بهبود روش‌های موجود استفاده نمود:

- ✓ به دست آوردن و تحلیل روابط فضای حالت طراحی‌های صورت گرفته در کانال‌های متغیر بازمان و طراحی مناسب روی‌تگر به‌منظور هم‌زمانی در این شرایط.
- ✓ به دست آوردن و تحلیل روابط فضای حالت طراحی‌های صورت گرفته با تغییر در ساختار فرستنده و نیز نوع مولدهای آشوبی و طراحی روی‌تگر مناسب به‌منظور هم‌زمانی در این شرایط.
- ✓ مدل‌سازی دقیق‌تر کانال‌های مخابراتی به‌صورت کانال‌های متغیر بازمان و تلاش برای استفاده از تکنیک‌های مخابراتی متداول در این کانال‌ها.
- ✓ تحلیل دقیق پارامترهای امنیتی سیستم‌های طراحی‌شده و مقایسه آن با سایر سیستم‌های پهن باند.
- ✓ تلاش برای تحلیل و بررسی انواع حملات امنیتی به سیستم آشوبی و ارائه راهکارهایی به‌منظور افزایش امنیت سیستم

✓ پیاده‌سازی سخت‌افزاری طراحی‌های صورت گرفته بر روی تراشه‌های DSP یا FPGA پس از تحلیل کامل مداری آن.

## پیوست الف - اثبات همگرایی خطا در روش شبه مد لغزشی

اگر با  $u(t)$  ارائه شده در خطا سیستم را کنترل کنیم، مسیر حالت سیستم به مانیفولد شبه لغزشی با

$$|s(t)| \leq \delta_Q = \frac{w\delta}{w-1} \text{ محدود خواهد شد.}$$

اثبات:

تابع لیاپانوف  $V = \frac{1}{2}s^2$  را در نظر می‌گیریم، داریم:

(الف-۱)

$$\begin{aligned} \dot{V} &= s\dot{s} \\ &= s(\dot{e}_2 + \lambda\dot{e}_1) \\ &= s\left((28 - \frac{35}{29}k)e_1 + (k-1)e_2 - y_1y_2 + \right. \\ &\quad \left. x_1x_2 + d(t) + u + \lambda\left(10 + \frac{25}{29}k\right)(e_2 - e_1)\right) \\ &\leq \eta|s| - \frac{w\eta s^2}{|s| + \delta} \\ &= \eta|s| - w\eta\left(|s| - \frac{|s|\delta}{|s| + \delta}\right) \end{aligned}$$

تا زمانی که  $\frac{|s|\delta}{|s| + \delta} \leq \delta$  داریم:

$$\dot{V} \leq \eta|s| - \frac{w\eta s^2}{|s| + \delta} = (1-w)\eta\left(|s| - \frac{w\delta}{w-1}\right) \quad \text{(الف-۲)}$$

هنگامی که برای کنترل‌کننده‌های  $w > 1$  را انتخاب کنیم تا زمانی که  $|s(t)| > \delta_Q = \frac{w\delta}{w-1}$  باشد،

$\dot{V} < 0$  خواهد بود بدین معنی که  $|s|$  به ناحیه  $|s(t)| \leq \delta_Q = \frac{w\delta}{w-1}$  همگرا خواهد شد بنابراین اثبات

کامل می‌شود.

پیوست ب- اثبات همگرایی مدلغزشی تطبیقی

تابع لیاپانوف زیر را در نظر می گیریم

$$V(t) = \frac{1}{2} S^T(y_e)S(y_e) + \frac{1}{2}(\rho - \hat{\rho})^2 \quad (\text{ب-۱})$$

$$\begin{aligned} \dot{V}(t) &= S^T(y_e)\dot{S}(y_e) - (\rho - \hat{\rho})\dot{\hat{\rho}} \\ &= S^T(y_e) \left[ \sigma \hat{A} e(t) + \sigma \hat{B} (f(T^{-1}\hat{x}, t) - f(T^{-1}\hat{x}_0, t)) + \sigma \hat{B} \phi(u(t)) \right] - k(\rho - \hat{\rho}) \|S(y_e)\| \\ &\leq \|S(y_e)\| \left[ \|\sigma \hat{A}\| \|e(t)\| + \|\sigma_2 B_1\| \|f(T^{-1}\hat{x}, t) - f(T^{-1}\hat{x}_0, t)\| + S^T(y_e) \sigma_2 \hat{B}_1 \phi(u(t)) \right] - k(\rho - \hat{\rho}) \|S(y_e)\| \\ &\leq k \|S(y_e)\| \left[ \|e(t)\| + \|f(T^{-1}\hat{x}, t) - f(T^{-1}\hat{x}_0, t)\| \right] + S^T(y_e) \sigma_2 \hat{B}_1 \phi(u(t)) - k(\rho - \hat{\rho}) \|S(y_e)\| \end{aligned}$$

(ب-۲)

داریم:

$$u(t)\phi(u(t)) = -\gamma k \hat{\rho}(t) \frac{S^T(y_e) \sigma_2 B_1}{\|B_1^T \sigma_2^T S(y_e)\|} \phi(u(t)) \geq \beta_1 \gamma^2 \hat{\rho}^2(t) \frac{(S^T(y_e) \sigma_2 B_1)(B_1^T \sigma_2^T S(y_e))}{\|B_1^T \sigma_2^T S(y_e)\|^2} \quad (\text{ب-۳})$$

با استفاده از رابطه

$$(S^T(y_e) \sigma_2 B_1)(B_1^T \sigma_2^T S(y_e)) = \|B_1^T \sigma_2^T S(y_e)\|^2$$

$$\begin{aligned} -\frac{S^T(y_e) \sigma_2 B_1}{\|B_1^T \sigma_2^T S(y_e)\|} \phi(u(t)) &\geq \beta_1 \gamma k \hat{\rho}(t) \\ \Rightarrow S^T(y_e) \sigma_2 B_1 \phi(u(t)) & \quad (\text{ب-۴}) \\ &\leq \beta_1 \gamma k \hat{\rho}(t) \|B_1^T \sigma_2^T S(y_e)\| \end{aligned}$$

همواره ثابت مثبت و نامشخص  $\rho$  وجود دارد که رابطه زیر را برآورده می کند:

$$\|e(t)\| + \|(f(T^{-1}\hat{x}, t) - f(T^{-1}\hat{x}_0, t))\| \leq \rho < \infty \quad \forall t, 0 < t < \infty \quad (\text{ب-۵})$$

$$\begin{aligned} \dot{V}(t) &\leq \beta_1 \gamma k \hat{\rho}(t) \|B_1^T \sigma_2^T S(y_e)\| + k \hat{\rho} \|S(y_e)\| \\ &= -\beta_1 \gamma k \hat{\rho}(t) \|B_1^T \sigma_2^T S(y_e)\| + k \|(B_1^T \sigma_2^T)^{-1} (B_1^T \sigma_2^T) S(y_e)\| \hat{\rho}(t) \\ &= \{ \|(B_1^T \sigma_2^T)^{-1}\| - \gamma \beta_1 \} \times k \hat{\rho}(t) \|(B_1^T \sigma_2^T) S(y_e)\| \end{aligned} \quad (\text{ب-۶})$$

هنگامی که  $\hat{\rho}(t) > 0$ ،  $k > 0$  و  $\gamma > \frac{\|(B_1^T \sigma_2^T)^{-1}\|}{\beta_1}$

بنابراین  $\dot{V}(t) \leq 0$  حاصل خواهد شد و این اثبات کامل می‌شود.



- [١] C. Sparrow, *The Lorenz equations: bifurcations, chaos, and strange attractors* vol. 41: Springer-Verlag New York, 1982.
- [٢] E. Ott, C. Grebogi, and J. A. Yorke, "Controlling chaos," *Physical review letters*, vol. 64, p. 1196, 1990.
- [٣] K. M. Cuomo and A. V. Oppenheim, "Circuit implementation of synchronized chaos with applications to communications," *Physical review letters*, vol. 71, pp. 65-68, 1993.
- [٤] L. Jui-Sheng, Y. Jun-Juh, H. Meei-Ling, T. Jiong-He, Z.-J. Pei-Zhi, and L. Teh-Lu, "Robust synchronization for a class of chaotic systems via quasi sliding mode control," in *Fluid Power and Mechatronics (FPM), 2011 International Conference on*, 2011, pp. 893-897.
- [٥] J. L. Mata-Machuca, R. Martínez-Guerra, R. Aguilar-López, and C. Aguilar-Ibañez, "A chaotic system in synchronization and secure communications," *Communications in Nonlinear Science and Numerical Simulation*, vol. 17, pp. 1706-1713, 2012.
- [٦] D. Wei, C. Guangzhao, W. Zhenjun, and F. Jie, "Synchronization of a class of hyperchaotic systems with multivariable Transmission Using Observer," in *Intelligent System and Knowledge Engineering, 2008. ISKE 2008. 3rd International Conference on*, 2008, pp. 215-219.
- [٧] J.-S. Lin, J.-J. Yan, and T.-L. Liao, "Chaotic synchronization via adaptive sliding mode observers subject to input nonlinearity," *Chaos, Solitons & Fractals*, vol. 24, pp. 371-381, 2005.
- [٨] M. R. Akella and K. Subbarao, "A novel parameter projection mechanism for smooth and stable adaptive control," *Systems & control letters*, vol. 54, pp. ٢٠٠٥, ٥١-٤٣.
- [٩] A. El-Gohary, "Optimal synchronization of Rössler system with complete uncertain parameters," *Chaos, Solitons & Fractals*, vol. 27, pp. 345-355, 2006.
- [١٠] T. Yang and L. Chua, "Secure communication via chaotic parameter modulation," *Circuits and Systems I: Fundamental Theory and Applications, IEEE Transactions on*, vol. 43, pp. 817-819, 1996.
- [١١] C.-J. Cheng, S.-T. Feng, and C.-K. Wang, "An image encryption algorithm based on adaptive synchronization between two different chaotic systems ", in *2010 International Conference on Electronics and Information Engineering*, 2010.
- [١٢] S. Banerjee, M. Mitra, and L. Rondoni, *Applications of chaos and nonlinear dynamics in engineering* vol. 1: Springer, 2011.
- [١٣] E. N. Lorenz, "Deterministic nonperiodic flow," *Journal of the atmospheric sciences*, vol. 20, pp. 130-141, 1963.
- [١٤] G. L. Baker, *Chaotic dynamics: an introduction*: Cambridge University Press, 1996.
- [١٥] E. Campos-Cantón, R. Femat, and A. Pisarchik, "A family of multimodal dynamic maps," *Communications in Nonlinear Science and Numerical Simulation*, vol. 16, pp. 3457-3462, 2011.
- [١٦] L. M. Pecora and T. L. Carroll, "Synchronization in chaotic systems," *Physical review letters*, vol. 64, p. 821, 1990.
- [١٧] H. Nijmeijer, I. Blekhnman, A. Fradkov, and A. Y. Pogromsky, "Self-synchronization and controlled synchronization," 1997.
- [١٨] M. Feki, "An adaptive chaos synchronization scheme applied to secure communication," *Chaos, Solitons & Fractals*, vol. 18, pp. 141-148, 2003.
- [١٩] M. Chen, D. Zhou, and Y. Shang, "A new observer-based synchronization scheme for private communication," *Chaos, Solitons & Fractals*, vol. 24, pp. 1025-1030, 2005.
- [٢٠] A. Alasty and R. Shabani, "Chaotic motions and fractal basin boundaries in spring-pendulum system," *Nonlinear analysis: real world applications*, vol. 7, pp. 81-95, 2006.

- [٢١] O. Diallo and Y. Koné, "Melnikov analysis of chaos in a general epidemiological model," *Nonlinear Analysis: Real World Applications*, vol. 8, pp. 20-26, 2007.
- [٢٢] S. Boccaletti, C. Grebogi, Y.-C. Lai, H. Mancini, and D. Maza, "The control of chaos: theory and applications," *Physics reports*, vol. 329, pp. 103-197, 2000.
- [٢٣] J. Lü, G. Chen, D. Cheng, and S. Celikovsky, "Bridge the gap between the Lorenz system and the Chen system," *International Journal of Bifurcation and Chaos*, vol. 12, pp. 2917-2926, 2002.
- [٢٤] D. Li, J.-a. Lu, X. Wu, and G. Chen, "Estimating the bounds for the Lorenz family of chaotic systems," *Chaos, Solitons & Fractals*, vol. 23, pp. 529-534, 2005.
- [٢٥] O. Rossler, "An equation for hyperchaos," *Physics Letters A*, vol. 71, pp. 155-157, 1979.
- [٢٦] K.-C. Hsu, "Sliding mode controllers for uncertain systems with input nonlinearities," *Journal of guidance, control, and dynamics*, vol. 21, pp. 666-669, 1998.
- [٢٧] J. J. Yan, "Sliding mode control design for uncertain time-delay systems subjected to a class of nonlinear inputs," *International Journal of Robust and Nonlinear Control*, vol. 13, pp. 519-532, 2003.
- [٢٨] S. H. Zak and S. Hui, "On variable structure output feedback controllers for uncertain dynamic systems," *IEEE Transactions on Automatic Control*, vol. 38, pp. 1509-1512, 1993.
- [٢٩] S. Hui and S. H. Žak, "Low-order state estimators and compensators for dynamical systems with unknown inputs," *Systems & control letters*, vol. 21, pp. 493-502, 1993.
- [٣٠] J. Peng, E. Ding, M.-z. Ding, and W. Yang, "Synchronizing hyperchaos with a scalar transmitted signal," *Physical Review Letters*, vol. 76, p. 904, 1996.
- [٣١] P. Ioannou and J. Sun, "Stable and robust adaptive control," *Englewood Cliffs, NJ: Printice Hall*, vol. 2, 1995.
- [٣٢] K. S. Narendra and A. M. Annaswamy, *Stable adaptive systems*: Courier Dover Publications, 2012.
- [٣٣] R. Bakker and A. Annaswamy, "Stability and robustness properties of a simple adaptive controller," *Automatic Control, IEEE Transactions on*, vol. 41, pp. 1352-1358, 1996.
- [٣٤] H. Dedieu, M. P. Kennedy, and M. Hasler, "Chaos shift keying: modulation and demodulation of a chaotic carrier using self-synchronizing Chua's circuits," *Circuits and systems II: Analog and digital signal processing, IEEE Transactions on*, vol. 40, pp. 634-642, 1993.
- [٣٥] L. O. Chua, T. Yang, G.-Q. Zhong, and C. W. Wu, "Adaptive synchronization of Chua's oscillators," *International Journal of Bifurcation and Chaos*, vol. 6, pp. 189-201, 1996.
- [٣٦] K. M. Short, "Unmasking a modulated chaotic communications scheme," *International Journal of Bifurcation and Chaos*, vol. 6, pp. 367-375, 1996.
- [٣٧] T. Yang, "Recovery of digital signals from chaotic switching," *International Journal of Circuit Theory and Applications*, vol. 23, pp. 611-615, 1995.
- [٣٨] C. W. Wu and L. O. Chua, "A simple way to synchronize chaotic systems with applications to secure communication systems," *International Journal of Bifurcation and Chaos*, vol. 3, pp. 1619-1627, 1995.
- [٣٩] T. Yang, C. W. Wu, and L. O. Chua, "Cryptography based on chaotic systems," *Circuits and Systems I: Fundamental Theory and Applications, IEEE Transactions on*, vol. 44, pp. 469-472, 1997.
- [٤٠] X. Yang, Z. Yang, and X. Nie, "Exponential synchronization of discontinuous chaotic systems via delayed impulsive control and its application to secure communication," *Communications in Nonlinear Science and Numerical Simulation*, vol. 19, pp. 1529-1543, 2014.
- [٤١] H. Xi, S. Yu, R. Zhang, and L. Xu, "Adaptive impulsive synchronization for a class of fractional-order chaotic and hyperchaotic systems," *Optik-International Journal for Light and Electron Optics*, vol. 125, pp. 2036-2040, 2014.
- [٤٢] T. Yang, *Impulsive systems and control: theory and applications*: Nova Science Publishers, Inc., 2001.



- [۴۳] A. T. Al-Taani and A. M. Al-Issa, "A Novel Steganographic Method for Gray-Level Images," *International Journal of Computer, Information & Systems Science & Engineering*, vol. 3, 2009.



## **Abstract**

In this thesis a novel picture steganography method using multimodal chaotic maps for improvement of chaotic secure communication is presented. Stego image is sent by modulating parameters of the transmitter. The presented method includes a receiver system for asymptotic convergence as well as estimating uncertain parameters of rossler system. The gain of the receiver system changes continuously by a high order sliding mode adaptive controller (HOSMAC), so that system output errors converges to zero. Convergence analysis is accomplished using Barbalat's lemma. The converged parameters are used to determine the map set that is considered. After deciding map set, Gray level modification for hiding the message is selected and the stego image is produced. Using the synchronization and chaotic modulation method, the proposed method is studied in the field of secure communications.

*Keywords— secure communication; chaotic synchronization; multimodal chaotic maps; steganography; gray level modification*



Shahrood University of Technology  
Faculty of electrical and robotic engineering

# **Improvement of chaotic secure communication systems**

**Masoud Khodadadzadeh**

Supervisor:

**Hosein Gholizadeh**

**2014**